



ใบรับรองวิทยานิพนธ์
บัณฑิตวิทยาลัย มหาวิทยาลัยเกษตรศาสตร์

วิทยาศาสตรมหาบัณฑิต (การจัดการลุ่มน้ำและสิ่งแวดล้อม)

ปริญญา

การจัดการลุ่มน้ำและสิ่งแวดล้อม

อนุรักษ์วิทยา

สาขาวิชา

ภาควิชา

เรื่อง การประยุกต์แบบจำลอง SCS-CN เพื่อประมาณค่าปริมาณน้ำท่าในพื้นที่ลุ่มน้ำยมตอนบน

Application of SCS-CN Model for Estimation Runoff at Upper Yom Watershed

ผู้วิจัย นางสาวสุริรัตน์ ขอสันเทียะ

ได้พิจารณาให้ชอบโดย

อาจารย์ที่ปรึกษาวิทยานิพนธ์หลัก

(อาจารย์ปิยะพงษ์ ทองดีนook, ปร.ด.)

อาจารย์ที่ปรึกษาวิทยานิพนธ์ร่วม

(ผู้ช่วยศาสตราจารย์วันชัย อรุณประภาตัน, D.Agr.)

หัวหน้าภาควิชา

(ผู้ช่วยศาสตราจารย์ดรชนี เอมพันธ์, Ph.D.)

บัณฑิตวิทยาลัย มหาวิทยาลัยเกษตรศาสตร์รับรองแล้ว

(รองศาสตราจารย์กัญญา ธีระกุล, D.Agr.)

คณบดีบัณฑิตวิทยาลัย

วันที่ _____ เดือน _____ พ.ศ. _____

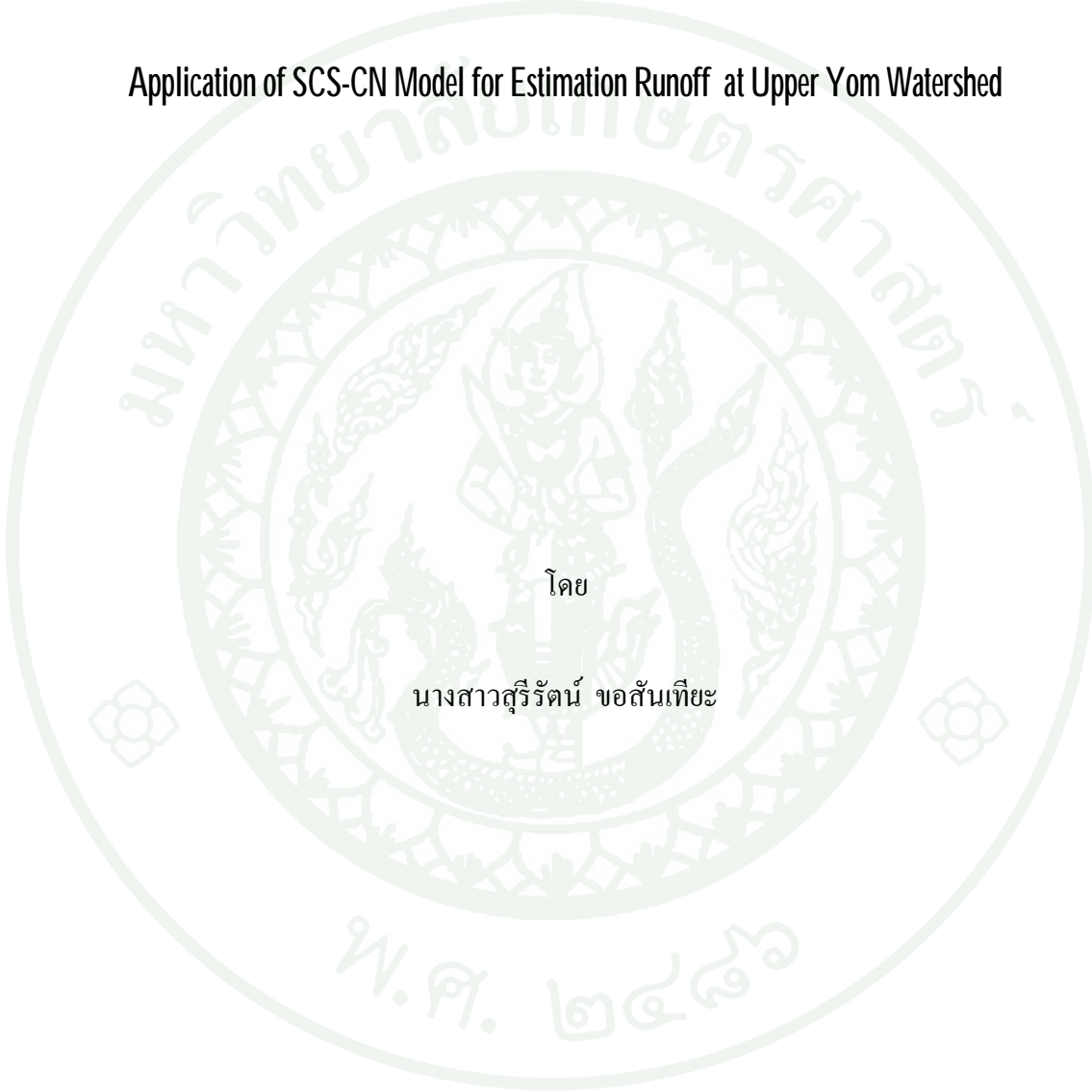
สิงหาคม ๒๕๖๗ มหาวิทยาลัยเกษตรศาสตร์

วิทยานิพนธ์

เรื่อง

การประยุกต์แบบจำลอง SCS-CN เพื่อประมาณค่าปริมาณน้ำท่าในพื้นที่ลุ่มน้ำยมตอนบน

Application of SCS-CN Model for Estimation Runoff at Upper Yom Watershed



เสนอ

บัณฑิตวิทยาลัย มหาวิทยาลัยเกษตรศาสตร์

เพื่อความสมบูรณ์แห่งปริญญาวิทยาศาสตร์มหาบัณฑิต (การจัดการคุณน้ำและสิ่งแวดล้อม)

พ.ศ. 2555

สิงห์ นิตาวิทยาลัยเกษตรศาสตร์

สุรีรัตน์ ขอสันทิษะ 2555: การประยุกต์แบบจำลอง SCS-CN เพื่อประมาณค่าปริมาณน้ำท่าในพื้นที่
คุ่นน้ำขึ้นตอนบน ปริญญาวิทยาศาสตร์มหาบัณฑิต (การจัดการคุณน้ำและสิ่งแวดล้อม) สาขาวิช
จัดการคุณน้ำและสิ่งแวดล้อม ภาควิชาอนุรักษ์วิทยา อาจารย์ที่ปรึกษาวิทยานิพนธ์หลัก: อาจารย์
ปีพงษ์ ทองดีนอค, ปร.ด. 115 หน้า

การศึกษารังนี้เป็นการประยุกต์ใช้ข้อมูลและเทคนิคทางด้านระบบสารสนเทศภูมิศาสตร์ร่วมกับแบบจำลอง SCS-CN เพื่อประมาณค่าปริมาณน้ำท่าในพื้นที่คุ่นน้ำขึ้นตอนบน รวมทั้งเปรียบเทียบปริมาณน้ำท่าที่ได้จากแบบจำลอง SCS-CN กับข้อมูลปริมาณน้ำท่าที่ได้จากการตรวจดู ดำเนินการโดยการรวบรวมข้อมูลจากแผนที่ภูมิประเทศ แผนที่ชุดคิน และแผนที่การใช้ประโยชน์ที่คิน เพื่อวิเคราะห์ลักษณะทางภูมิศาสตร์และสภาพทางอุทกวิทยาของพื้นที่ เพื่อกำหนดค่า curve number (CN) ร่วมกับปริมาณน้ำฝน สำหรับประเมินปริมาณน้ำท่า เพื่อบ่งชี้สถานภาพคุณน้ำด้านอุทกวิทยา และศักยภาพการให้น้ำท่า

ผลการศึกษาพบว่า ปริมาณน้ำท่าในพื้นที่คุ่นน้ำขึ้นตอนบนที่คำนวณได้จากแบบจำลอง SCS-CN มีค่าเท่ากับ 763.05 ล้านลูกบาศก์เมตรต่อปี โดยมีปริมาณน้ำท่าสูงสุดในเดือนสิงหาคม เท่ากับ 223.12 ล้านลูกบาศก์เมตร และปริมาณน้ำท่าต่ำสุดในเดือนธันวาคม เท่ากับ 8.1 ล้านลูกบาศก์เมตร ปริมาณน้ำท่าช่วงน้ำ高涨 และช่วงแล้งฝนมีค่าเท่ากับ 685.08 และ 77.98 ล้านลูกบาศก์เมตร คิดเป็นร้อยละ 89.78 และ 10.22 ของปริมาณน้ำฝนรายปีตามลำดับ ความสัมพันธ์ของปริมาณน้ำฝนกับปริมาณน้ำท่าจากแบบจำลองมีความสัมพันธ์อยู่ในระดับปานกลาง โดยมีค่าสัมประสิทธิ์ตัวกำหนด (R^2) เท่ากับ 0.64 ในช่วงน้ำ高涨 และช่วงแล้งฝน มีค่าสัมประสิทธิ์ตัวกำหนด (R^2) เท่ากับ 0.65 และไม่มีความสัมพันธ์ ตามลำดับ การสอบถามเพียงความถูกต้องของแบบจำลอง พนวณมีค่าประสิทธิภาพรายปีเท่ากับร้อยละ 98 ในช่วงน้ำ高涨 และช่วงแล้งฝน มีค่าประสิทธิภาพรายปีเท่ากับร้อยละ 97 และ 91 ตามลำดับ ส่วนลักษณะทางอุทกวิทยาคุณน้ำ พนวณว่า ปริมาณน้ำท่าจากแบบจำลองมีค่าเท่ากับร้อยละ 62.79 ของปริมาณน้ำฝนรายปี ค่าร้อยละของปริมาณน้ำท่าช่วงน้ำ高涨ต่อช่วงแล้งฝน มีค่าเท่ากับ 89:11 ส่วนช่วงเวลาการให้น้ำท่าช่วงน้ำ高涨ต่อช่วงแล้งฝน ในพื้นที่คุ่นน้ำขึ้นตอนบนอยู่ในช่วง 7:5 เดือน เมื่อจำลองสภาพการเปลี่ยนแปลงการใช้ประโยชน์ที่คินตามนโยบายการจัดชั้นคุณภาพคุณน้ำ และตามระดับความคาดคะนอง พนวณว่า มีปริมาณน้ำท่า เท่ากับ 699.32 และ 559.13 ล้านลูกบาศก์เมตร ตามลำดับ

Sureerat Kosantiae 2012: Application of SCS-CN Model for Estimation Runoff at Upper Yom Watershed. Master of Science (Watershed and Environmental Management), Major Field: Watershed and Environmental Management, Department of Conservation. Thesis Advisor: Mr. Piyapong Tongdeenok, Ph.D. 115 pages.

The aim of this research were to applied geoinformatic data and SCS-CN model for estimation runoff and compare with measurement data. The research procedure were collect data from various source such as topographic data, soil data and land use data. All spatial data were analyzed physiographic and hydrological characteristic of upper yom watershed for determination curve number (CN) and concern with rainfall amount for estimation runoff. The results were indicated watershed status in term of hydrology and potential runoff of upper yom watershed.

The results showed that annual runoff from SCS-CN model was 763.05 MCM. The highest runoff was 223.12 MCM. in August and the least runoff was appearance in March with 8.10 MCM.. During wet period the runoff was 685.08 MCM. or 89.78 percent of annual rainfall while in dry period runoff was 77.98 MCM. or 10.22 percent of annual rainfall amount. The relationship between rainfall and runoff was moderately with R^2 as 0.64 and similarity variation in wet period with R^2 as 0.65. While in dry period was non significant. The model verification was explain that accuracy was high efficiency with R^2 as 0.98. The results was nearly in wet period with R^2 as 0.97 while in dry period with R^2 as 0.91. Watershed hydrological characteristic were used for explained watershed hydrological potential as percentage of rainfall and runoff, ratio between wetflow and dryflow and timing portion between wet and dry period. The results were indicated that the percentage between rainfall and runoff was 62.79 percent. The runoff ratio between wet and dry period was 89:11 and timing portion between wet and dry period from model was 7:5 month. The model application selected 2 scenario with watershed classification condition and slope condition. The results showed that runoff data from watershed classification and slope condition was 695.89 and 714.01 MCM. respectively.

Student's signature

Thesis Advisor's signature

/ /

กิตติกรรมประกาศ

ข้าพเจ้าขอกราบขอบพระคุณ อาจารย์ ดร. ปิยพงษ์ ทองดีนook อาจารย์ที่ปรึกษาวิทยานิพนธ์ หลัก ผู้ช่วยศาสตราจารย์ ดร. วันชัย อรุณประภาตัน อาจารย์ที่ปรึกษาวิทยานิพนธ์ร่วม ที่ช่วยวางแผนการทำวิจัย ให้คำปรึกษา คำแนะนำ ตลอดจนตรวจ เสนอแนะและแก้ไขข้อผิดพลาด ข้อบกพร่องต่าง ๆ ที่เป็นประโยชน์เพื่อความถูกต้องและความสมบูรณ์ของวิทยานิพนธ์ฉบับนี้ อีก ทั้งขอกราบขอบพระคุณ ผู้ช่วยศาสตราจารย์ ดร. สมนิมิตร พุกงาน ประธานการสอบ และอาจารย์ ดร. พงษ์ศักดิ์ วิทวัสชุติกุล ผู้ทรงคุณวุฒิภายนอก ที่ช่วยเสนอแนะ แก้ไขข้อบกพร่องต่าง ๆ ของ วิทยานิพนธ์ให้มีความสมบูรณ์เพิ่มมากยิ่งขึ้น ขอกราบขอบพระคุณคณาจารย์ในภาควิชาอนุรักษ์ วิทยาที่ได้อบรมให้ความรู้แก่ข้าพเจ้า จนสำเร็จการศึกษา

ขอกราบขอบพระคุณ สำนักงานพัฒนาเทคโนโลยีอิเล็กทรอนิกส์และภูมิสารสนเทศ (องค์การมหาชน) ที่อนุเคราะห์ภาพถ่ายดาวเทียม Landsat 5 TM สำนักนโยบายและแผนการใช้ที่ดิน กรมพัฒนาที่ดิน ที่อนุเคราะห์แผนที่การใช้ประโยชน์ที่ดิน สำนักสำรวจและวิจัยทรัพยากรดิน กรมพัฒนาที่ดิน ที่อนุเคราะห์แผนที่ดิน และสำนักพัฒนาอุตุนิยมวิทยา กรมอุตุนิยมวิทยา ที่อนุเคราะห์ ข้อมูลอุตุนิยมวิทยา

ขอกราบขอบพระคุณบิดา มารดา และครอบครัว ที่อยู่ดูแลเอาใจใส่ อบรมสั่งสอนข้าพเจ้า ให้มีโอกาสในการศึกษามาจนถึงวันนี้ ขอขอบคุณพี่น้อง และเพื่อน ๆ สาขาวิชาการจัดการอุ่มน้ำ และสิ่งแวดล้อมทุกคน ที่ให้ความช่วยเหลือ หวังดี และเคยเป็นกำลังใจเสมอมา และประโยชน์ที่ได้รับจากวิทยานิพนธ์เล่มนี้ ผู้วิจัยขอขอบคุณและ ผู้มีพระคุณ บิดา มารดา และคณาจารย์ทุกท่าน

สุรีรัตน์ ขอสันทียะ
กุมภาพันธ์ 2555

สารบัญ

หน้า

สารบัญ	(1)
สารบัญตาราง	(2)
สารบัญภาพ	(4)
คำนำ	1
วัตถุประสงค์	3
การตรวจเอกสาร	4
อุปกรณ์และวิธีการ	34
อุปกรณ์	34
วิธีการ	34
ผลและวิจารณ์	51
สรุปและข้อเสนอแนะ	92
สรุป	92
ข้อเสนอแนะ	94
เอกสารและสิ่งอ้างอิง	95
ภาคผนวก	103
ประวัติการศึกษาและการทำงาน	115

สารบัญตาราง

ตารางที่	หน้า
1 การแบ่งเงื่อนไขความชื้นก่อนหน้านั้น (antecedent moisture condition; AMC)	16
2 รายชื่อสถานีวัดน้ำฝนในพื้นที่ศึกษา	37
3 การจัดช่วงค่า curve number (CN) ในบริเวณพื้นที่ลุ่มน้ำยมตอนบน	45
4 การจำแนกค่า curve number (CN) ในบริเวณพื้นที่ลุ่มน้ำยมตอนบน	45
5 ปริมาณน้ำท่ารายปีในบริเวณพื้นที่ลุ่มน้ำยมตอนบน	52
6 สัดส่วนปริมาณน้ำท่าช่วงน้ำ高涨และແแล้งฟันบริเวณพื้นที่ลุ่มน้ำยมตอนบน	62
7 ลักษณะทางอุทกวิทยาบริเวณพื้นที่ลุ่มน้ำยมตอนบน	70
8 เกณฑ์คะแนนที่ใช้ในการประเมินสถานภาพทางอุทกวิทยา	72
9 การกำหนดสถานภาพทางอุทกวิทยา	74
10 เกณฑ์คะแนนสถานภาพทางอุทกวิทยา	75
11 ค่าคะแนนด้านปริมาณน้ำท่า และช่วงเวลาการไหลลงน้ำ	75
12 ค่าคะแนนความสำคัญของดัชนีทางอุทกวิทยา	76
13 การประเมินสถานภาพทางอุทกวิทยาด้านปริมาณน้ำท่า และช่วงเวลาการไหลลงน้ำ	76
14 การประเมินสถานภาพทางอุทกวิทยาโดยรวมของพื้นที่ลุ่มน้ำยมตอนบน	77
15 การใช้ประโยชน์ที่ดินที่ควรเป็นตามนโยบายการจัดซื้อคุณภาพลุ่มน้ำบริเวณพื้นที่ลุ่มน้ำยมตอนบน	81
16 สัดส่วนการใช้ประโยชน์ที่ดินที่เปลี่ยนแปลงตามนโยบายการจัดซื้อคุณภาพลุ่มน้ำบริเวณพื้นที่ลุ่มน้ำยมตอนบน	81
17 ปริมาณน้ำท่าจากการเปลี่ยนแปลงการใช้ประโยชน์ที่ดินตามนโยบายการจัดซื้อคุณภาพลุ่มน้ำบริเวณพื้นที่ลุ่มน้ำยมตอนบน	83
18 การใช้ประโยชน์ที่ดินที่ควรเป็นตามระดับความลาดชันบริเวณพื้นที่ลุ่มน้ำยมตอนบน	88
19 สัดส่วนการใช้ประโยชน์ที่ดินที่เปลี่ยนแปลงตามระดับความลาดชันบริเวณพื้นที่ลุ่มน้ำยมตอนบน	88

สารบัญตาราง (ต่อ)

ตารางที่	หน้า
20 บริมาณน้ำท่าจากการเปลี่ยนแปลงการใช้ประโยชน์ที่ดินตามระดับความลาดชัน บริเวณพื้นที่ลุ่มน้ำยมตอนบน	90
 ตารางผนวกที่	
1 ค่า curve number (CN) สำหรับพื้นที่เมือง	103
2 ค่า curve number (CN) สำหรับพื้นที่เกษตรกรรมเพาะปลูก	105
3 ค่า curve number (CN) สำหรับพื้นที่เกษตรกรรมอื่น ๆ	107
4 ค่า curve number (CN) สำหรับพื้นที่แห้งแล้งและกึ่งแห้งแล้ง	110
5 ค่า curve number (CN) สำหรับข้อมูลของกรมพัฒนาที่ดิน	111
6 ค่าการสูญเสียเริ่มต้น	112
7 ความสัมพันธ์ของค่า CN ตามการจัดระดับความชื้นก่อนหน้า (AMC)	113
8 ข้อมูลปริมาณน้ำท่ารายเดือนสถานีบ้านทุ่งหนอง อำเภอเชียงม่วน จังหวัดพะเยา (Y.31)	114

สารบัญภาพ

ภาพที่	หน้า
1 ความสัมพันธ์ระหว่างปริมาณฝนสะสม (P) ปริมาณการไหลออก (Q) และปริมาณการซึมจิริ (F)	11
2 โถงความสัมพันธ์ระหว่างปริมาณฝนสะสม (P) กับปริมาณการไหลออก (Q) สำหรับค่า Curve number (CN) ต่าง ๆ	13
3 รูปแบบข้อมูลเวกเตอร์และข้อมูลราศเดอร์	18
4 ตัวอย่างรูปแบบฐานข้อมูลเชิงบรรยาย	19
5 จุดที่วางเรียงกันอย่างเป็นระเบียบในแบบ 2 มิติ และแบบจำลองพื้นผิวแบบกริด 3 มิติ	20
6 ความแตกต่างของพื้นผิวราศเดอร์ที่สร้างจากกริดที่มีขนาดแตกต่างกัน	20
7 จุดที่ประกอบขึ้นเป็นโครงข่ายสามเหลี่ยมแบบ 2 มิติ และแบบจำลองพื้นผิว แบบโครงข่ายสามเหลี่ยม 3 มิติ	21
8 ประเภทของการสำรวจข้อมูลจากระยะไกลที่สัมพันธ์กับความยาวคลื่นทั้ง 3 ประเภท	24
9 พื้นที่ศึกษาบริเวณพื้นที่ลุ่มน้ำยมตอนบน	32
10 ขั้นตอนการศึกษาการประยุกต์ใช้แบบจำลอง SCS-CN เพื่อประมาณค่าปริมาณ น้ำท่าในบริเวณพื้นที่ลุ่มน้ำยมตอนบน	35
11 ลักษณะภูมิประเทศบริเวณพื้นที่ลุ่มน้ำยมตอนบน	38
12 ระดับความลาดชันบริเวณพื้นที่ลุ่มน้ำยมตอนบน	39
13 การให้ผลสะสมของน้ำบริเวณพื้นที่ลุ่มน้ำยมตอนบน	40
14 กลุ่มชุดคิดตามสมบัติทางอุทกวิทยาของдинบริเวณพื้นที่ลุ่มน้ำยมตอนบน	41
15 การจำแนกประเภทการใช้ประโยชน์ที่ดินบริเวณพื้นที่ลุ่มน้ำยมตอนบน	44
16 ค่า curve number (CN) บริเวณพื้นที่ลุ่มน้ำยมตอนบน	46
17 ตำแหน่งที่ตั้งสถานีวัดปริมาณน้ำฝนและการแบ่งรูปเหลี่ยมไชเส้นโพลีกอน (Thiessen polygon)	48

สารบัญภาพ (ต่อ)

	ภาพที่	หน้า
18	ความผันแปรของปริมาณน้ำท่าจาก การตรวจและจากแบบจำลองบริเวณพื้นที่ลุ่มน้ำยมตอนบน	54
19	ความสัมพันธ์ระหว่างปริมาณน้ำฝนกับปริมาณน้ำท่าจากแบบจำลองและ การตรวจวัด	56
20	การทดสอบความถูกต้องของแบบจำลอง SCS-CN	57
21	ปริมาณน้ำท่าเฉลี่ยรายเดือนจากแบบจำลอง SCS-CN บริเวณพื้นที่ลุ่มน้ำยมตอนบน	58
22	ช่วงน้ำหลักและແล้งฝนบริเวณพื้นที่ลุ่มน้ำยมตอนบน	61
23	ความสัมพันธ์ระหว่างปริมาณน้ำฝนกับปริมาณน้ำท่าจากแบบจำลองและ การตรวจวัดช่วงน้ำหลัก	64
24	ความสัมพันธ์ระหว่างปริมาณน้ำฝนกับปริมาณน้ำท่าจากแบบจำลองและ การตรวจวัดช่วงແเล้งฝน	65
25	การทดสอบความถูกต้องของแบบจำลองในช่วงน้ำหลัก-ແเล้งฝน	67
26	ปริมาณน้ำท่าเฉลี่ยจากแบบจำลอง SCS-CN ในช่วงน้ำหลัก-ແเล้งฝนในบริเวณพื้นที่ลุ่มน้ำยมตอนบน	69
27	ชั้นคุณภาพลุ่มน้ำตามนโยบายการจัดชั้นคุณภาพลุ่มน้ำบริเวณพื้นที่ลุ่มน้ำยมตอนบน	79
28	การใช้ประโยชน์ที่ดินที่เป็นไปตามนโยบายการจัดชั้นคุณภาพลุ่มน้ำบริเวณพื้นที่ลุ่มน้ำยมตอนบน	80
29	ระดับความลาดชันบริเวณพื้นที่ลุ่มน้ำยมตอนบน	85
30	การใช้ประโยชน์ที่ดินที่เป็นไปตามระดับความลาดชันบริเวณพื้นที่ลุ่มน้ำยมตอนบน	87

การประยุกต์แบบจำลอง SCS-CN เพื่อประมาณค่าปริมาณน้ำท่าในพื้นที่ ลุ่มน้ำยมตอนบน

Application of SCS-CN Model for Estimation Runoff at Upper Yom Watershed

คำนำ

การประเมินปริมาณน้ำท่าเป็นสิ่งที่มีความสำคัญในการวางแผน การจัดการ และการพัฒนาทรัพยากรน้ำ ทั้งการป้องกัน บรรเทาอุทกภัย กับแหล่ง การจัดการควบคุมการปล่อยน้ำจากอ่างเก็บน้ำ และการก่อสร้างแหล่งกักเก็บน้ำ ซึ่งการประเมินปริมาณน้ำท่านั้น เป็นกระบวนการทางด้านอุทกวิทยาที่ทำได้หลายวิธี มีการใช้พารามิเตอร์เกี่ยวกับอุทกวิทยาหลายด้านนี้ซึ่งเป็นปัจจัยควบคุมและมีผลต่อปริมาณน้ำท่าในการประเมิน เช่น ปริมาณน้ำฝน การใช้ประโยชน์ที่ดิน ชนิดและลักษณะของดินรวมไปถึงสภาพภูมิประเทศในพื้นที่นั้น ๆ โดยสามารถประเมินปริมาณน้ำท่าได้ด้วยแบบจำลองอุทกวิทยา ทั้งแบบจำลองคณิตศาสตร์หาความสัมพันธ์ของน้ำฝนกับน้ำท่า (rainfall-runoff model) แบบจำลองทางสถิติ (statistic model) และแบบจำลองโครงข่ายประสาทเทียม (artificial neural network model) อย่างไรก็ตามในแต่ละแบบจำลองมีความต่างกันอย่างมาก ซึ่งในการเลือกใช้แบบจำลองเพื่อศึกษาเกี่ยวกับการประเมินปริมาณน้ำท่าจึงต้องขึ้นอยู่กับความสามารถของแบบจำลอง

แบบจำลอง SCS-CN (Soil Conservation Service Curve Number) เป็นแบบจำลองคณิตศาสตร์ที่มีโครงสร้างไม่ слับซับซ้อน สามารถใช้งานได้ง่าย และเป็นแบบจำลองที่ใช้กันอย่างแพร่หลายในการประเมินปริมาณน้ำท่าจากปริมาณน้ำฝนในพื้นที่ลุ่มน้ำ โดยใช้ปัจจัยทางด้านภัยภاط และสภาพอุทกวิทยา แล้วนำมาคำนวณค่าค่าคงทนหรือ ค่า Curve Number (CN) ให้กับค่าปัจจัยต่าง ๆ ซึ่งพิจารณาจากสมบัติทางอุทกวิทยาของดิน สภาพการใช้ประโยชน์ที่ดิน และเงื่อนไขความชื้นก่อนหน้า เพื่อประเมินปริมาณน้ำท่า เนื่องจากแบบจำลองนี้สามารถประเมินปริมาณน้ำท่าจากพารามิเตอร์ตามธรรมชาติที่เปลี่ยนแปลงไปในเชิงพื้นที่และช่วงเวลา รวมไปถึงประยุกต์ใช้ได้กับหลายพื้นที่ลุ่มน้ำที่ไม่มีสถานีวัดปริมาณน้ำท่าและใช้ได้ทั้งลุ่มน้ำขนาดเล็กและลุ่มน้ำขนาดใหญ่ (Patil *et al.*, 2008; Reshmaidevi, 2008; Sahu, 2010) ซึ่งเมื่อนำเทคนิคทางด้านระบบสารสนเทศภูมิศาสตร์มาช่วยในการสร้างฐานข้อมูลและวิเคราะห์ข้อมูลตัวแปรทางอุทกวิทยาของพื้นที่ลุ่มน้ำ เพื่อช่วยวิเคราะห์ปริมาณน้ำท่าจากแบบจำลอง SCS-CN ย่อมช่วยให้เกิดความสะดวกและรวดเร็ว

ยิ่งขึ้น ทั้งนี้เนื่องจากระบบสารสนเทศภูมิศาสตร์ มีความสามารถในการจัดเก็บข้อมูลในรูปของตารางข้อมูล ที่มีส่วนสัมพันธ์กับข้อมูลเชิงพื้นที่ (**spatial data**) ทำให้สามารถวิเคราะห์ สืบค้น และแสดงผลข้อมูลที่มีความสัมพันธ์ทั้งเชิงพื้นที่ (**spatial**) และช่วงเวลา (**temporal**) ได้สะดวกขึ้น ซึ่งนับว่าเหมาะสมสำหรับงานทางด้านการจัดการลุ่มน้ำ เพราะข้อมูลที่ใช้ส่วนใหญ่มีลักษณะเป็นข้อมูลเชิงพื้นที่

ดังนั้นในการศึกษารังนี้ จึงประยุกต์ใช้เทคนิคทางด้านระบบสารสนเทศภูมิศาสตร์ ร่วมกับแบบจำลอง SCS-CN เพื่อประมาณค่าปริมาณน้ำท่า รวมทั้งเปรียบเทียบปริมาณน้ำท่าที่ได้จากการคำนวณจากแบบจำลอง SCS-CN กับข้อมูลปริมาณน้ำท่าที่ได้จากการตรวจวัดในพื้นที่ลุ่มน้ำยมดอนบน

วัตถุประสงค์

- เพื่อประเมินค่าปริมาณน้ำท่าโดยใช้แบบจำลอง SCS-CN ร่วมกับเทคนิคระบบสารสนเทศภูมิศาสตร์
- เพื่อเปรียบเทียบปริมาณน้ำท่าที่ได้จากแบบจำลอง SCS-CN กับข้อมูลปริมาณน้ำท่าที่ได้จากการตรวจวัด
- เพื่อประยุกต์แบบจำลอง SCS-CN เพื่อประเมินค่าปริมาณน้ำท่าเมื่อมีการเปลี่ยนแปลงการใช้ประโยชน์ที่ดิน

การตรวจเอกสาร

1. น้ำท่า

1.1 กระบวนการเกิดน้ำท่า

กระบวนการเกิดน้ำท่าเริ่มจากเมื่อฝนเริ่มตก ทำให้ปริมาณน้ำฝนที่ตกลงมาไหลไปตามแหล่งพื้นที่ผิวต่าง ๆ ซึ่งปริมาณน้ำส่วนใหญ่ไหลไปตามลำน้ำ และมีการระเหยกลายเป็นไอกลับชั้นบรรยากาศ บางส่วนไหลซึมสู่ชั้นน้ำได้ดิน กระบวนการเหล่านี้จะเกิดเป็นวัฏจักรหมุนเวียนกันไป

วิชา (2535) และ นิรัติ (2547) ได้กล่าวถึงส่วนประกอบของน้ำท่าว่า อาจแบ่งตามลักษณะการไหลออกได้เป็น 2 ส่วน คือ ส่วนแรกเป็นส่วนของน้ำที่ไหลอย่างช้า ๆ (*slow process*) โดยผ่านกระบวนการคัดซับของดิน และค่อย ๆ ไหลผ่านช่องว่างระหว่างอนุภาคของดินลงไปเป็นน้ำได้ดิน น้ำส่วนนี้ถูกกักเก็บและซังไว้เป็นเวลานานแต่ต่างกัน ซึ่งการไหลลงสู่ลำธารได้ต้องใช้เวลานาน สำหรับน้ำอีกส่วนหนึ่งเป็นน้ำที่ไหลลงสู่ลำธารอย่างรวดเร็ว (*rapid process*) โดยไหลผ่านไปตามผิวน้ำดินหรือใต้ผิวดิน น้ำส่วนนี้เป็นน้ำที่ทำให้เกิดการไหลหลากรูปแบบเกิดน้ำท่ามได้สำหรับส่วนประกอบของน้ำในลำธาร แบ่งออกได้เป็น 5 ส่วน คือ

1.1.1 **Channel precipitation** เป็นปริมาณน้ำฝนที่ตกลงสู่ลำธารโดยตรง เนื่องจากน้ำฝนเท่ากับพื้นที่ผิวของลำธารนั้น ปกติมากได้แก่ ลำน้ำที่มีน้ำไหลตลอดปี (*perennial stream*) ถ้าฝนตกหนักเป็นเวลานาน เนื่องจากน้ำฝนโดยตรงก็จะมีเพิ่มมากขึ้น เนื่องจาก *intermittent* และ *ephemeral stream* จะเดิมไปด้วยน้ำ ปริมาณน้ำในลำธารเพิ่มขึ้นอย่างรวดเร็ว เนื่องจากไม่ต้องผ่านกระบวนการไหลซึมของน้ำ

1.1.2 **Overland flow** หรือ **surface runoff** เป็นปริมาณน้ำที่ไหลไปตามผิวน้ำดินลงสู่ลำธารอย่างรวดเร็วภายหลังจากที่ดินได้คัดซับน้ำไว้จนอิ่มตัวแล้ว เนื่องจากฝนตกหนักติดต่อกันเป็นเวลานาน

1.1.3 **Subsurface flow** เป็นส่วนของน้ำที่ไหลซึมลงดิน และพาภินัยหลากรูปแบบลงสู่ลำธารได้พื้นผิวดินในเวลาอันรวดเร็ว ส่วนมากเกิดในบริเวณโภคภัย กับ *perennial stream* ปกติ้น้ำลำธารที่

ประกอบไปด้วยป่าไม้ที่อุดมสมบูรณ์ น้ำในลำธารส่วนใหญ่ได้จาก subsurface flow มากกว่า surface flow บางครั้งก็เรียกว่า interflow หรือ lateral flow เป็นลักษณะการไหลของน้ำที่บน面ไปกับระดับน้ำใต้ดิน (water table) โดยเฉพาะในป่าที่มีระดับน้ำใต้ดินอยู่ใกล้พื้นผิวดิน

1.1.4 Direct runoff เป็นปริมาณน้ำส่วนที่เกิดจากฝนโดยตรง (rainfall excess) ภายหลังจากที่ดินได้ดูดซับน้ำไว้แล้ว ไม่รวมส่วนของน้ำที่สะสมอยู่เดิมที่ไหลออกมายังไถ่ดิน หรือก็คือผลกระทบของปริมาณน้ำทั้ง 3 ส่วนดังกล่าวข้างต้น เป็นคำที่นักจัดการลุ่มน้ำนิยมใช้อธิบายลักษณะการเกิดน้ำไหลหลัก หรือน้ำท่วม (flood) ของลุ่มน้ำน้ำน้ำ ๆ

1.1.5 Baseflow หรือ groundwater runoff เป็นน้ำส่วนที่ไหลหล่อเลี้ยงลำธารในทุกฤดูกาลตลอดปี โดยเฉพาะในฤดูแล้ง ถึงฝนไม่ตกก็ยังมีน้ำไหล น้ำทั้งหมดที่ไหลอยู่ในลำธารในช่วงฤดูแล้งนั้นมาจากการ baseflow หรือน้ำใต้ดิน ซึ่งก็คือน้ำฝนเก่าที่กักเก็บไว้จากการเติมน้ำ (recharge) ลงไปเพิ่มในช่วงฤดูฝนของทุก ๆ ปี ทำให้ระดับน้ำใต้ดินกลับเพิ่มสูงขึ้น โดยผ่านกระบวนการซึมลงดินของน้ำ (infiltration) และการไหลลึก (percolation) ของน้ำลงสู่ใต้ดิน

1.2 ปัจจัยที่มีอิทธิพลต่อการไหลของน้ำท่า

ปัจจัยที่มีอิทธิพลต่อปริมาณและลักษณะการไหลของน้ำท่ามีดังนี้

1.2.1 ลักษณะภูมิอากาศ ได้แก่ ความชื้น อุณหภูมิ ฝน เป็นต้น ซึ่งพยัญคัค (2518) ได้ใช้สมการสหสัมพันธ์เพื่อการประเมินน้ำไหลจากลุ่มน้ำขนาดเล็กป่าดิบเขากายปุย พบว่า ช่วงที่ฝนน้อยกว่า 10 มิลลิเมตร น้ำในลำธารเกิดขึ้นเนื่องจากการกระทำร่วมกันของหลาย ๆ ปัจจัย เมื่อฝนตกมากขึ้น คือ 10 - 20 มิลลิเมตร น้ำฝนเริ่มมีบทบาทมากขึ้นต่อปริมาณน้ำในลำธาร และในช่วงที่ฝนตกมากกว่า 20 มิลลิเมตร พบว่า น้ำฝนเท่านั้นที่มีอิทธิพลต่อปริมาณน้ำในลำธาร ส่วนบุญช่วย (2536) พบว่า ปริมาณน้ำฝนของลุ่มน้ำมีความสัมพันธ์กับปริมาณน้ำท่ามากที่สุด เมื่อเปรียบเทียบกับปัจจัยทางชีวภาพอื่น ๆ ของพื้นที่ลุ่มน้ำ และเมื่อมีค่าความหนาแน่นของฝนกระจายทั่วทั้งบริเวณพื้นที่ลุ่มน้ำ ทำให้เกิดปริมาณน้ำท่าเพิ่มขึ้นอย่างรวดเร็ว โดยปัจจัยรอง ได้แก่ ปัจจัยด้านภูมิอากาศอื่น ๆ เช่น อุณหภูมิ อัตราการระเหย ความเร็วลม และรังสีดวงอาทิตย์จะมีผลกับอัตราการรายระเหยของพืชโดยตรง ซึ่งเกย์ม (2539) กล่าวว่า การกระจายของน้ำฝน ชนิดของฝน ปริมาณน้ำฝน

ที่ตกในวันก่อน ๆ (**antecedent rainfall**) การระเหยน้ำจากคลุ่มน้ำ และกระบวนการขยายตัวของต้นไม้ ต่างก็มีผลต่อปริมาณและการไหลของน้ำในลำธารด้วยเช่นกัน

1.2.2 ลักษณะภูมิภาคภาพ ได้แก่ ขนาดพื้นที่และรูปร่างของคลุ่มน้ำ ความลาดชันที่ศ้านลาด ความสูงจากระดับน้ำทะเล การระบายน้ำ ลักษณะทางธรณีวิทยา และชนิดของดิน ปัจจัยต่าง ๆ เหล่านี้มีความสัมพันธ์ต่อกัน ซึ่งมีอิทธิพลต่อปริมาณ คุณภาพ และช่วงระยะเวลาการไหลของน้ำในลำธาร โดยตรง

ก. ขนาดพื้นที่ และรูปร่างของคลุ่มน้ำ ซึ่งเกณฑ์ (2539) และ นิวัติ (2547) กล่าวว่า คลุ่มน้ำที่มีพื้นที่บนราดใหญ่ ฐานของไทรกราฟกว้าง และส่วนยอด (**peak**) ไม่สูงชันหรือลดลงอย่างรวดเร็ว เมื่อเทียบกับพื้นที่คลุ่มน้ำขนาดเล็ก และขนาดพื้นที่คลุ่มน้ำอาจมีอิทธิพลในการควบคุมอัตราการไหลของน้ำในลำธาร ได้บ้าง ซึ่งเป็นอิทธิพลทางอ้อม คือ คลุ่มน้ำขนาดใหญ่มีแนวโน้มที่ให้น้ำในลำธารอย่างสม่ำเสมอต่อไปตามปัจจัยต่าง ๆ เช่น พืชพรรณที่ปกคลุมพื้นที่ ลักษณะสัณฐานคลุ่มน้ำ และลักษณะการตอกของฝน ซึ่งในพื้นที่คลุ่มน้ำขนาดใหญ่มีความหลากหลายมากกว่าคลุ่มน้ำขนาดเล็ก ทำให้พื้นที่คลุ่มน้ำขนาดใหญ่มีความสามารถในการระบายน้ำแตกต่างกัน ซึ่งศักดิ์พินิต (2532) ได้ศึกษาในเรื่องขนาดพื้นที่คลุ่มน้ำที่มีอิทธิพลต่อการไหลของน้ำในลำธาร พบว่า การตอบสนองของปริมาณน้ำฝนต่อการให้ปริมาณน้ำในลำธารในคลุ่มน้ำขนาดเล็กจะมีมากที่สุด โดยมีอัตราการไหลขึ้นลงอย่างรวดเร็ว ส่วนคลุ่มน้ำขนาดกลางและใหญ่จะมีลักษณะการไหลของน้ำที่ค่อนข้างสม่ำเสมอ สูนันทา (2531) ได้ศึกษาริเวณคลุ่มน้ำปิงและวัง พบว่า ขนาดของพื้นที่คลุ่มน้ำ มีอิทธิพลต่อปริมาณน้ำในลำธาร กล่าวคือ ขนาดของพื้นที่คลุ่มน้ำที่มีขนาดใหญ่ขึ้นทำให้ปริมาณน้ำที่มากขึ้น โดยนิพนธ์ (2525) ได้กล่าวว่า ปัจจัยที่มีผลต่อการให้น้ำแก่พื้นที่คลุ่มน้ำ คือ ขนาดของพื้นที่คลุ่มน้ำนั้น ๆ ซึ่งเป็นปัจจัยสำคัญอันดับสองรองจากปริมาณน้ำฝน และนิวัติ (2547) กล่าวว่า รูปร่างของคลุ่มน้ำมีอิทธิพลต่อการไหลของน้ำในลำธาร น้ำไหลบ่าหน้าดิน ปริมาณน้ำเก็บกัก (**water storage**) และปริมาณน้ำที่สูญเสีย (**water loss**) โดยเฉพาะอย่างยิ่งจะควบคุมลักษณะของจุดสูงสุดของน้ำหลัก (**flood peak**)

ข. ความลาดชันของพื้นที่คลุ่มน้ำ โดยเกณฑ์ (2539) กล่าวว่า ความลาดชันของภูมิประเทศเป็นปัจจัยหนึ่งที่มีอิทธิพลต่อการไหลของน้ำ ทั้งหน้าผิวดินและใต้ดิน ซึ่งนิวัติ (2547)

กล่าวว่า ความลาดชันของพื้นที่ลุ่มน้ำมีความสำคัญและมีอิทธิพลต่อการซึมน้ำผ่านผิวดิน (*infiltration*) การไหลบ่าของน้ำตามผิวดิน (*surface runoff*) การพังทลายของดิน (*soil erosion*) ความชื้นในดินและการไหลของน้ำได้ดินไปสู่ลำธาร ซึ่งศูนย์ตน (2527) ได้กล่าวถึงอิทธิพลของความลาดเทที่มีอิทธิพลต่อปริมาณและการไหลของน้ำท่ามกลาง ข้ออ้างกับความลาดเทที่เพิ่มขึ้น ทำให้เพิ่มปริมาณและอัตราการไหลบ่า ในพื้นที่ที่มีความขาวของความลาดเทมาก ทำให้มีน้ำไหลไปรวมกันมากและไหลเร็ว และพื้นที่ที่มีการระบายน้ำจะต้องมีความลาดเทงแต่ 3 - 8 เปอร์เซ็นต์ ถ้ามากกว่า 8 - 10 เปอร์เซ็นต์ จะเป็นพื้นที่ที่มีการระบายน้ำดี และจากการศึกษาของชาตร (2524) พบว่า ความลาดชันของพื้นที่แสดงอิทธิพลต่อการไหลของน้ำท่ามกลางมาก คือ พื้นที่ลุ่มน้ำที่มีความลาดชันมาก การขึ้นของ Grafน้ำไหลจะเร็วกว่าพื้นที่ลุ่มน้ำที่มีความลาดชันต่ำ โดยพบว่าส่วนยอดของ Grafน้ำไหลของพื้นที่ลุ่มน้ำที่มีความลาดชันมากอยู่ที่เดือนกันยายนของปี ส่วนลุ่มน้ำที่มีความลาดชันต่ำจะมีส่วนยอดของ Grafน้ำไหลอยู่ที่เดือนตุลาคม

ค. ระดับความสูงและทิศด้านลาดของพื้นที่ลุ่มน้ำ โดยเกณฑ์ (2539) และนิวัติ (2547) กล่าวว่า พื้นที่ที่อยู่ในระดับความสูงมาก มักมีฝนตกมากกว่าในพื้นที่ต่ำ จึงส่งผลให้ได้ปริมาณน้ำท่ามกลางตามไปด้วย ส่วนทิศด้านลาดที่อยู่ทางทิศเหนือจะมีความชุ่มชื้นมากกว่าทิศใต้และทิศตะวันตก ซึ่งมีผลต่อปริมาณฝน เช่นกัน ส่วนสูนันทา (2531) พบว่า ในพื้นที่สูง อุณหภูมิและความกดอากาศจะยิ่งต่ำ จนความชื้นเกิดการควบแน่นจนกลั่นตัวเป็นฝนตกชุด ซึ่งมีผลทำให้ปริมาณน้ำท่าเพิ่มขึ้นตามปริมาณฝน

ง. ระบบการระบายน้ำของพื้นที่ลุ่มน้ำ จากการศึกษาของบุญช่วย (2536) พบว่า ปัจจัยความหนาแน่นของการระบายน้ำ มีความสัมพันธ์เป็นปฏิภาคโดยตรงกับปริมาณน้ำในลำธาร และมีอิทธิพลมากถึง 28.97 เปอร์เซ็นต์ ซึ่งอธิบายได้ว่า ความหนาแน่นของการระบายน้ำ เป็นความสามารถในการระบายน้ำ กล่าวคือ พื้นที่ลุ่มน้ำใดมีความขาวของล้าน้ำมาก จะมีความสามารถในการระบายน้ำจากส่วนต่างๆ ของลุ่มน้ำมาสู่ล้าน้ำสายหลักและสู่ปากลุ่มน้ำ (*outlet*) โดยลำดับ ซึ่งมีค่าความหนาแน่นของการระบายน้ำ (*drainage density*) หากเท่าได้ ก็ยิ่งทำให้มีปริมาณน้ำในลำธารมากขึ้นเท่านั้น

จ. ลักษณะทางธรณีวิทยา ลุ่มน้ำที่เกิดจากหินแกรนิตจะมีโครงสร้างเป็นภูเขาสลับซับซ้อน ดินลึก มีระบายน้ำดี มีความลาดชันมาก ลุ่มน้ำประเภทนี้จะให้น้ำในลำธารอย่างสม่ำเสมอ ส่วนลักษณะลุ่มน้ำที่เกิดจากวัตถุตันกำเนิดที่เป็นหินทราย ดินมักเป็นดินทราย ไม่ลึก น้ำในลำธารมักขาดหายไปในฤดูแล้ง เนื่องจากฝนที่ตกในฤดูฝนส่วนใหญ่ถูกเก็บกักอยู่ในรอยแตก

รอยแยกของหิน และกลาญเป็นน้ำได้ดินในที่สุด และลักษณะลุ่มน้ำที่เกิดจากหินปูน มักมีบ่ออยู่ตัว (**sink-hold**) ปรากฏให้เห็นทั่วไป โดยเป็นปล่องลึก น้ำจะไหลทะลุไป ทำให้น้ำในลำธารขาดหายไปในถูกแล้ง (เกย์ม และนิพนธ์, 2525) และจากการศึกษาของเพชร (2539) พบว่า ศักยภาพในการให้น้ำท่าของพื้นที่ลุ่มน้ำบริเวณสถานีวิจัยสิ่งแวดล้อมสะแกราช จังหวัดนครราชสีมา อยู่ในระดับต่ำ เพราะโครงสร้างทางธรรมชาติวิทยาของพื้นที่ศึกษามีรอยเลื่อน (**fault**) และรอยแยก (**joint**) ทำให้เกิดน้ำรั่วซึม ไหลลงตามชั้นหินด้านล่างเป็นน้ำได้ดิน ไม่ปลดปล่อยออกสู่ลำธาร

๓. ชนิดของดิน จากการศึกษาของคณาจารย์ภาคปฐมวิทยา (2544) พบว่า ดินที่มีทรัพย์สืบทอด 70 โดยน้ำหนักขึ้นไป ได้แก่ พากดินทรัพย์ร่วน ดินทรัพย์ ซึมกรานต์ ดินทรายร่วน มีการระบายน้ำดีปานกลาง สำหรับดินที่มีปริมาณดินเหนียวมากกว่า 40 เปอร์เซ็นต์ โดยน้ำหนักขึ้นไป มีการระบายน้ำไม่ดีแต่สามารถอุ้มน้ำได้ดี และความตื้นลึกของดินมีส่วนเกี่ยวข้องกับการซึมซาบน้ำได้ดีนั่นกัน ซึ่งนิพนธ์ (2542) กล่าวว่า น้ำท่าที่ไหลในลำธารในช่วงเวลาหลังฤดูฝนนั้นขึ้นอยู่กับสมบัติของดินในการควบคุมการไหลของน้ำได้ผิดดิน ซึ่งสมรรถนะการอุ้มน้ำของดินในปัจจุบันภาคเหนือของประเทศไทย มีมากที่สุดบริเวณผิวดินแล้ว ค่อยๆ ลดลงจนถึงชั้นล่างสุด ทั้งนี้เป็นเพราะว่าปริมาณอินทรีย์ต่ำที่มีมากเป็นปัจจัยสำคัญที่ช่วยให้ดินอุ้มน้ำสูงขึ้น แต่ถ้าดินลึกมากเกิน 100 เซนติเมตร ขึ้นไปแล้ว ความชื้นในดินจะมีมากขึ้น ทั้งนี้เป็นเพราะอินทรีย์ต่ำขนาดเล็กและดินเหนียวช่วยให้มีการอุ้มน้ำเพิ่มขึ้น นอกจากนี้ อภิสิทธิ์ (2528) ยังได้กล่าวถึงส่วนประกอบที่ปกคลุมผิวน้ำลุ่มน้ำ ได้แก่ ดิน หินผุ หรือหินแข็ง รวมทั้งอินทรีย์ต่ำที่แตกต่างกันไปตามสถานที่ จะมีผลต่อปริมาณและการไหลของน้ำท่า ดังเช่น บริเวณที่เป็นหินแข็งจะมีอัตราความหนาแน่นของการระบายน้ำต่ำ เนื่องจากสามารถต้านทานการชะล้างพังทลายได้ดี

1.2.3 กิจกรรมการใช้ประโยชน์ที่ดิน ปัจจัยที่เกี่ยวข้องกับกิจกรรมการใช้ประโยชน์ที่ดินและพืชพรรณที่ปกคลุมลุ่มน้ำ มีผลทำให้ปริมาณน้ำในลำธารมีการเปลี่ยนแปลงทั้งด้านปริมาณ คุณภาพ และช่วงเวลาการไหล เนื่องจากสิ่งปกคลุมดินมีการใช้น้ำ และการคายระเหยน้ำได้แตกต่างกัน ดังนั้นปริมาณน้ำฝนที่กลาญมาเป็นน้ำท่าหรือน้ำในลำธารจะแตกต่างกันไปในแต่ละพื้นที่ลุ่มน้ำ หากมีการเปลี่ยนแปลงการใช้ประโยชน์ที่ดินจากพื้นที่ป่าไม้ไปเป็นพื้นที่เกษตรกรรม ทำให้ปริมาณน้ำไหลในลำธารในช่วงน้ำหลากเพิ่มมากขึ้น และลดน้อยลงในช่วงฝนแล้ง ส่วนการศึกษาของอัครศิริ (2546) พบว่า การเปลี่ยนแปลงพื้นที่ป่าไม้เป็นพื้นที่เกษตรกรรมในลุ่มน้ำมูล ส่งผลให้วันเวลา และช่วงระยะเวลาการไหลของน้ำท่าในถูกน้ำหลัก มีการหลอกของน้ำ

หากผ่านจุดตรวจเร็ววันกว่าเดิม ขณะที่ในช่วงแล้งน้ำใช้เวลานานวันขึ้น ทำให้ปัญหาอุทกภัยในฤดูฝนและการขาดแคลนน้ำในช่วงฤดูแล้งทวีความรุนแรงมากขึ้น

2. การประเมินน้ำท่าด้วยวิธีการของ SCS-CN

2.1 ทฤษฎีพื้นฐานของ SCS-CN

Mishra and Singh (2003) กล่าวว่า SCS-CN method ถูกสร้างขึ้นมาในปี ก.ศ. 1954 โดยหน่วยงานอนุรักษ์ดินของประเทศสหรัฐอเมริกา (Soil Conservation Services; SCS) ซึ่งปัจจุบันคือ Natural Resources Conservation Services (NRCS) โดยมีจุดประสงค์หลัก คือ การสร้างมาตรการหรือระบบต่าง ๆ เพื่อป้องกันอุทกภัย โดยนำผลการศึกษาวิจัยที่เกี่ยวกับการซึมน้ำผ่านผิวดิน (infiltration) ซึ่งเกิดขึ้นจากการทำฟันเทียมบนพื้นที่ 2×4 ตารางเมตร จำนวน 10,000 แปลง ทั่วประเทศ ที่ทำการศึกษาต่อเนื่องตั้งแต่ปี ก.ศ. 1930 มาประยุกต์ใช้

สมการที่ใช้หาปริมาณการไหลโดยตรง (direct runoff) โดยวิธี SCS-CN method ได้พัฒนาโดยการรวมข้อมูลฝนและข้อมูลการไหลโดยตรงที่มีอยู่ แล้วนำข้อมูลปริมาณการไหลโดยตรงสะสมล็อกกับปริมาณฝนสะสม และพบว่าปริมาณการไหลโดยตรงเริ่มมีขึ้นหลังจากที่ฝนตกแล้วช่วงเวลาหนึ่ง ซึ่งปริมาณฝนที่สูญเสียก่อนมีการไหลออกโดยตรงเริ่ยกว่า การสูญเสียเริ่มต้น (initial abstraction; Ia) และหลังจากนั้นเส้นปริมาณการสะสมของฝนและการไหลโดยตรงภายในเป็นเส้นตรง (SCS, 1972) การพัฒนาสมมติฐานของ SCS ขึ้นมาใช้ได้ง่ายขึ้น พิจารณาเมื่อปริมาณฝนและการไหลโดยตรงเกิดขึ้นพร้อมกัน ซึ่งเป็นกรณีที่การสูญเสียเริ่มต้นเป็นศูนย์ จึงทำให้ได้สมมติฐานสำหรับความสัมพันธ์ทุก ๆ จุดบนเส้นโค้งปริมาณการไหลโดยตรงสะสมกับปริมาณฝนสะสม คือ

$$\frac{F}{S} = \frac{Q}{P} \quad (1)$$

- โดยที่ F = ปริมาณการซึมน้ำจริง (actual retention)
- S = ศักย์การสูญเสียสูงสุด (potential maximum infiltration)
- Q = การไหลโดยตรง (direct runoff)
- P = ศักย์การไหลโดยตรงสูงสุด (potential maximum runoff)
- ซึ่งเท่ากับปริมาณฝนนั้นเอง

ค่าพารามิเตอร์ S' ในสมการที่ (1) ไม่ได้รวมค่าการสูญเสียเริ่มต้นและเป็นค่าคงที่สำหรับพายุฝนถูกหนึ่ง เพราะเป็นค่าสูงสุดของปริมาณการซึมที่สามารถเกิดขึ้นได้ ส่วนค่าปริมาณการซึม (F) เป็นค่าที่เปลี่ยนแปลงได้ เพราะเป็นค่าความแตกต่างของปริมาณฝนกับปริมาณการไหลด้วยตรง ก็อ

$$F = P - Q \quad (2)$$

แทนค่า F ลงในสมการที่ (1) จะได้

$$\frac{(P - Q)}{S'} = \frac{Q}{P} \quad (3)$$

เมื่อจัดเทอมในสมการที่ (3) โดยให้ค่า Q อยู่ทางซ้ายมือได้

$$Q = \frac{P^2}{(P + S')} \quad (4)$$

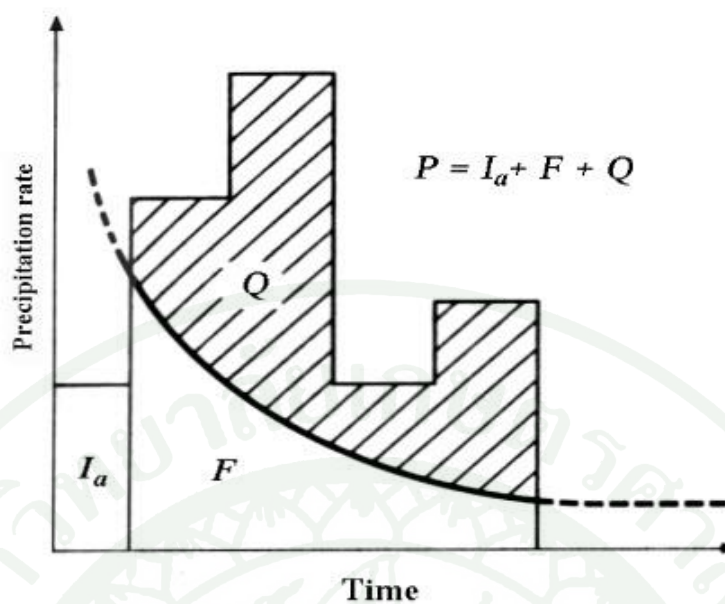
สมการที่ (4) ใช้ในการสูญเสียเริ่มต้น (initial abstraction; I_a) เท่ากับศูนย์ ส่วนกรณีที่ I_a ไม่เป็นศูนย์ จะทำให้ค่าศักย์การไหลดสูงสุดเท่ากับ $P - I_a$ และนิยมให้ S' เป็นค่าศักย์สูญเสียสูงสุดในกรณีที่มี I_a ดังนั้น จะได้สมมติฐานใหม่เมื่อ $I_a > 0$ คือ

$$S = S' + I_a \quad (5)$$

สมการที่ (1) เมื่อแทน S' ด้วย S และแทน P ด้วย $P - I_a$ จะได้สมมติฐานใหม่เมื่อ $I_a > 0$ คือ

$$\frac{F}{S} = \frac{Q}{(P - I_a)} \quad (6)$$

สมการที่ (6) เป็นสมการสมมติฐานของ SCS ซึ่งแสดงความสัมพันธ์ระหว่าง P , Q และ F ดังแสดงในภาพที่ 1



ภาพที่ 1 ความสัมพันธ์ระหว่างปริมาณฝนสะสม (P) ปริมาณการไหลออก (Q) และปริมาณการซึมจริง (F)

ที่มา: Soil Conservation Service (1972)

จากสมการสมดุลน้ำ (water balance equation)

$$F = (P + I_a) - Q \quad (7)$$

แทนค่า F ในการสมการที่ (7) ลงในสมการที่ (6) ได้

$$\frac{(P - I_a) - Q}{S} = \frac{Q}{(P - I_a)} \quad (8)$$

แก้สมการหาค่า Q ในการสมการที่ (8) ได้ว่า

$$Q = \frac{(P - I_a)^2}{(P - I_a + S)} \quad (9)$$

โดยที่ Q = ปริมาณการไหลโดยตรงหรือความลึกน้ำท่า (นิว)

P = ปริมาณน้ำฝนสะสม (นิว)

$$\begin{aligned} I_a &= \text{การสูญเสียเริ่มต้น (น้ำ)} \\ S &= \text{ศักยภาพการเก็บกักน้ำสูงสุด} \end{aligned}$$

2.2 ความหมายทางกายภาพของพารามิเตอร์

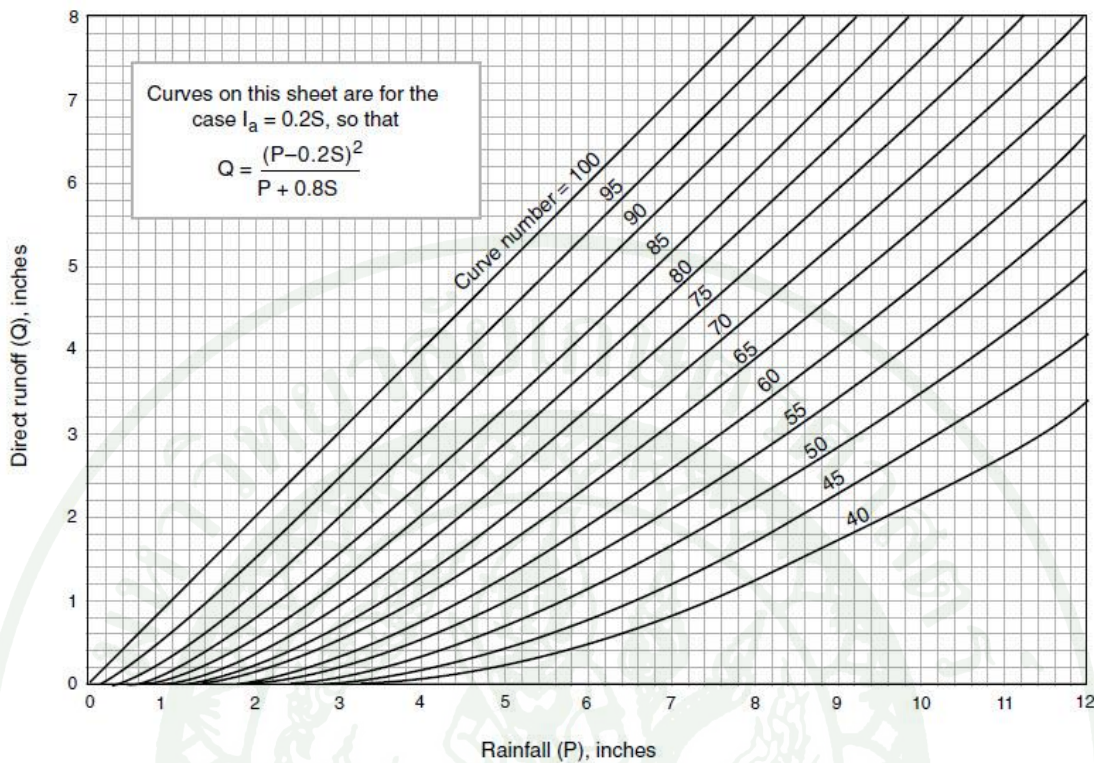
ปริมาณการไหลโดยตรง (*direct runoff; Q*) หมายถึง ปริมาณน้ำที่ไหลตามผิวดิน (*surface runoff*) รวมกับปริมาณน้ำที่ไหลตามด้านข้าง ได้ผิวดิน (*interflow*)

การสูญเสียเริ่มต้น (*initial abstraction; I_a*) หมายถึง ปริมาณฝนส่วนที่สูญเสียไปทั้งหมดก่อนเริ่มมีการไหลโดยตรง ซึ่งปริมาณฝนที่สูญเสียเริ่มต้นนี้จะประกอบไปด้วยการดัก การซึม การเก็บสะสมตามพื้นผิว (*surface storage*) และการระเหย

ศักยภาพการเก็บกักน้ำสูงสุด (*potential maximum retention; S*) หมายถึง ศักยภาพการเก็บกักน้ำสูงสุดของพื้นที่รับน้ำ (*available maximum void storage*) ซึ่งสามารถอุ้มน้ำเอาไว้ได้โดยค่า *S* นี้ รวมค่าการสูญเสียเริ่มต้นไว้ด้วย ทั้งนี้ *S* มีความสัมพันธ์กับค่า *curve number (CN)* ดังแสดงในสมการ

$$CN = \frac{1,000}{(S + 10)} \quad (10)$$

ค่า *curve number (CN)* เป็นค่าที่กำหนดขึ้นเพื่อใช้แทนพารามิเตอร์ *S* โดยให้มีความสัมพันธ์กับชนิดของดิน (*soil type*) และลักษณะของการใช้ที่ดิน (*land use*) ดังนั้น SCS จึงทำการแปลงค่า *S* ให้อยู่ในรูปของค่าคะแนนที่อยู่ภายใต้ช่วงที่จำกัดระหว่าง 0 ถึง 100 ทั้งนี้อยู่ภายใต้เงื่อนไขที่ว่า *CN* ที่มีค่าน้อย หมายความว่า สภาพพื้นที่ดินน้ำแห้งน้ำมีความสามารถในการดูดซับและเก็บกักน้ำฝนไว้ได้ดี ทำให้น้ำที่ระบายน้ำที่กับพื้นที่ท้ายน้ำที่เกิดขึ้นจากการตกของฝนแต่ละครั้งมีน้อย ในทางตรงกันข้ามถ้า *CN* มีค่ามาก แสดงว่าพื้นที่ดินน้ำแห้งน้ำมีความสามารถในการดูดซับและเก็บกักน้ำฝนไม่ดี น้ำฝนที่ตกลงมาล้วนไหลย่างระบายน้ำที่กับพื้นที่ท้ายน้ำแทน จากเงื่อนไขดังกล่าวนี้ ค่า *CN* จึงมีลักษณะที่ผูกพันกับค่า *S* (พงษ์ศักดิ์ และพิณฑิพย์, 2551) การหาค่า *CN* ทำได้โดยพล็อตข้อมูลปริมาณฝน และปริมาณการไหลออกโดยตรงสะสม แล้วนำมาเปรียบเทียบกับโค้งมาตรฐาน (*standard curve*) ของวิธี SCS (1972) ดังแสดงในภาพที่ 2 โดยกำหนดให้ค่า *I_a = 0.2S* ดังนั้น



ภาพที่ 2 โค้งความสัมพันธ์ระหว่างปริมาณฝนสะสม (P) กับปริมาณการไหลออก (Q) สำหรับค่า Curve number (CN) ต่าง ๆ

ที่มา: Natural Resources Conservation Service (1986)

$$Q = \frac{(P - 0.2S)^2}{(P + 0.8S)} \quad (11)$$

สมการที่ (11) สามารถนำไปใช้ในการคำนวณหาปริมาณการไหล โดยตรงจากปริมาณฝน เนื่องจากมีตัวแปรไม่ทราบค่าเพียงตัวเดียว คือ S แต่ค่า S สามารถหาได้จากค่า CN มาตรฐานที่ พัฒนาขึ้นโดยวิธี SCS สำหรับกรณี I_a เท่ากับ $0.2S$ และได้กำหนดความสัมพันธ์ชนิดของคินและลักษณะการใช้ที่คิน ดังแสดงในตารางผนวกที่ 1 ถึงตารางผนวกที่ 5 สำหรับกรณีต่าง ๆ ดังนี้

2.2.1 สมบัติทางอุทกวิทยาของคิน (hydrologic soil group) แบ่งออกเป็น 4 กลุ่ม ดังนี้

กลุ่ม A ดินในกลุ่มนี้มีอัตราการซึมลงดินสูง ถึงแม้ว่าจะเปียกชุ่มแล้วก็ตาม ส่วนมากประกอบไปด้วยทรายและกรวด มีความลึกลงไปจากผิวดินมาก และมีความสามารถระบายน้ำได้ดี ดินประเภทนี้มีอัตราการเคลื่อนตัวของน้ำผ่านดิน (water transmission) สูง ด้วยเหตุนี้ จึงมีศักยภาพให้น้ำท่า (runoff potential) ต่ำมาก

กลุ่ม B ดินในกลุ่มนี้มีอัตราการซึมลงดินปานกลางเมื่อเปียกชุ่ม มีความลึกปานกลางถึงลึกมาก การระบายน้ำค่อนข้างตื้น ดินประเภทนี้มีเนื้อดินตื้นแต่ละเอียงปานกลางจนถึง halfway ปานกลาง นอกจากนั้นยังมีอัตราการเคลื่อนตัวของน้ำผ่านดินปานกลาง

กลุ่ม C ดินในกลุ่มนี้มีอัตราการซึมน้ำลดลงต่ำเมื่อเปียกชุ่ม ส่วนใหญ่ประกอบไปด้วยชั้นดินซึ่งขัดขวางการเคลื่อนตัวลึกลงของน้ำ ดินประเภทนี้มีเนื้อดินละเอียดปานกลางจนถึงละเอียด และมีอัตราการเคลื่อนตัวของน้ำผ่านผิวดินต่ำ

กลุ่ม D ดินในกลุ่มนี้มีอัตราการซึมน้ำของดินต่ำมากเมื่อเปียกชุ่ม ส่วนใหญ่ เป็นดินเหนียวที่มีศักยภาพในการบวนตัวสูง เป็นพากดินที่มีระดับน้ำใต้ดินสูงตลอดเวลา เป็นดินที่ มีชั้นดินเหนียวอยู่ใกล้ๆ กับผิวดิน หรือเป็นพากดินที่มีชั้นดินซึ่งน้ำซึมผ่านได้ยากอยู่ใกล้กับผิวดิน เป็นต้น อัตราการเคลื่อนตัวของน้ำผ่านผิวดินประเภทนี้ต่ำมาก จึงมีศักยภาพในการเกิดน้ำท่า ก่อนข้างสูง

2.2.2 สิ่งปกคลุมดิน (land cover) คือ สิ่งต่างๆ ที่ปกคลุมดินและป้องกันการชะ祫 กของเม็ดฝนที่ตกลงมาสู่ดิน ประกอบด้วยลักษณะการใช้ที่ดิน (land use) และการรักษาหน้าดิน (land treatment) ซึ่งเกี่ยวข้องกับลักษณะและวิธีการปลูกพืช การเตรียมแปลง แบ่งออกเป็นการทำเพาะปลูกเป็นแนวตรง (straight row) การทำการเพาะปลูกเป็นแนวตามระดับพื้นที่ (contour) และการทำการทำเพาะปลูกเป็นขั้นบันได (terrace)

2.2.3 สภาพอุทกวิทยา (hydrologic condition) แบ่งออกเป็น

- ก. สภาพเลว (poor) มีพื้นปกคลุมพื้นที่น้อยกว่าร้อยละ 50
- ข. สภาพปานกลาง (fair) มีพื้นปกคลุมระหว่างร้อยละ 50-75
- ค. สภาพดี (good) มีพื้นปกคลุมพื้นที่มากกว่าร้อยละ 75

2.2.4 ความชื้นในดินเริ่มต้น (antecedent moisture conditions; AMC) คือปริมาณฝนสะสมทั้งหมดที่ตกก่อนหน้าพายุฝนที่พิจารณา 5 วัน และพิจารณาช่วงฤดูกาลเพาะปลูกของพืชด้วย โดยแบ่ง AMC เป็น 3 ชนิด ได้แก่ AMC I (ความชื้นต่ำ) AMC II (ความชื้นเฉลี่ย) AMC III (ความชื้นสูง)

2.3 การเปลี่ยนแปลงค่า S หรือ CN เนื่องจากปริมาณความชื้นในดิน

จากความหมายทางกายภาพของ S หมายถึง ศักยภาพการเก็บกักน้ำสูงสุด (potential maximum retention; S) คือ ศักยภาพการเก็บกักน้ำสูงสุดของพื้นที่รับน้ำ (available maximum void storage) ซึ่งสามารถอุ้มน้ำเอาไว้ได้ โดยค่า S นี้ ได้ร่วมค่าการสูญเสียเริ่มต้นไว้ด้วย ดังนั้น จึงพบว่า ค่า S สามารถเปลี่ยนแปลงไปได้ขึ้นอยู่กับปริมาณความชื้นที่มีอยู่ในดิน ซึ่งก็คือค่า S มีค่าน้อย ในกรณีที่ความชื้นในดินมีค่าสูง และ S มีค่ามากเมื่อความชื้นในดินมีค่าต่ำ โดยค่า S มีค่ามากที่สุดเมื่อไม่มีความชื้นในดินเลย เพื่อความง่ายและสะดวก SCS จึงกำหนดให้ความชื้นในดินสัมพันธ์กับเงื่อนไขความชื้นก่อนหน้า (antecedent moisture condition; AMC) โดยให้ AMC หมายถึงปริมาณฝนสะสมทั้งหมดที่ตกก่อนหน้าพายุฝนที่พิจารณา 5 วัน และยังพิจารณาช่วงฤดูกาลเพาะปลูกของพืชด้วย โดยแบ่ง AMC เป็น 3 ชนิด ดังแสดงไว้ในตารางที่ 1 โดยแบ่ง AMC เป็น 3 ชนิด ได้แก่ AMC I (ความชื้นต่ำ) AMC II (ความชื้นเฉลี่ย) AMC III (ความชื้นสูง) สำหรับค่า CN มาตรฐานที่พัฒนาโดย SCS กรณี I_a เท่ากับ $0.2S$ นี้ใช้เฉพาะในกรณีของ AMC II เท่านั้น ส่วนการหาค่า CN ในกรณี AMC I และ AMC III คำนวณได้จากสมการที่ (12) และ (13)

$$CNI = \frac{CNII}{(2.281 - 0.0128 \times CNII)} \quad (12)$$

$$CNIII = \frac{CNII}{(0.427 + 0.00573 \times CNII)} \quad (13)$$

จากสมการที่ (12) และ (13) สามารถคำนวณค่า CN กรณีทั้ง 3 แสดงไว้ในตาราง ผนวกที่ 7

ตารางที่ 1 การแบ่งเงื่อนไขความชื้นก่อนหน้านั้น (antecedent moisture condition; AMC)

ปริมาณฝนสะสมก่อนหน้า 5 วัน					
ชนิดของ AMC	นอกฤดูกาลเพาะปลูก		ฤดูกาลเพาะปลูก		
	นิ่ว	มิลลิเมตร	นิ่ว	มิลลิเมตร	
AMC I (ความชื้นต่ำ)	<0.5	<12.7	<1.4	<35.6	
AMC II (ความชื้นเฉลี่ย)	0.5-11	12.7-27.9	1.4-2.1	35.6-53.3	
AMC III (ความชื้นสูง)	>1.1	>27.9	>2.1	>53.3	

ที่มา: Soil Conservation Service (1972)

การตีความหมายทางกายภาพ เงื่อนไขของความชื้นต่ำ (AMC) ค่า CN I จะมีค่าน้อยกว่าค่าเฉลี่ย CN ซึ่งทำให้ศักย์ของการไหลดโดยตรงมีค่าน้อย ส่วนเงื่อนไขของความชื้นในดินสูง (AMC III) ค่า CN III จะมีค่าสูงกว่าค่าเฉลี่ย CN ทำให้ศักย์ของการไหลดโดยตรงมีค่าสูงด้วย

3. ระบบสารสนเทศภูมิศาสตร์ (geographic information system; GIS)

3.1 นิยามและความหมาย

สุระ (2546) ได้กล่าวว่า ระบบสารสนเทศภูมิศาสตร์ หมายถึง กระบวนการของการใช้คอมพิวเตอร์ ฮาร์ดแวร์ (hardware) ซอฟต์แวร์ (software) ข้อมูลทางภูมิศาสตร์ (geographic data) และการออกแบบ (personal design) ในการเสริมสร้างประสิทธิภาพของการจัดเก็บข้อมูล การปรับปรุงข้อมูล การคำนวณ และการวิเคราะห์ข้อมูลให้แสดงผลในรูปของข้อมูลที่สามารถอ้างอิงถึงได้ในทางภูมิศาสตร์ หรือหมายถึง การใช้สมรรถนะของคอมพิวเตอร์ในการจัดเก็บและการใช้ข้อมูลเพื่ออธิบายสภาพต่าง ๆ บนพื้นผิวโลก โดยอาศัยลักษณะทางภูมิศาสตร์เป็นตัวเชื่อมโยงความสัมพันธ์ระหว่างข้อมูลต่าง ๆ นั่นเอง

อุทัย (2547) กล่าวว่า ระบบสารสนเทศภูมิศาสตร์ หมายถึง ระบบฐานข้อมูลที่ทำหน้าที่จัดการข้อมูลของสรรพสิ่งต่าง ๆ บนโลกให้อยู่ในระบบข้อมูลเชิงพื้นที่ โดยข้อมูลแต่ละชนิดมีการ

อ้างอิงพิกัดตำแหน่งและอยู่ในรูปแบบข้อมูลดิจิทัล ซึ่งเป็นการผสมผสานกระบวนการวิเคราะห์ร่วมกันระหว่างเทคโนโลยีคอมพิวเตอร์กับระบบข้อมูลแผนที่ (**geographic information**) และระบบฐานข้อมูล (**database system**) ดังนั้น ระบบสารสนเทศภูมิศาสตร์ จึงเป็นฐานข้อมูลที่อ้างอิงพิกัดตำแหน่งบนแผนที่แบบดิจิทัล (**digital map**)

Burrough (1986) กล่าวว่า GIS หมายถึง เครื่องมือที่ใช้ในการเก็บรวบรวมและสะสมข้อมูลไว้เพื่อเรียกใช้ได้ตามต้องการ สามารถเปลี่ยนแปลงและแสดงผลข้อมูลเชิงพื้นที่จากโลกของความเป็นจริงเพื่อวัตถุประสงค์ต่าง ๆ กันเฉพาะเรื่องไป

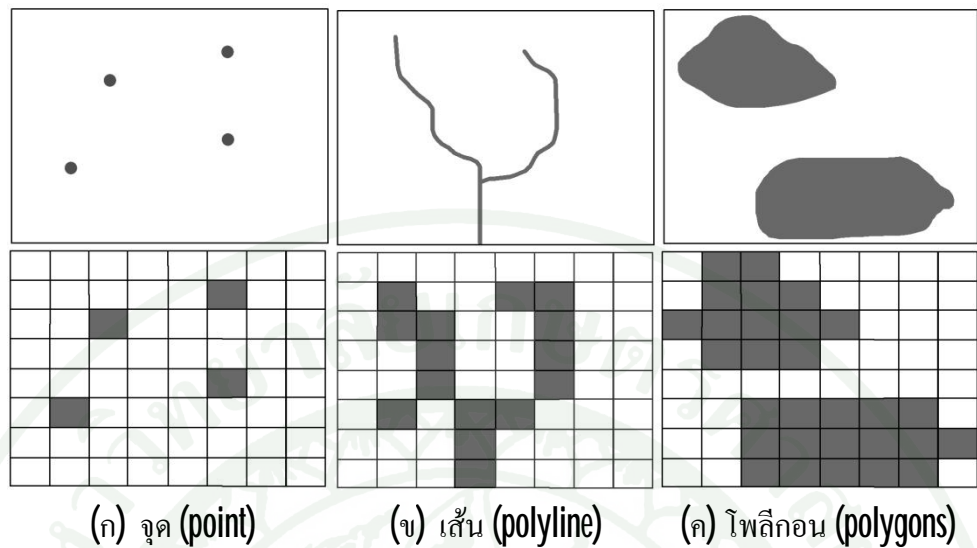
Star and Estes (1990) ให้ความหมายว่า GIS คือ ระบบสารสนเทศที่ออกแบบเพื่อการทำงานกับข้อมูลเชิงพื้นที่ หรือข้อมูลที่มีความสัมพันธ์กับจุดทางภูมิศาสตร์หรืออีกนัย GIS เป็นระบบฐานข้อมูลที่มีความสามารถเฉพาะสำหรับข้อมูลเชิงพื้นที่ รวมทั้งเป็นชุดของเครื่องมือที่ใช้ในการรวบรวมข้อมูล เก็บข้อมูล และวิเคราะห์ข้อมูล

จากคำนิยามที่กล่าวข้างต้น สามารถสรุปได้ว่า ระบบสารสนเทศภูมิศาสตร์เป็นเครื่องมือที่ใช้ในการนำเข้า การจัดเก็บ การจัดการกับข้อมูลด้านภูมิศาสตร์ที่เก็บไว้ในเครื่องคอมพิวเตอร์ รวมทั้งนำมาช่วยในการวิเคราะห์หรือช่วยในการตัดสินใจได้อย่างรวดเร็วต่อเหตุการณ์และแสดงผลลัพธ์ได้อย่างมีประสิทธิภาพ โดยข้อมูลของระบบสารสนเทศภูมิศาสตร์ต้องอ้างอิงพิกัดทางภูมิศาสตร์ได้

3.2 ลักษณะของข้อมูลในระบบสารสนเทศภูมิศาสตร์

ลักษณะของข้อมูลในระบบสารสนเทศภูมิศาสตร์ แบ่งออกได้เป็น 2 ลักษณะ ดังนี้

3.2.1 ข้อมูลที่มีลักษณะเชิงพื้นที่ หรือข้อมูลเชิงภูมิศาสตร์ (**spatial data**) เป็นข้อมูลที่แสดงสภาพภูมิประเทศของพื้นที่ด้วยตำแหน่งพิกัดทางภูมิศาสตร์ ซึ่งมีโครงสร้างข้อมูล 2 รูปแบบ ดังแสดงในภาพที่ 3 ดังนี้



ภาพที่ 3 รูปแบบข้อมูลเวกเตอร์และข้อมูล raster

ที่มา: ดัดแปลงจาก อุทัย (2547)

ก. รูปแบบข้อมูลเวกเตอร์ (**vector format**) เป็นข้อมูลที่แสดงทิศทางและตำแหน่งทางภูมิศาสตร์ในลักษณะของจุด (**point**) หรือโดยการเชื่อมจุดหลาย ๆ จุดเพื่อแสดงรูปแบบเส้น (**polyline**) เช่น ถนน แม่น้ำ เป็นต้น และปลายของเส้นหลาย ๆ เส้นที่ต่อกันจนเกิดเป็นรูปของเขตของพื้นที่ เรียกว่า โพลีกอน (**polygons**) ดังนั้น รูปแบบของข้อมูลเชิงพื้นที่จะอาศัยค่าพิกัดที่ต่อเนื่องของจุดในการกำหนดขอบเขตของวัตถุที่เราสนใจ

ข. รูปแบบข้อมูล raster (**raster format**) หรือตารางกริด ซึ่ง โครงสร้างของข้อมูลแสดงในรูปสี่เหลี่ยมหรือจุดภาพ (**grid or pixels**) ที่มีการอ้างอิงกับระบบพิกัด ข้อมูลในลักษณะตารางกริดนี้ ถูกแบ่งพื้นที่ออกเป็นตารางกริดที่มีรูปเป็นสี่เหลี่ยมจตุรัสเล็ก ๆ จำนวนมาก โดยในรูปสี่เหลี่ยมจตุรัสเล็ก ๆ เหล่านี้มีศัพท์เรียกเฉพาะว่าหน่วยภาพย่อย (**picture element**) หรือ นิยมเรียกว่าพิกเซล (**pixel**) โดยที่แต่ละพิกเซล (**pixel**) เป็นหน่วยที่เล็กที่สุดของข้อมูล ถ้าข้อมูลที่มีความละเอียดสูง ขนาดของพิกเซล (**pixel**) ก็มีขนาดเล็ก แต่ถ้าข้อมูลที่ใช้ในงานสารสนเทศค่อนข้างใหญ่ ขนาดของพิกเซล (**pixel**) มีขนาดใหญ่ ข้อดีของระบบข้อมูลแบบเชิงตารางกริด (**raster**) นี้คือ ภาษาหลวงจากการจัดเก็บแล้ว สามารถแก้ไขข้อมูลได้ง่าย สะดวกรวดเร็ว และมีประสิทธิภาพ แต่ ข้อเสียของข้อมูลระบบนี้คือ ต้องการแฟ้มข้อมูลขนาดใหญ่เพื่อการจัดเก็บหน่วยภาพย่อยทั้งหมด

ตัวอย่างของข้อมูลในระบบเชิงตารางกริด (raster) ได้แก่ ข้อมูลจากภาพถ่ายดาวเทียม ข้อมูลจากภาพถ่ายทางอากาศ เป็นต้น

3.2.2 ข้อมูลเชิงบรรยาย (non-spatial data or attribute data) เป็นข้อมูลที่เกี่ยวข้องกับคุณลักษณะของพื้นที่นั้น อาจเป็นค่าเชิงปริมาณหรือตารางที่อธิบายถึงสภาพพื้นที่ได้เด่นชัด เพื่อการจัดการทรัพยากร่างกาย เช่น ข้อมูลประชากรในพื้นที่ลุ่มน้ำ ข้อมูลด้านอุตุนิยมวิทยา คุณภาพของน้ำ และสิ่งแวดล้อม เป็นต้น ดังแสดงในภาพที่ 4 การป้อนข้อมูลชนิดนี้ มักนิยมกำหนดเป็น รหัส และจัดเก็บไว้ในไฟล์ข้อมูลที่เรียกว่า topology file

Attributes of rsta_p_thai												
FID	Shape	NAME_CO	NAME_E	NAME_T	CODE_O	MB1_CO	MB2_NAME	SB2_COD	SB2_NAME	TB_COD	TB_NAME	AM
1 Point	20111	Nam Pai (Sw-SA), A. Muang	ນ້ຳປາຍ (Sw-SA) ຂະເມືອງ	ນ້ຳປາຍ (Sw-SA) ຂະເມືອງ	20111	01	ພັນກົດວິວ	0105	ນ້ຳປາຍຄອນເລົາ	3588183	ຈະການອ່ານ	3588
1 Point	20080	HID (Nam Yuen Project), A. Mae Sanang	ໄຕຮອກງານປະການນໍ້າຍາມ ດ.ມະເສດຖະກິນ	ໄຕຮອກງານປະການນໍ້າຍາມ ດ.ມະເສດຖະກິນ	20080	01	ພັນກົດວິວ	0110	ພັນກົດອອກຄົນເລົາ	3588482	ຈະມະສິບເຮົາ	3588
2 Point	20121	Mae Sanang (Sw-S), A. Mae Sanang	ມະເສດຖະກິນ (Sw-S) ດ.ມະເສດຖະກິນ	ມະເສດຖະກິນ (Sw-S) ດ.ມະເສດຖະກິນ	20121	01	ພັນກົດວິວ	0111	ນ້ຳມະສິບເຮົາ	3588482	ຈະມະສິບເຮົາ	3588
3 Point	63181	Mae Lamta (SW 6), A. Mae Sot	ມະເລີນນະມັດ (Sw 6) ດ.ມະເສດຖະກິນ	ມະເລີນນະມັດ (Sw 6) ດ.ມະເສດຖະກິນ	63181	01	ພັນກົດວິວ	0117	ຫ້າມແລະຜາ	3638683	ຈະກາວ	3638
4 Point	08230	Mae Ngien, T. Ban Chao, A. Chiang Saen (K)	ມະເນີນ ຕ.ບ້ານຈູາ ອ.ເຊີຍມະນາ	ມະເນີນ ຕ.ບ້ານຈູາ ອ.ເຊີຍມະນາ	08230	02	ພັນໄຈ	0202	ພັນໄຈໂຄນນັນ	3578885	ຈະເຈັນ	3578
5 Point	18110	Huai Nam Wai Tank (TNK 14), A. Tha Li	ໜ້າວ້ານ້າວ້າ ທ່າລີ	ໜ້າວ້ານ້າວ້າ ທ່າລີ	18110	02	ພັນໄຈ	0213	ພັນໄຈສຳນັກທີ 4	4428881	ທ່າລີ	4428
6 Point	18090	Huai Nam Mat Wez, A. Muang	ໜ້າວ້ານ້າວ້າ ມູນ	ໜ້າວ້ານ້າວ້າ ມູນ	18090	02	ພັນໄຈ	0215	ພັນໄຈອອກຄົນເລົາ	4428182	ຈະເມືອງ	4428
7 Point	18100	Huai E-Lert Tank (TNK 6), A. Wang Saphan	ໜ້າວ້ານ້າວ້າ ວັງສະຫຼວງ	ໜ້າວ້ານ້າວ້າ ວັງສະຫຼວງ	18100	02	ພັນໄຈ	0215	ພັນໄຈອອກຄົນເລົາ	4428981	ທ.ວັງສະຫຼວງ	4428
8 Point	18130	Huai Nam Phai Tank (TNK 26), A. Muang	ໜ້າວ້ານ້າວ້າ ມູນ	ໜ້າວ້ານ້າວ້າ ມູນ	18130	02	ພັນໄຈ	0215	ພັນໄຈອອກຄົນເລົາ	4428185	ຈະນຸການ	4428

ภาพที่ 4 ตัวอย่างรูปแบบฐานข้อมูลเชิงบรรยาย

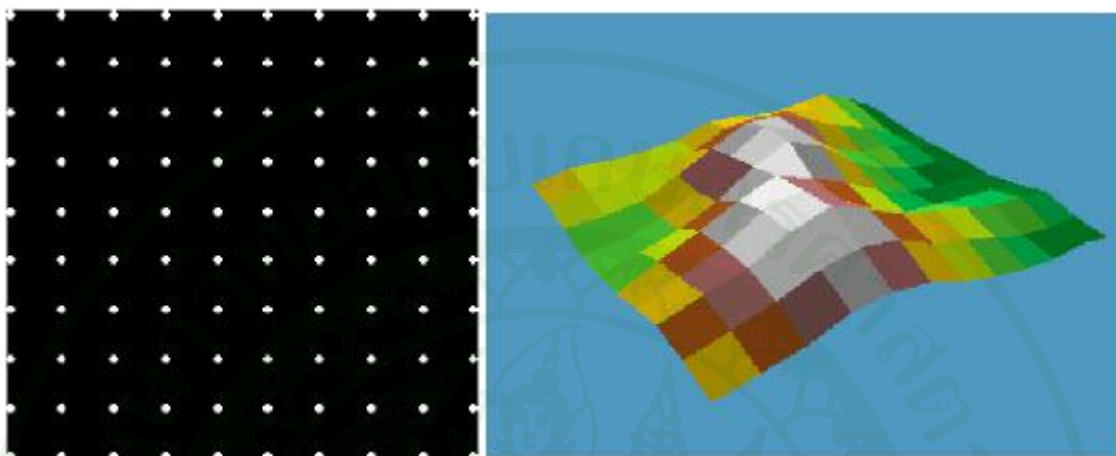
3.3 การสร้างแบบจำลองด้วยระบบระบบสารสนเทศภูมิศาสตร์

3.3.1 การสร้างแบบจำลองพื้นผิวแบบ 2 มิติ

พื้นผิว คือ พื้นที่ต่อเนื่องที่แสดงค่าใด ๆ ประกอบด้วยจุดจำนวนมากไม่จำกัด เช่น จุดแทนค่าความสูง ณ ตำแหน่งต่าง ๆ ของพื้นผิวโลก จุดแทนค่าความลึกของห้องน้ำในเขื่อน เป็นต้น ซึ่งเรียกว่า “ค่า Z” (Z-value) และแทนค่าของจุดด้วยค่า X, Y, Z ในระบบพิกัด 3 มิติ ซึ่งพื้นผิวสร้างขึ้นจากการประมาณค่ากริดในชั้นข้อมูล raster โดยนำข้อมูลจุดตัวอย่าง (sample data points) ที่มีอยู่มาทำนายจุดอื่นบนพื้นที่ (geographic point data) ที่ไม่ทราบค่า การสร้างแบบจำลองพื้นผิวแบบ 2 มิติ มี 2 วิธี คือ

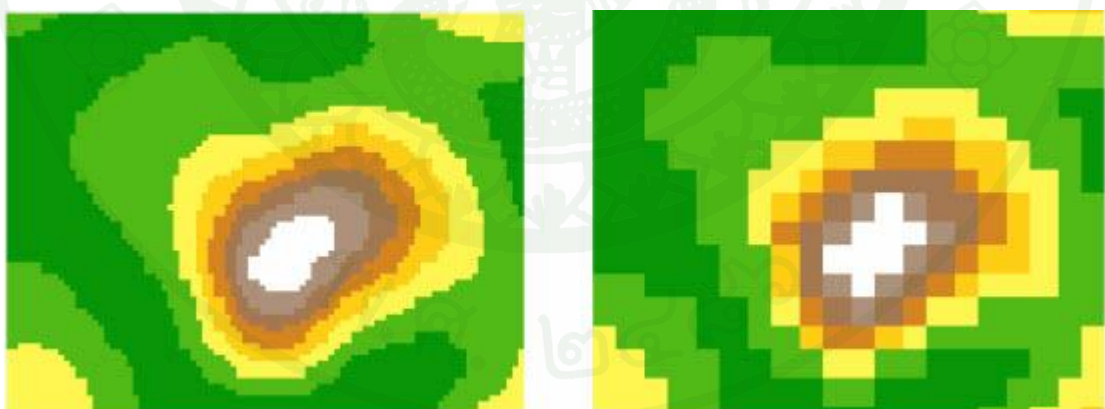
ก. วิธีพื้นผิวร้าสเตอร์ (raster surfaces) เป็นวิธีการที่จำลองพื้นผิวจากตาข่าย สี่เหลี่ยมจตุรัสที่ต่อเนื่องกันเป็นจำนวนมาก ซึ่งพื้นผิวร้าสเตอร์นี้สร้างขึ้นจากข้อมูลแบบจุดที่มี

ระยะห่างระหว่างจุดสม่ำเสมอ (regularly spaced data) และเชื่อมระหว่างจุดด้วยเส้นจนเป็นตาข่ายลักษณะสี่เหลี่ยมจัตุรัสที่ประกอบด้วยตารางกริดขนาดเล็กจำนวนมากดังแสดงในภาพที่ 5 โดยกริดที่มีขนาดเล็กกว่าให้รายละเอียดข้อมูลพื้นผิวได้ดีกว่ากริดที่มีขนาดใหญ่ ดังแสดงในภาพที่ 6



ภาพที่ 5 จุดที่วางเรียงกันอย่างเป็นระเบียบในแบบ 2 มิติ และแบบจำลองพื้นผิวแบบกริด 3 มิติ

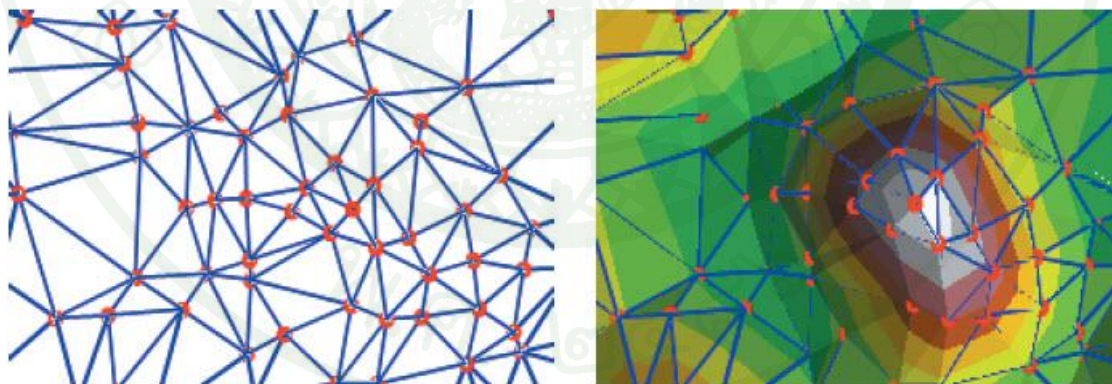
ที่มา: Environmental Systems Research Institute (2000)



ภาพที่ 6 ความแตกต่างของพื้นผิว raster ที่สร้างจากกริดที่มีขนาดแตกต่างกัน

ที่มา: Environmental Systems Research Institute (2000)

ข. วิธีโครงข่ายสามเหลี่ยม (**triangulated irregular networks; TIN**) เป็นโครงสร้างที่จำลองพื้นผิวจากผิวน้ำของสามเหลี่ยมหลากหลายขนาดที่เชื่อมต่อกันเป็นจำนวนมาก สร้างขึ้นจากจุดตัวอย่าง (**node**) มีระยะห่างระหว่างจุดไม่สม่ำเสมอ (**irregularly spaced data**) กระจายอยู่ทั่วพื้นที่ที่สนใจ โดยจุดตัวอย่างถูกนำมาเชื่อมต่อกันเพื่อสร้างรูปสามเหลี่ยมที่ต่อเนื่องและไม่ซ้อนกันทับกัน เรียกว่า “**delaunay triangulation**” ซึ่งเมื่อถูกวงกลมผ่านจุด 3 จุดที่ประกอบขึ้นเป็นรูปสามเหลี่ยมแล้ว ต้องไม่ประกบกันอื่นใดภายในวงกลมหรือในสามเหลี่ยมนั้นอีก สามารถนำข้อมูลแบบเส้น และข้อมูลแบบพื้นที่ปิดที่แปลงรูปเป็นข้อมูลแบบจุด มาใช้ในการสร้างโครงข่ายสามเหลี่ยมได้ พื้นที่ที่ใช้ในการสร้างโครงข่ายสามเหลี่ยม เรียกว่า “**hull**” มีอยู่สองลักษณะ กือ พื้นที่ที่มีการนำมาใช้ในการประมาณค่า เรียก “**convex hull**” เช่น ลักษณะที่มีภูมิประเทศเป็นเกาะส่วนพื้นที่ที่ไม่มีการประมาณค่าข้อมูล เรียก “**non-convex hull**” เช่น ขอบเขตของแหล่งน้ำผิวดินนอกจากนี้ลักษณะของสามเหลี่ยมยังมีผลต่อรายละเอียดของพื้นผิว กือ สามเหลี่ยมที่มีขนาดใหญ่ แทนลักษณะจริงของบริเวณที่มีการเปลี่ยนแปลงของข้อมูลค่อนข้างน้อยหรือมีจำนวนจุดตัวอย่างน้อยทำให้พื้นผิวแบบจำลองที่มีลักษณะค่อนข้างราบ ในทางตรงกันข้ามสามเหลี่ยมมีขนาดเล็ก เรียงติดกันถี่ ๆ แสดงว่ามีข้อมูลจุดตัวอย่างจำนวนมาก หรือพื้นที่บริเวณนั้นมีการเปลี่ยนแปลงของข้อมูลค่อนข้างสูง ทำให้แบบจำลองพื้นผิวที่ถูกต้องมีประสิทธิภาพกว่า สำหรับแบบจำลองพื้นผิวแบบโครงข่ายสามเหลี่ยม 3 มิติ ดังแสดงในภาพที่ 7



ภาพที่ 7 จุดที่ประกอบขึ้นเป็นโครงข่ายสามเหลี่ยมแบบ 2 มิติ และแบบจำลองพื้นผิวแบบโครงข่ายสามเหลี่ยม 3 มิติ

ที่มา: Environmental Systems Research Institute (2000)

3.3.2 การสร้างแบบจำลองความสูงภูมิประเทศ

แบบจำลองความสูงภูมิประเทศเชิงตัวเลข สามารถสร้างได้จากข้อมูลหลายรูปแบบสามารถจำแนกได้เป็น 2 กลุ่ม ดังนี้

ก. การสร้างจากข้อมูลแผนที่ หรือข้อมูลที่ได้จากการดิจิไทซ์ (digitizing altimetric data) ได้แก่ จุดความสูง เส้นชั้นความสูง แหล่งน้ำ ถนน และสิ่งก่อสร้างอื่น ๆ สามารถนำไปสร้างแบบจำลองความสูงภูมิประเทศได้สองรูปแบบ คือ แบบจำลองความสูงแบบราสเตอร์ (digital elevation model; DEM) กับแบบโครงข่ายสามเหลี่ยม (triangulated irregular networks; TIN) โดยมากนิยมสร้างเป็นแบบ TIN ก่อน เนื่องจากความสามารถในการเพิ่มเติมรายละเอียดภูมิประเทศ เช่น เส้นถนน แม่น้ำ ลำคลอง เป็นต้น ช่วยให้สามารถจำลองภูมิประเทศที่ซับซ้อนให้มีความถูกต้องและใกล้เคียงกับสภาพพื้นที่จริงมากที่สุด และเมื่อต้องการนำข้อมูลไปใช้วิเคราะห์เชิงพื้นที่ อย่างอื่นต่อ ก็สามารถใช้โปรแกรมระบบสารสนเทศภูมิศาสตร์ในการแปลงรูปแบบข้อมูลจาก TIN ไปเป็น DEM ได้ นอกจากนี้ การสร้างแบบจำลองความสูงแบบโครงข่ายสามเหลี่ยม แม้จำนวนข้อมูลจุดความสูง (spot height) น้อยกว่าแบบจำลองพื้นผิวแบบราสเตอร์ แต่สามารถให้ข้อมูลแบบจำลองความสูงภูมิประเทศที่ละเอียดถูกต้องใกล้เคียงกัน และเนื่องจากความซับซ้อนของรูปแบบการเก็บข้อมูล จึงทำให้การสร้างแบบ TIN ใช้เวลาในการวิเคราะห์มากกว่าแบบ DEM

ข. การสร้างจากข้อมูลภาพหรือข้อมูลที่สร้างด้วยเทคนิคการรับรู้จากระยะไกล เช่น ภาพถ่ายทางอากาศ ภาพถ่ายดาวเทียม แล้วใช้เทคนิคการมองภาพต่างมุม (oblique viewing) ของพื้นที่เดียวกัน ที่เรียกว่า “stereoscopic” มาช่วยในการวิเคราะห์ความสัมพันธ์ของมุม เพื่อหาความสูงของวัตถุ และพื้นที่ด้วยคอมพิวเตอร์ร่วมกับโปรแกรมวิเคราะห์ภาพ (image processing program) ในการกำหนดจุดควบคุมภาคพื้นดินและข้อมูลการบินถ่ายภาพ เพื่อกำหนดค่าความสูง บริเวณนั้น แล้วสร้างแบบจำลองความสูงภูมิประเทศเชิงตัวเลข

4. การสำรวจระยะไกล (remote sensing)

4.1 นิยามและความหมาย

ความหมายของคำว่า remote sensing ในภาษาไทยมีการใช้คำอยู่หลายคำ ได้แก่ “การรับรู้จากระยะไกล” “การสำรวจข้อมูลจากระยะไกล” “โทรสัมผัส” และ “โทรนิทัศน์” เป็นต้น

โดยราชบันฑิตยสถานใช้คำว่า การรับรู้จากระยะไกล นอกจากนี้ยังได้มีผู้ให้นิยามและความหมาย ไว้ดังนี้

จัลยูธ (2546) ให้นิยามว่า การสำรวจจากระยะไกลเป็นทั้งวิทยาศาสตร์ ศิลปะและเทคโนโลยีที่เกี่ยวข้องกับการบันทึกข้อมูลด้วยเครื่องมือที่ใช้วัสดุพลังงานแม่เหล็กไฟฟ้าที่สะท้อนหรือแผ่อออกจากวัตถุ เช่น กล้องถ่ายรูป (camera) หรือเครื่องตรวจภาพหลายช่วงคลื่น (multispectral scanner) ที่ถูกติดตั้งบนยานพาหนะหรือยานสำรวจ (platform) เช่น เครื่องบิน ดาวเทียม เป็นต้น หลังจากนั้นข้อมูลที่ถูกบันทึกจะถูกนำมาแปลตีความ จำแนกและวิเคราะห์เพื่อให้เข้าใจถึงวัตถุและสภาพแวดล้อมต่าง ๆ จากลักษณะเฉพาะตัวของการสะท้อนแสง หรือแผ่พลังงานแม่เหล็กไฟฟ้า

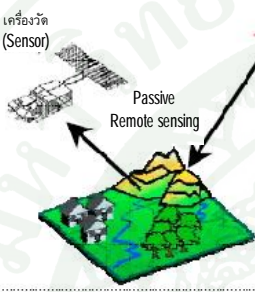
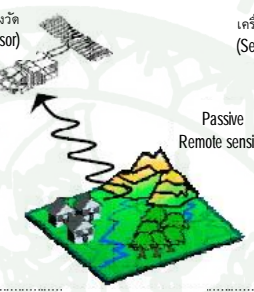
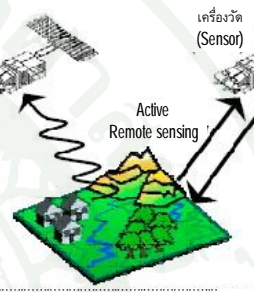
สำนักงานคณะกรรมการวิจัยแห่งชาติ (2540) ได้กล่าวว่า การสำรวจข้อมูลระยะไกล ว่า เป็นวิทยาศาสตร์และเทคโนโลยีแขนงหนึ่งที่ใช้ในการบ่งบอก จำแนก หรือวิเคราะห์คุณลักษณะของวัตถุต่าง ๆ โดยปราศจากการสัมผัสโดยตรง โดยต้นกำเนิดของข้อมูลการสำรวจระยะไกล ส่วนใหญ่เป็นพลังงานแม่เหล็กไฟฟ้าจากดวงอาทิตย์ที่สะท้อนหรือแผ่อออกจากวัตถุ อย่างไรก็ตาม อาจใช้ตัวกลางอื่นเป็นต้นกำเนิดข้อมูลได้ เช่น เสียง ความโน้มถ่วง หรือสนามแม่เหล็ก เป็นต้น

สำนักงานพัฒนาเทคโนโลยีอวกาศและภูมิสารสนเทศ (องค์การมหาชน) และสมาคมสำรวจข้อมูลระยะไกลและสารสนเทศภูมิศาสตร์แห่งประเทศไทย (2552) ได้ให้นิยามว่า การรับรู้จากระยะไกล เป็นวิทยาศาสตร์และศิลปะของการได้มาซึ่งข้อมูลเกี่ยวกับวัตถุ พื้นที่ และปรากฏการณ์บนพื้นโลกจากเครื่องรับรู้ (sensor) โดยปราศจากการเข้าไปสัมผัสวัตถุเป้าหมาย ทั้งนี้ อาศัยพลังงานของคลื่นแม่เหล็กไฟฟ้า (electromagnetic energy) เป็นสื่อในการได้มาของข้อมูลซึ่งมีคุณสมบัติ 3 ประการ คือ ลักษณะการสะท้อนช่วงคลื่นแม่เหล็กไฟฟ้า (spectral characteristics) ลักษณะเชิงพื้นที่ของวัตถุบนพื้นผิวโลก (spatial characteristics) และลักษณะการเปลี่ยนแปลงของวัตถุตามช่วงเวลา (temporal characteristics)

ดังนั้น จึงสรุปได้ว่า การสำรวจระยะไกล เป็นการสำรวจตรวจสอบคุณลักษณะของวัตถุหรือสิ่งต่าง ๆ โดยมิได้มีการสัมผัสวัตถุหรือสิ่งต่าง ๆ เหล่านั้นโดยตรง ทั้งนี้อาศัยคุณสมบัติของคลื่นแม่เหล็กไฟฟ้าเป็นสื่อในการได้มาของข้อมูลใน 3 ลักษณะ คือ คลื่นรังสี (spectral) รูปทรง สัญญาณของวัตถุบนพื้นผิวโลก (spatial) และการเปลี่ยนแปลงตามช่วงเวลา (temporal)

4.2 ประเภทของระบบการสำรวจระยะไกล

ระบบการสำรวจระยะไกล สามารถจำแนกตามแหล่งกำเนิดพลังงาน ออกได้เป็น 2 ประเภทหลัก ตามจัลูน (2546) และ สำนักงานคณะกรรมการวิจัยแห่งชาติ (2540) ดังแสดงในภาพที่ 8 รายละเอียดดังนี้

	การสำรวจจากระยะไกล ยานแสงที่สามารถเห็นและ อินฟราเรดระยะห้อง	การสำรวจจากระยะไกล ยานอิเล็กทรอนิกส์ร้อน	การสำรวจจากระยะไกล ยานไมโครเวฟ
แหล่งกำเนิด พลังงาน	 <p>เครื่องวัด (Sensor)</p> <p>Passive Remote sensing</p>	 <p>เครื่องวัด (Sensor)</p> <p>Passive Remote sensing</p>	 <p>เครื่องวัด (Sensor)</p> <p>Active Remote sensing</p>
วัตถุ	ดวงอาทิตย์	วัตถุ	วัตถุ
คุณสมบัติหลัก ไฟฟ้า	ค่าการสะท้อนพลังงาน	การแพร่เสียงความร้อน ^{(อุณหภูมิ), สภาพการผั่งปึ่ง}	การแผ่วรังสีไมโครเวฟ
	อัตรา ไวโอลেต ช่วงคลื่นที่สามารถเห็น อินฟราเรดระยะห้อง	อินฟราเรดความร้อน	ไมโครเวฟ
	0.4 μm	0.7 μm	14 μm
	3 μm	8 μm	1 mm
			30 cm

ภาพที่ 8 ประเภทของการสำรวจข้อมูลจากการสำรวจระยะไกลที่สัมพันธ์กับความยาวคลื่นทั้ง 3 ประเภท

ที่มา: ดัดแปลงจาก สำนักงานคณะกรรมการวิจัยแห่งชาติ (2540)

4.2.1 Passive remote sensing เป็นระบบการรับรู้จากการสำรวจระยะไกล ที่ใช้ตั้งแต่เริ่มแรกจนถึงปัจจุบัน โดยมีดวงอาทิตย์เป็นแหล่งกำเนิดพลังงานตามธรรมชาติ ระบบนี้จึงรับสัญญาณและบันทึกข้อมูลได้ในช่วงเวลากลางวันเป็นส่วนใหญ่ ด้วยการอาศัยการสะท้อนพลังงานของวัตถุบนพื้นโลกด้วยแสงอาทิตย์ ดังนั้น ระบบนี้จึงมีข้อจำกัดด้านสภาพอากาศ ทำให้ไม่สามารถบันทึกข้อมูลได้ในช่วงฤดูฝนหรือในช่วงเวลาที่มีเมฆหนาปกคลุมอย่างหนาแน่น อย่างไรก็ตาม ระบบนี้สามารถบันทึกข้อมูลในช่วงคลื่นอินฟราเรดความร้อน (*thermal infrared*) ซึ่งเป็นการแผ่พลังงานความร้อน (*emission*) จากวัตถุบนพื้นผิวโลกในเวลากลางคืน ได้

4.2.2 Active remote sensing เป็นระบบการรับรู้จากระยะไกลที่มีแหล่งกำเนิดของพลังงานจากการสร้างขึ้นของอุปกรณ์สำรวจในช่วงคลื่นไมโครเวฟที่นำมาใช้ในระบบเรดาร์ (**radio detector and ranging**) โดยส่งผ่านพลังงานนั้นไปยังพื้นที่เป้าหมายและบันทึกสัญญาณการ反射ระยะกลับ (**backscatter**) จากพื้นที่เป้าหมาย ระบบนี้สามารถทำงานได้โดยไม่มีข้อจำกัดด้านเวลา และสภาพภูมิอากาศ ทั้งยังสามารถส่งสัญญาณทะลุผ่านกลุ่มเมฆ หมอก ฝน ทำให้สามารถบันทึกสัญญาณได้ทั้งเวลากลางวันและกลางคืนในทุกฤดูกาล

4.3 คุณสมบัติของข้อมูลภาพถ่ายดาวเทียม

ภาพถ่ายจากดาวเทียมสำรวจทรัพยากร เป็นภาพที่มีลักษณะพิเศษตามคุณสมบัติของดาวเทียมที่ใช้ในการสำรวจข้อมูลระยะไกล ซึ่งมีคุณสมบัติตาม สำนักงานคณะกรรมการวิจัยแห่งชาติ (2540) จรัญชัย (2546) และ สำนักงานพัฒนาเทคโนโลยีอวกาศและภูมิสารสนเทศ (องค์การมหาชน) และ สมาคมสำรวจข้อมูลระยะไกลและสารสนเทศภูมิศาสตร์แห่งประเทศไทย (2552) แบ่งได้ ดังนี้

4.3.1 การบันทึกข้อมูลเป็นบริเวณกว้าง (synoptic view) ภาพจากดาวเทียมภาพหนึ่ง ๆ ครอบคลุมพื้นที่กว้าง ทำให้ได้ข้อมูลในลักษณะต่อเนื่องในระยะเวลาการบันทึกภาพสั้น ๆ สามารถศึกษาสภาพแวดล้อมต่าง ๆ ในบริเวณกว้างต่อเนื่องในเวลาเดียวกันทั้งภาพ เช่น ดาวเทียม Landsat - MSS และ TM หนึ่งภาพครอบคลุมพื้นที่ 175×184 ตารางกิโลเมตร หรือ $32,220$ ตารางกิโลเมตร ภาพจากดาวเทียม SPOT ครอบคลุมพื้นที่ $3,600$ ตารางกิโลเมตร หรือ ภาพจากดาวเทียม MOS-MESSR ครอบคลุมพื้นที่ $10,000$ ตารางกิโลเมตร เป็นต้น

4.3.2 การบันทึกภาพได้หลายช่วงคลื่น (multispectral) ดาวเทียมสำรวจทรัพยากรมีระบบกล้องที่บันทึกภาพได้หลายช่วงคลื่นในบริเวณเดียวกัน ทั้งในช่วงคลื่นที่สายตาของเห็น และช่วงคลื่นนอกเหนือการมองเห็นของสายตาตามนิยม ทำให้สามารถแยกวัตถุต่าง ๆ บนพื้นโลกตามวัตถุประสงค์ที่เฉพาะเจาะจงได้อย่างชัดเจน เช่น ระบบ MSS และ MESSR มี 4 ช่วงคลื่น ระบบ ETM+ มี 8 ช่วงคลื่น ระบบ HRG ภาพขาวดำ และสี มี 1 และ 4 ช่วงคลื่นตามลำดับ

4.3.3 การบันทึกภาพในบริเวณเดิม (repetitive coverage) ดาวเทียมสำรวจทรัพยากรส่วนใหญ่มีวงโครงการแบบสัมพันธ์กับดวงอาทิตย์ โดยโครงการวนโลกในแนวจากเหนือลงใต้ และกลับมาซึ่งบริเวณเดิมในเวลาที่องค์ประกอบเปลี่ยนแปลง ในช่วงเวลาที่แน่นอน เช่น ดาวเทียม Landsat

กลับมาบันทึกข้อมูลที่บริเวณเดิมทุก 16 วัน ดาวเทียม MOS ทุก 17 วัน ดาวเทียม SPOT ทุก 26 วัน ทำให้ได้ข้อมูลบริเวณเดียวกันหลาย ๆ ช่วงเวลา สามารถเปรียบเทียบและติดตามการเปลี่ยนแปลง ต่าง ๆ บนพื้นโลกได้เป็นอย่างดี และช่วยให้มีโอกาสได้ข้อมูลที่ไม่มีเมฆปะคลุม

4.3.4 การให้รายละเอียดหลายระดับ ข้อมูลที่ได้จากการเที่ยมให้รายละเอียดเชิงพื้นที่ หลักหลายระดับ มีผลลัพธ์ในการเลือกนำไปใช้ประโยชน์ในการศึกษาด้านต่าง ๆ ตามวัตถุประสงค์ เช่น ภาพจากดาวเที่ยม SPOT-5 ช่วงคลื่น panchromatic (ภาพขาวดำ) มีรายละเอียดเชิงพื้นที่ 5 และ 2.50 เมตร สามารถนำไปศึกษาตัวเมือง เส้นทางคมนาคมระดับหมู่บ้าน หรือ ปรับปรุงแก้ไขแผนที่ มาตราส่วน 1:50,000 ขณะเดียวกันภาพหลายช่วงคลื่น (multispectral) ที่มีรายละเอียด 10 เมตร สามารถศึกษาถึงการบุกรุกพื้นที่ป่าไม้เฉพาะจุดเล็ก ๆ ได้ หรือหาพื้นที่แหล่งน้ำขนาดเล็ก สำหรับ ภาพจากดาวเที่ยม Landsat -7 ระบบ ETM+ รายละเอียด 30 เมตร เหมาะสมในศึกษาสภาพการใช้ ประโยชน์ที่คิดนระดับจังหวัด

4.3.5 การให้ภาพสีผสม (color composite) ข้อมูลจากดาวเที่ยมแต่ละแบบนั้นที่เป็น ข้อมูลภาพขาวดำ (gray scale image) สามารถนำมาซ้อนทับกันได้ ครั้งละ 3 แบบนั้น โดยแต่ละแบบนั้น แทนด้วยแม่สีแสงบวก (additive primary color) 3 สีหลัก คือ สีน้ำเงิน (blue) สีเขียว (green) และ สีแดง (red) เมื่อนำมาซ้อนทับกันทำให้ได้ภาพสีผสมมีสีต่าง ๆ ปรากฏขึ้นตามทฤษฎีสี คือ การ ซ้อนทับของแม่สีสีบวกแต่ละคู่จะให้แม่สีลบ (subtractive primary color) คือ สีเหลือง (yellow) สี บานเย็น (magenta) และสีฟ้า (cyan) ดังนี้

$$\begin{array}{ll} \text{สีแดง (R)} + \text{สีเขียว (G)} & \Rightarrow \text{สีเหลือง (yellow)} \\ \text{สีแดง (R)} + \text{สีน้ำเงิน (B)} & \Rightarrow \text{สีบานเย็น (magenta)} \\ \text{สีน้ำเงิน (B)} + \text{สีเขียว (G)} & \Rightarrow \text{สีฟ้า (cyan)} \\ \text{สีน้ำเงิน (B)} + \text{สีเขียว (G)} + \text{สีแดง (R)} & \Rightarrow \text{สีขาว (white)} \\ \text{สีเหลือง (Y)} + \text{สีบานเย็น (M)} + \text{สีฟ้า (C)} & \Rightarrow \text{สีดำ (black)} \end{array}$$

4.3.6 การเน้นคุณภาพของภาพ (image enhancement) ข้อมูลจากดาวเที่ยมต้นฉบับที่ อยู่ในลักษณะ ข้อมูลเชิงเลข (digital data) สามารถนำมาปรับปรุงคุณภาพ ให้มีความชัดเจนเพิ่มขึ้น โดยพิจารณาจากค่าระดับสีเทาของกราฟแท่งแสดงการกระจายของข้อมูล หรือ Histogram ของ

ข้อมูลดาวเทียม โดยทั่วไปนิยมใช้ 2 วิธี คือ 1) การขยายพิสัย (range) ความเข้มระดับสีเทาให้กระจายจนเต็มเรียกว่า “linear contrast stretch” และ 2) non-linear contrast stretch โดยให้มีการกระจายของข้อมูลในแต่ละค่าความเข้มระดับสีเทา ให้มีจำนวนประชากรใกล้เคียงกัน ซึ่งเรียกเทคนิคนี้ว่า “histogram equalization stretch”

5. งานวิจัยที่เกี่ยวข้อง

5.1 งานวิจัยด้านแบบจำลอง SCS-CN กับงานด้านอุทกศาสตร์

จงกล (2546) ได้ศึกษาแบบจำลองน้ำฝน น้ำท่าด้วยระบบสารสนเทศภูมิศาสตร์ โดยทำการศึกษาถึงหลักการ และวิธีการที่ใช้ในการประเมินค่าปริมาณน้ำท่าจากข้อมูลปริมาณน้ำฝน โดยอาศัยการจัดการข้อมูลและเทคนิควิธีการการวิเคราะห์ข้อมูลด้วยระบบสารสนเทศภูมิศาสตร์ ซึ่งได้วิเคราะห์รูปแบบการประเมินค่าปริมาณน้ำท่าจากค่า CN (curve number) และ TI (topographic index) จากการปรับเทียบแบบจำลองค่า CN และ TI เป็นค่าพารามิเตอร์ที่มีผลต่อการประเมินปริมาณน้ำท่าของแต่ละคริด ซึ่งทั้งค่า CN และ TI นี้แตกต่างกันตามลักษณะความลาดชันของพื้นที่ และขนาดพื้นที่ลุ่มน้ำ เมื่อค่า CN มากปริมาณน้ำท่าที่ได้จะมาก ในทางกลับกันเมื่อค่า CN น้อยปริมาณน้ำท่าที่ได้จะน้อย แต่ทั้งนี้ขึ้นอยู่กับค่าพารามิเตอร์ตัวอื่น ๆ ประกอบกันไปด้วย

ไมตรี (2532) ได้ศึกษาถึงความสัมพันธ์ระหว่างปริมาณน้ำฝนและปริมาณน้ำท่า โดยใช้แบบจำลองทางคณิตศาสตร์ SCS model หรือ NRCS model เพื่อศึกษาการเปลี่ยนแปลงการไหลของปริมาณน้ำท่า เมื่อเปลี่ยนแปลงค่าพารามิเตอร์ที่ใช้ในแบบจำลอง โดยใช้ข้อมูลน้ำฝนรายวัน การใช้พื้นที่ ชนิดของดิน และศักย์การระบายน้ำเดือน พนว่า การเปลี่ยนแปลงค่าดังนี้แสดงสภาพการปักกลุ่มพื้นที่ลุ่มน้ำ (CN) และความชันของพื้นที่มีผลต่อการไหลสูงสุด ปริมาณน้ำท่า และเวลาเก็บกัก ตามลำดับ

Amutha and Porchelvan (2009) ได้ใช้แบบจำลอง SCS-CN ร่วมกับระบบสารสนเทศภูมิศาสตร์เพื่อประเมินน้ำท่าในลุ่มน้ำ Malattar ประเทศไทยเดียว โดยคำนวณจากข้อมูลปริมาณฝนรายเดือนในช่วงปี 1971 – 2007 ข้อมูลการใช้ประโยชน์ที่ดินและลิ่งปักกลุ่มดิน จากภาพถ่ายดาวเทียม Landsat-TM ข้อมูลชุดดิน ข้อมูลสมบัติทางอุทกศาสตร์ของดินร่วมกัน ทำให้ได้ผลการศึกษาว่าในพื้นที่ลุ่มน้ำ Malattar มีปริมาณน้ำฝนเฉลี่ยรายปี 517.44 มิลลิเมตรต่อปี และมีปริมาณ

น้ำท่าเฉลี่ย 47.04 ลูกบาศก์เมตรต่อปี ซึ่งจากการศึกษาในครั้งนี้ สามารถนำไปใช้ในการวางแผนจัดการอุ่มน้ำได้

Kittisiriwattanakul (2002) ประยุกต์ใช้ระบบสารสนเทศภูมิศาสตร์ร่วมกับแบบจำลอง SCS Runoff Curve Number เพื่อพยากรณ์ปริมาณน้ำท่า พร้อมทั้งศึกษาและประยุกต์ใช้ระบบสารสนเทศภูมิศาสตร์ในการพัฒนาข้อมูลคุณลักษณะและข้อมูลเชิงพื้นที่ของอุ่มน้ำ และตรวจสอบความถูกต้องของแบบจำลองที่ใช้ในการศึกษา โดยการเปรียบเทียบปริมาณน้ำท่าที่ได้จากแบบจำลองกับแบบจำลอง HEC-4 กับข้อมูลปริมาณน้ำท่าที่ได้จากสถานีตรวจวัด สำหรับปริมาณน้ำท่าประกอบด้วย direct runoff และ baseflow โดย direct runoff คำนวณจากแบบจำลอง SCS runoff curve number ในขณะที่ baseflow คำนวณจากแบบจำลองสมการเชิงเส้นลดคล้อยที่สร้างจากความสัมพันธ์ระหว่าง baseflow และปริมาณน้ำฝนรายเดือน สำหรับข้อมูลที่ใช้ในการศึกษาได้รวบรวมและวิเคราะห์ผ่านระบบสารสนเทศภูมิศาสตร์ จากผลการศึกษา พบว่า ปริมาณน้ำท่าในช่วงเดือน กรกฎาคม สิงหาคม กันยายน และตุลาคม มีค่า 71.02, 84.79, 124.75 และ 58.90 ล้านลูกบาศก์เมตร ตามลำดับ

Nayak and jaiswal (2003) ได้ศึกษาแบบจำลองน้ำฝน-น้ำท่า ร่วมกับระบบสารสนเทศภูมิศาสตร์ และการสำรวจระยะไกลในอุ่มน้ำ Bebas เมือง Sagar ประเทศอินเดีย โดยข้อมูลจากการสำรวจระยะไกลเป็นข้อมูลเชิงพื้นที่ในรูปการปกลุ่มพื้นที่อุ่มน้ำ (CN) และลักษณะดินเมื่ອอนข้อมูล input ของแบบจำลอง SCS เมื่อนำข้อมูลน้ำท่ารายเดือนที่วัดได้มาเปรียบเทียบกับข้อมูลที่ได้จากการประเมิน พบว่า ค่าสัมประสิทธิ์สหสัมพันธ์มีค่าอยู่ระหว่าง 0.92 - 0.94

Xianzhao and Jiazhu (2008) ประยุกต์ใช้แบบจำลอง SCS เพื่อประเมินปริมาณน้ำท่าจากอุ่มน้ำขนาดเล็กบริเวณที่ราบสูง Loess ในประเทศจีน ซึ่งข้อมูลที่ใช้ประกอบด้วย ข้อมูลการใช้ประโยชน์ที่ดิน และการจำแนกกลุ่มดินจากการแปลสภาพถ่ายดาวเทียม Landsat ข้อมูลความลาดชัน และข้อมูลอุต-อุทกวิทยา จากการศึกษา พบว่า กราฟน้ำท่าที่ได้จากปริมาณน้ำท่าที่คำนวณโดยใช้แบบจำลอง SCS และกราฟน้ำท่าที่ได้จากปริมาณน้ำท่าจากการตรวจวัดมีรูปร่างที่เหมือนกัน และแบบจำลองมีความถูกต้องมากกว่า 75 เปอร์เซ็นต์ ซึ่งแสดงให้เห็นว่าการใช้แบบจำลอง SCS ร่วมกับการสำรวจระยะไกล และระบบสารสนเทศภูมิศาสตร์ สามารถใช้เป็นเครื่องมือในการประเมินปริมาณน้ำท่าของอุ่มน้ำขนาดเล็กได้

5.2 งานวิจัยด้านระบบสารสนเทศภูมิศาสตร์กับงานด้านอุทกวิทยา

ชาวน์ และ สุชาดา (2548) ได้ศึกษาวิจัยถึงการประยุกต์ใช้ข้อมูลจากดาวเทียม และ ระบบสารสนเทศภูมิศาสตร์ในการกำหนดเขตพื้นที่เสี่ยงภัยน้ำท่วมในลุ่มน้ำตากปีต่อนล่าง จังหวัด สุราษฎร์ธานี โดยใช้ข้อมูลดาวเทียม LANDSAT-7 ETM+ และระบบสารสนเทศภูมิศาสตร์กำหนด บริเวณพื้นที่ที่มีโอกาสเสี่ยงน้ำท่วมในลุ่มน้ำตากปีต่อนล่าง โดยวิธีถ่วงน้ำหนัก และการให้คะแนน ตามลำดับความสำคัญของปัจจัยที่คาดว่ามีผลต่อการเกิดน้ำท่วม ได้แก่ ปริมาณน้ำฝน ขนาดของ พื้นที่ลุ่มน้ำ ความลาดชันของทางน้ำสายหลัก ความหนาแน่นของทางน้ำ การใช้ประโยชน์ที่ดิน เนื้อดิน ความลึกของดิน และเส้นทางคมนาคม

ส่วน (2550) ได้ศึกษาพื้นที่เสี่ยงภัยน้ำท่วมของลุ่มน้ำชีโดยใช้ระบบสารสนเทศ ภูมิศาสตร์ ซึ่งในการวิเคราะห์ขอบเขตน้ำท่วม ได้ใช้ข้อมูลความสูงจากแผนที่ภูมิประเทศ มาตรา ส่วน 1:50,000 ค่าระดับจาก GPS ข้อมูลหน้าดักแม่น้ำ และข้อมูลกราฟค่าระดับห้องน้ำและตลิ่ง ของแม่น้ำชีและแม่น้ำป่าฯ เพื่อใช้การสร้างแบบจำลองความสูงเชิงตัวเลขของแม่น้ำ และที่ราบน้ำ ท่วมถึง และทำการเปรียบเทียบความถูกต้องของขอบเขตน้ำท่วมที่ได้จากแบบจำลองชลศาสตร์กับ ภาพถ่ายดาวเทียม RADARSAT โดยใช้ข้อมูลน้ำท่าที่สถานีวัด และภาพถ่ายดาวเทียมในวันเดียวกัน การวิเคราะห์มี 4 ขั้นตอน มีรายละเอียด ดังนี้

- 1) นำเข้าข้อมูลจุดความสูง เส้นชั้นความสูง แหล่งน้ำ ถนน แนวเส้นกลางแม่น้ำ และ เส้นขอบฟั่งแม่น้ำ สำหรับประมาณผลแบบจำลองความสูงภูมิประเทศแบบ TIN และทำการแปลง เป็น DEM
- 2) วิเคราะห์ค่าระดับน้ำท่วมของสถานีวัดน้ำท่าที่ค่าความถี่ 10, 25 และ 50 ปี
- 3) สร้างชั้นข้อมูลพื้นผิวแบบกริด จากข้อมูลค่าระดับน้ำจากสถานีวัดน้ำท่า ณ วันที่ เดียวกับภาพถ่ายเรดาร์ และที่ระดับน้ำที่ค่าความถี่เบ่งเป็นลุ่มน้ำอยู่
- 4) วิเคราะห์ชั้นทับ (overlay analysis) ชั้นข้อมูลรัสเตอร์ ระหว่างชั้นข้อมูลระดับน้ำ แบบกริด กับ DEM เพื่อหาความลึกการท่วมและขอบเขตการท่วม

Bastawesy et al. (2008) ได้ศึกษาประเมินการสูญเสียน้ำจากทะเลสาบ Tushka ประเทศไทย อียิปต์ โดยใช้เทคนิคทางด้านระบบสารสนเทศภูมิศาสตร์และการสำรวจระยะไกลร่วมกัน โดย ศึกษาลักษณะอุทกวิทยาของทะเลสาบ ในช่วงปี ค.ศ. 2002-2006 ซึ่งได้ใช้ภาพถ่ายดาวเทียม ASTER และ SPOT- 4 ในการกำหนดพื้นผิวดินของทะเลสาบ และใช้ชั้นข้อมูลเส้นชั้นความสูง ระบบ

การระบายน้ำ และจุดระดับความสูงที่ได้จากการดิจิตอลส์จาร์แผนที่ภูมิประเทศ มาตราส่วน 1:100,000 สร้าง DEM ขนาด 20 เมตร เพื่อจำลองสภาพภูมิประเทศของท้องทะเลสาบ และพื้นที่โดยรอบ จากการศึกษา พบว่า น้ำในทะเลสาบมีปริมาตรลดลงจาก 25.26 ล้านลูกบาศก์เมตร เหลือ 12.67 ล้านลูกบาศก์เมตร และระดับน้ำที่ผิวน้ำทะเลสาบมีระดับลดลงต่ำกว่า 10 เมตร ในช่วง 4 ปี

Mustafa et al. (2005) ได้ศึกษาประเมินผลกระทบจากการใช้ประโยชน์ที่ดินต่อระบบอุทกวิทยาในลุ่มน้ำ ประยุกต์ระบบสารสนเทศภูมิศาสตร์ และการสำรวจระยะไกล ร่วมกับแบบจำลอง HEC-HMS โดยศึกษาผลกระทบของการใช้ประโยชน์ที่ดิน กับรูปแบบการไหลของน้ำ และได้สรุปว่าการใช้ระบบสารสนเทศภูมิศาสตร์ และการสำรวจระยะไกล มีผลดีต่อการศึกษาในพื้นที่ขนาดกว้างใหญ่ ซึ่งข้อมูลจากแบบจำลองสามารถนำไปใช้ในการตัดสินใจวางแผนด้านการจัดการน้ำได้

Sawunyama et al. (2006) ประเมินค่าความชุ่มอ่างเก็บน้ำขนาดเล็กจำนวน 12 แห่ง ในลุ่มน้ำ Limpopo ซึ่งได้ใช้ภาพถ่ายดาวเทียม LandSAT-5 แบบ 5 4 2 RGB เพื่อใช้สำหรับการค้นหาตำแหน่งและสภาพพื้นผิว และขนาดของอ่างเก็บน้ำ และเก็บข้อมูลความลึกของอ่างเก็บน้ำเพื่อนำมาสร้างเส้นชั้นความสูง โดยใช้โปรแกรม ArcView 3.2 และ extension spatial analyst plus, surface areas and ratios from elevation grid เพื่อสร้างแบบจำลองพื้นผิวแบบ TIN โดยใช้วิธีการแทรกค่าข้อมูลแบบ spline สำหรับใช้ในการคำนวณพื้นที่ ความชุ่ม และความลึกของอ่างเก็บน้ำ แล้วจึงนำข้อมูลที่คำนวณได้ไปเปรียบเทียบสหสัมพันธ์ของข้อมูล

5.3 งานวิจัยด้านการสำรวจระยะไกลกับงานด้านอุทกวิทยา

เจน (2550) ได้ศึกษาการประมาณปริมาณฝนด้วยดาวเทียมสำหรับบริเวณลุ่มน้ำคลองอู่ตะเภาในช่วงมรสุมตะวันออกเฉียงเหนือ เปรียบเทียบกับปริมาณฝนภาคพื้นดิน โดยใช้ข้อมูลปริมาณน้ำฝนจากสถานีวัดน้ำฝน ซึ่งเป็นข้อมูลปริมาณน้ำฝนรายวัน และข้อมูลภาพถ่ายดาวเทียม GMS-5 ของประเทศไทย เป็นข้อมูลรายชั่วโมง ประกอบด้วยข้อมูล CAL, IR1, IR2, IR3 และ VIS ในช่วงเดือนมิถุนายน พ.ศ. 2544 ถึงเดือนกรกฎาคม พ.ศ. 2545 ซึ่งเป็นช่วงที่เกิดฝนเนื่องจากอิทธิพลของมรสุมตะวันออกเฉียงเหนือ เมื่อร่วบรวมข้อมูลทั้งหมดแล้วนำมาวิเคราะห์เปรียบเทียบเพื่อหาความสัมพันธ์ของข้อมูล โดยใช้หลักสถิติความถดถอยเชิงเส้นตรงอย่างง่าย (simple linear regression) และกำหนดข้อสมมติฐาน และเทคนิควิธีการของการหาความสัมพันธ์ โดยการประยุกต์

จากเทคนิคการประมาณปริมาณน้ำฝนด้วยดาวเทียมแทนแซท (*tropical application of meteorological satellite; TAMSAT*)

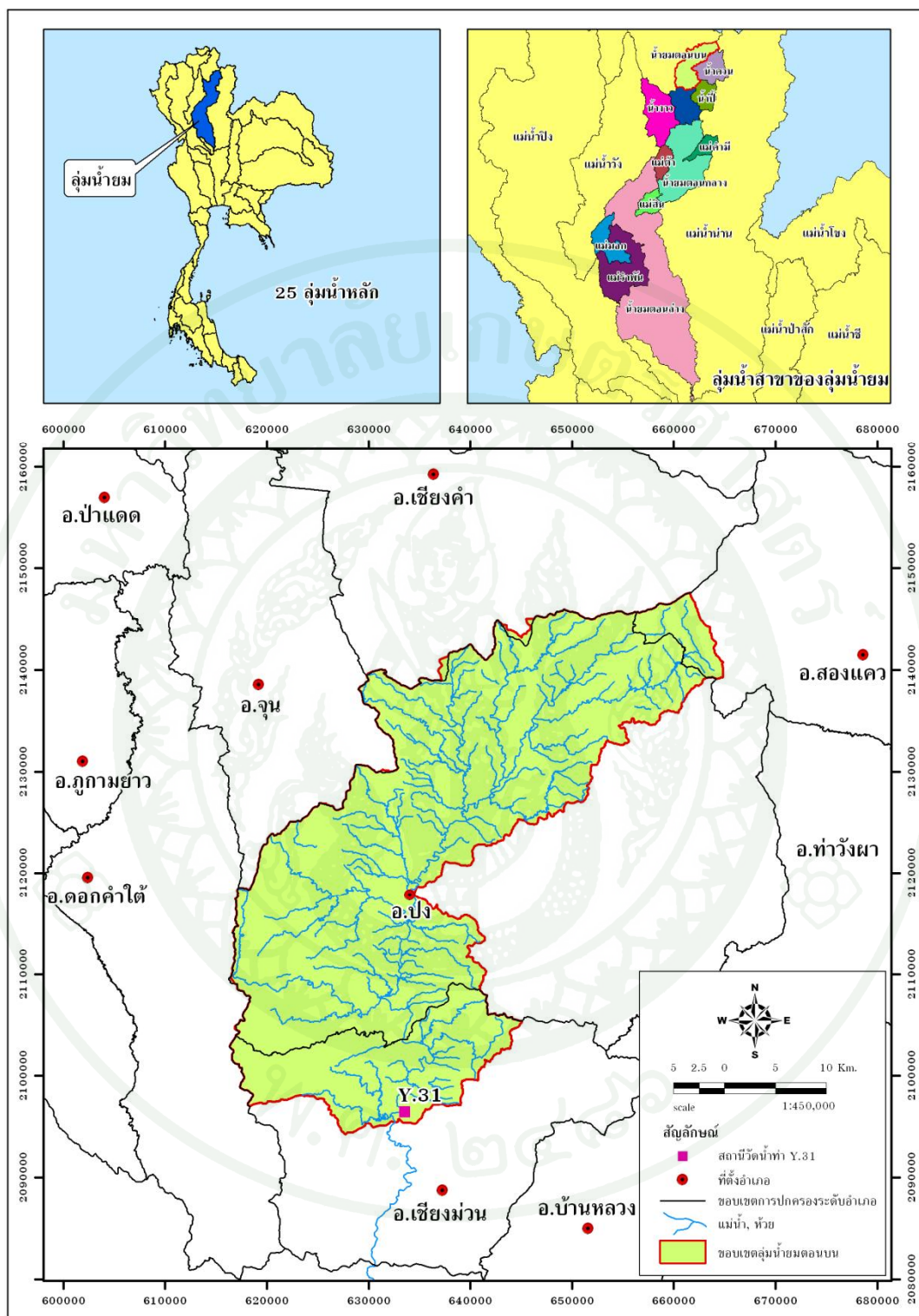
Singh et al. (2005) ได้ศึกษาวิเคราะห์ศักยภาพของน้ำสำหรับการส่งน้ำให้แก่พืชใน Sirsa ประเทศอินเดีย โดยนำแบบจำลอง SWAP และเทคนิคการสำรวจระยะไกล มาใช้ในการวิเคราะห์ศักยภาพของน้ำ สำหรับการเพาะปลูกข้าวสาลี ข้าว และฝ้าย จากผลการศึกษาได้สรุปผลศักยภาพของน้ำในรูปของผลผลิตต่อปริมาณการคายระเหย โดยศักยภาพของน้ำสำหรับข้าวสาลี เนลี่ยเท่ากับ 1.39 ศักยภาพของน้ำสำหรับข้าว เนลี่ยเท่ากับ 0.94 และ ศักยภาพของน้ำสำหรับฝ้าย เนลี่ยเท่ากับ 0.21

ShengTian et al. (2006) ได้ศึกษาการประเมินพื้นที่ภัยแล้งในบริเวณลุ่มน้ำแม่น้ำเจียง คุ่นน้ำเหลือง ประเทศไทย ด้วยเทคนิคการสำรวจระยะไกลและระบบสารสนเทศภูมิศาสตร์ ตามทฤษฎีอุดุนิยมวิทยา และวิเคราะห์หาค่าดัชนี NDVI จากข้อมูลพื้นฐาน AVHRR ตั้งแต่ปี ค.ศ. 1881 - 1999 โดยได้แบ่งระดับความแห้งแล้งเป็น 4 ระดับ จากการศึกษาพบว่าร้อยละ 15 ทางด้านตะวันตกของพื้นที่ มีระดับภัยแล้งที่มาก ร้อยละ 23 ทางตอนกลางมีระดับการเกิดภัยแล้งปานกลาง ร้อยละ 48 ทางด้านตะวันออกมีระดับภัยแล้งน้อย และร้อยละ 14 ทางตอนบนของพื้นที่มีระดับการเกิดภัยแล้งน้อยที่สุด

สถานที่ศึกษา

1. ที่ตั้งและอาณาเขต

การศึกษาในครั้งนี้ ได้เลือกศึกษาพื้นที่ลุ่มน้ำยมตอนบน ตั้งแต่เหนือสถานีวัดปริมาณน้ำท่า Y.31 บ้านทุ่งหนอง ตำบลสระ อำเภอเชียงม่วน จังหวัดพะเยา ขึ้นไป โดยมีข้อมูลระบุว่าพิกัด 2093730 mN ลีน 2147990 mN และ 616000 mE ลีน 665050 mE ซึ่งลุ่มน้ำยมตอนบนเป็นลุ่มน้ำสาขาหนึ่งของลุ่มน้ำยม มีต้นกำเนิดมาจากเทือกเขาผึ้นน้ำ ครอบคลุมพื้นที่รับน้ำฝน 1,155 ตาราง กิโลเมตร ในพื้นที่อำเภอปง อำเภอเชียงม่วน จังหวัดพะเยา และอำเภอสองแคว จังหวัดน่าน ดังแสดงในภาพที่ 9



ภาพที่ 9 พื้นที่ศึกษาบริเวณพื้นที่ลุ่มน้ำยมดอนบน

ที่มา: สำนักงานนโยบายและแผนทรัพยากรธรรมชาติและสิ่งแวดล้อม (2552)

2. สภาพภูมิประเทศ

สภาพภูมิประเทศของพื้นที่ลุ่มน้ำยมตอนบน เป็นเทือกเขาやりจากเหนือมาใต้ และมีที่ราบในทุบเขาแคบ ๆ ริมแม่น้ำเป็นบางตอนก่อน ไหลเข้าสู่เขตจังหวัดแพร่ โดยมีระดับความสูงที่ 180 - 1,760 เมตรจากระดับน้ำทะเลปานกลาง มีลำน้ำสาขาที่สำคัญ เช่น น้ำจิม น้ำเงิน น้ำม่าว น้ำควน น้ำแม่ปั่ง น้ำแม่ผง ห้วยพลาด เป็นต้น

3. สักษณะภูมิอากาศ

จากข้อมูลจากสถานีอุตุนิยมวิทยา จังหวัดพะเยา จังหวัดแพร่ และจังหวัดน่าน ของกรมอุตุนิยมวิทยา ตั้งแต่ปี 2522 - 2552 สามารถสรุปลักษณะภูมิอากาศบริเวณพื้นที่ลุ่มน้ำยมตอนบน ได้ว่า มีภูมิอากาศแบบร้อนชื้น อุณหภูมิเฉลี่ยรายปี 26.9 องศาเซลเซียส ปริมาณฝนเฉลี่ยรายปี 1,118.5 มิลลิเมตร ความชื้นสัมพัทธ์ร้อยละ 73.2 ปริมาณการระเหยน้ำจากภาคตะวันออกเฉลี่ยรายปี 1,616.9 มิลลิเมตร ความเร็วลมเฉลี่ย 1.5 นีดต

4. ทรัพยากรดิน

ทรัพยากรดินในพื้นที่ลุ่มน้ำยมตอนบนส่วนใหญ่เป็นดินที่เกิดอยู่ในบริเวณพื้นที่ภูเขาสูงชัน (หน่วยดินที่ 61 และ 62) มีพื้นที่ถึงร้อยละ 62.03 ของพื้นที่ลุ่มน้ำ พื้นที่ที่เหลือเป็นดินที่เกิดจาก การทับถมของตะกอนลุ่มน้ำในบริเวณที่ราบลุ่มริมแม่น้ำยม และแม่น้ำสาขา มีพื้นที่ร้อยละ 2.73 ของพื้นที่ลุ่มน้ำ เป็นดินที่เกิดจากการทับถมของตะกอนล้ำน้ำ และเกิดจากการถลายของวัตถุต้น กำนิดดินที่เกิดอยู่กับที่หรือจากที่สูงกว่าในบริเวณที่ดอน ที่มีการระบายน้ำดี มีพื้นที่ร้อยละ 30.43 ของพื้นที่ลุ่มน้ำ และเป็นพื้นที่อื่น ๆ อีกร้อยละ 4.81 ของพื้นที่ลุ่มน้ำ (กรมทรัพยากรดิน, 2548)

5. การใช้ประโยชน์ที่ดิน

ลักษณะการใช้ประโยชน์ที่ดินบริเวณลุ่มน้ำยมตอนบน ส่วนใหญ่เป็นพื้นที่ป่าไม้ ประเภทป่าเบญจพรรณ ซึ่งพบบริเวณพื้นที่ที่เป็นภูเขาที่มีความลาดชันสูง ๆ ส่วนบริเวณที่ราบโกลล์ดำเนินมักเป็นพื้นที่เกษตรกรรม เช่น ข้าวโพด นาข้าว และไม้ผล ประเภท ลำไย ลิ้นจี่ เป็นต้น

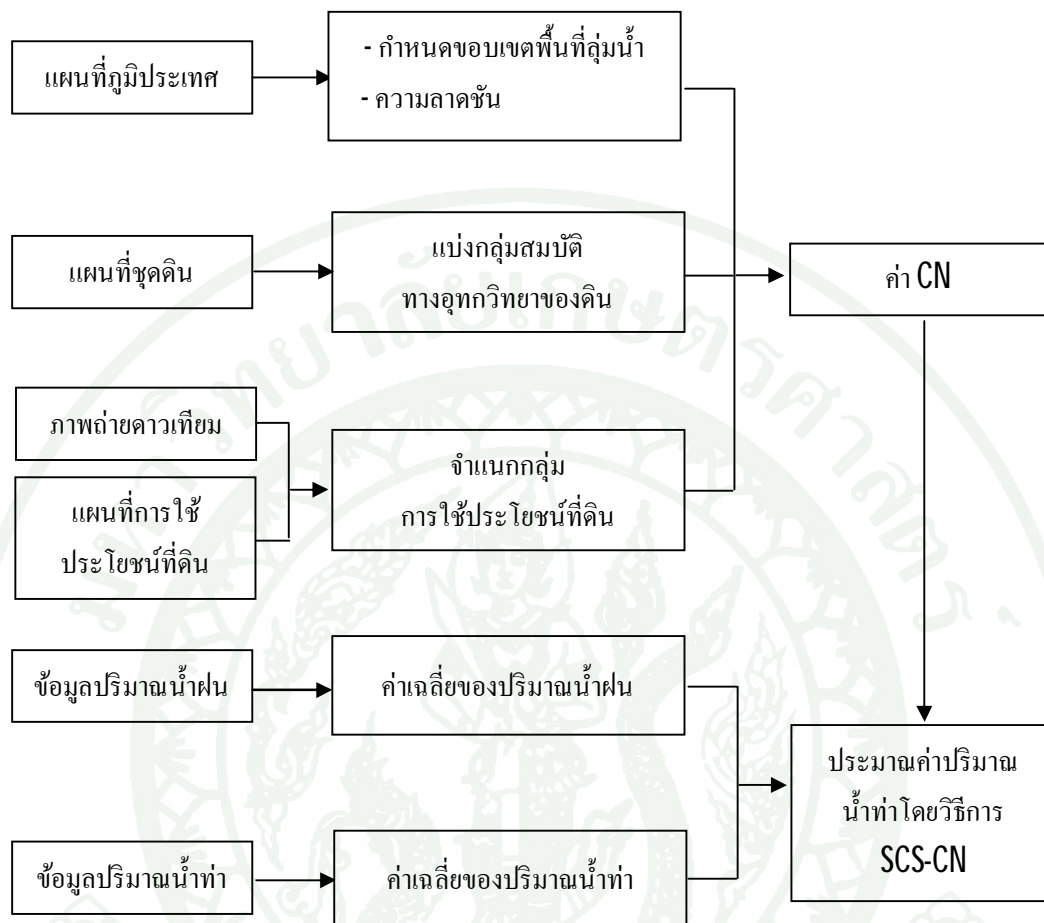
อุปกรณ์และวิธีการ

อุปกรณ์

1. แผนที่ภูมิประเทศาตราราส่วน 1:50,000 ของกรมแผนที่ทหาร ลำดับชุด L7018 ระหว่าง 5046 I, 5046 IV, 5047 I, 5047 II, 5047 III, 5047 IV และ 5147 IV
2. แผนที่ชุดเดินมาตราส่วน 1:50,000 ของกรมพัฒนาที่ดิน
3. แผนที่การใช้ประโยชน์ที่ดิน ปี 2552 มาตราส่วน 1:50,000 ของกรมพัฒนาที่ดิน
4. แผนที่ชั้นคุณภาพลุ่มน้ำ มาตราส่วน 1:50,000 ของสำนักงานนโยบายและแผนทรัพยากรธรรมชาติและสิ่งแวดล้อม
5. ภาพถ่ายดาวเทียม Landsat 5-TM path 130 row 46 บันทึกภาพเมื่อวันที่ 13 ธันวาคม พ.ศ. 2552
6. ข้อมูลปริมาณน้ำฝนรายวัน ปี พ.ศ. 2541 – 2551 จำนวน 6 สถานี ได้แก่ สถานีที่ว่าการอำเภอปง จังหวัดพะ夷า (310002) ที่ว่าการอำเภอเชียงคำ จังหวัดพะ夷า (310003) ที่ว่าการอำเภอคงคำได้ จังหวัดพะ夷า (310004) ที่ว่าการอำเภอจุน จังหวัดพะ夷า (310005) ที่ว่าการอำเภอเชียงม่วน จังหวัดพะ夷า (310007) และ สถานีที่ว่าการอำเภอสองแคว จังหวัดน่าน (331009)
7. ข้อมูลปริมาณน้ำท่ารายวัน ปี พ.ศ. 2541 – 2551 จากสถานีวัดปริมาณน้ำท่าของแม่น้ำยมที่บ้านทุ่งหนอง ตำบลสระ อำเภอเชียงม่วน จังหวัดพะ夷า (Y.31)
8. เครื่องคอมพิวเตอร์ส่วนบุคคล และอุปกรณ์การพิมพ์
9. โปรแกรมจัดการข้อมูลระบบสารสนเทศภูมิศาสตร์ ArcGIS 9.2
10. โปรแกรมประมวลผลข้อมูลดาวเทียม ERDAS IMAGINE 8.7

วิธีการ

การประยุกต์ใช้ข้อมูลและเทคนิคทางด้านระบบสารสนเทศภูมิศาสตร์ร่วมกับแบบจำลอง SCS-CN เพื่อประมาณค่าปริมาณน้ำท่า รวมทั้งเปรียบเทียบปริมาณน้ำท่าที่ได้จากแบบจำลอง SCS-CN กับข้อมูลปริมาณน้ำท่าที่ได้จากการตรวจวัด ในพื้นที่ลุ่มน้ำยมตอนบน ดำเนินการโดยการรวบรวมข้อมูลจากแผนที่ภูมิประเทศา แผนที่ชุดเดิน และแผนที่การใช้ประโยชน์ที่ดิน เพื่อวิเคราะห์ลักษณะทางภูมิกายภาพ และสภาพทางอุทกวิทยาของพื้นที่ เพื่อกำหนดค่า curve number (CN) และใช้ร่วมกับปริมาณน้ำฝน เพื่อประมาณค่าปริมาณน้ำท่าในพื้นที่ลุ่มน้ำยมตอนบน ซึ่งมีวิธีการดังแสดงในภาพที่ 10



ภาพที่ 10 ขั้นตอนการศึกษาการประยุกต์ใช้แบบจำลอง SCS-CN เพื่อประมาณค่าปริมาณน้ำท่าในบริเวณพื้นที่ลุ่มน้ำยามต่อนบน

1. การรวบรวมข้อมูลอุต्त-อุทกวิทยาและภูมิสารสนเทศ

1.1 รวบรวมแผนที่ภูมิประเทศ มาตราส่วน 1:50,000 ของกรมแผนที่ทหาร ลำดับชุด L7018 ระหว่าง 5046 I, 5046 IV, 5047 I, 5047 II, 5047 III, 5047 IV และ 5147 IV ซึ่งครอบคลุมบริเวณลุ่มน้ำยามต่อนบน

1.2 รวบรวมข้อมูลเส้นชั้นความสูง (contour line) จุดระดับสูง (spot height) เส้นลำน้ำ (stream) จากแผนที่ภูมิประเทศมาตราส่วน 1:50,000 ของกรมแผนที่ทหาร ลำดับชุด L7018 ระหว่าง

5046 I, 5046 IV, 5047 I, 5047 II, 5047 III, 5047 IV และ 5147 IV ซึ่งเป็นแผนที่เชิงตัวเลข (digital map) ในรูปแบบข้อมูลแบบเวกเตอร์ (vector format)

1.3 รวบรวมข้อมูลชุดเดิม จากแผนที่ชุดเดิมมาตราส่วน 1: 50,000 ที่จัดทำโดยกรมพัฒนาที่ดิน ซึ่งเป็นแผนที่เชิงตัวเลข (digital map) ในรูปแบบข้อมูลแบบเวกเตอร์ (vector format)

1.4 รวบรวมข้อมูลการใช้ประโยชน์ที่ดิน ปี 2552 มาตราส่วน 1:50,000 ที่จัดทำโดยกรมพัฒนาที่ดิน ซึ่งเป็นแผนที่เชิงตัวเลข (digital map) ในรูปแบบข้อมูลแบบเวกเตอร์ (vector format)

1.5 รวบรวมข้อมูลจากภาพดาวเทียม โดยข้อมูลดาวเทียมที่ใช้ในการศึกษาครั้งนี้ คือ ข้อมูลจากดาวเทียม Landsat 5-TM path 130 row 46 บันทึกภาพเมื่อวันที่ 13 ธันวาคม พ.ศ. 2552 โดยได้รับความอนุเคราะห์จากสำนักงานพัฒนาเทคโนโลยีอวกาศและภูมิสารสนเทศ (องค์การมหาชน)

1.6 รวบรวมข้อมูลปริมาณน้ำฝนรายวัน จากร่มอุตุนิยมวิทยา ในช่วงปี พ.ศ. 2541 - 2551 จำนวน 6 สถานี ได้แก่ สถานีที่ว่าการอำเภอปง จังหวัดพะเยา (310002) ที่ว่าการอำเภอเชียงคำ จังหวัดพะเยา (310003) ที่ว่าการอำเภออดอคำ ได้ จังหวัดพะเยา (310004) ที่ว่าการอำเภอจุน จังหวัดพะเยา (310005) ที่ว่าการอำเภอเชียงม่วน จังหวัดพะเยา (310007) และสถานีที่ว่าการอำเภอสองแคว จังหวัดน่าน (331009) ดังแสดงในตารางที่ 2

1.7 รวบรวมข้อมูลปริมาณน้ำท่ารายวัน จากร่มชลประทาน ในช่วงปี พ.ศ. 2541 - 2551 จากสถานีวัดปริมาณน้ำท่าของแม่น้ำยมที่บ้านทุ่งหนอง ตำบลสระ อำเภอเชียงม่วน จังหวัดพะเยา (Y.31) ดังแสดงในตารางภาคผนวกที่ 8

ตารางที่ 2 รายชื่อสถานีวัดน้ำฝนในพื้นที่ศึกษา

ชื่อสถานี	รหัส สถานี	ตำแหน่ง		ช่วงปีสกิดิ
		ละติจูด	ลองจิจูด	ข้อมูล
1. ที่ว่าการอำเภอปง จังหวัดพะเยา	310002	19-08-32	100-16-41	2538 - 2552
2. ที่ว่าการอำเภอเชียงคำ จังหวัดพะเยา	310003	19-31-20	100-18-11	2538 - 2552
3. ที่ว่าการอำเภอคอกคำใต้ จังหวัดพะเยา	310004	19-09-40	99-59-46	2538 - 2552
4. ที่ว่าการอำเภอ忠น จังหวัดพะเยา	310005	19-20-08	100-08-20	2538 - 2552
5. ที่ว่าการอำเภอเชียงม่วน จังหวัดพะเยา	310007	18-53-09	100-18-25	2538 - 2552
6. ที่ว่าการอำเภอสองแคว จังหวัดน่าน	331009	19-21-32	100-42-22	2538 - 2552

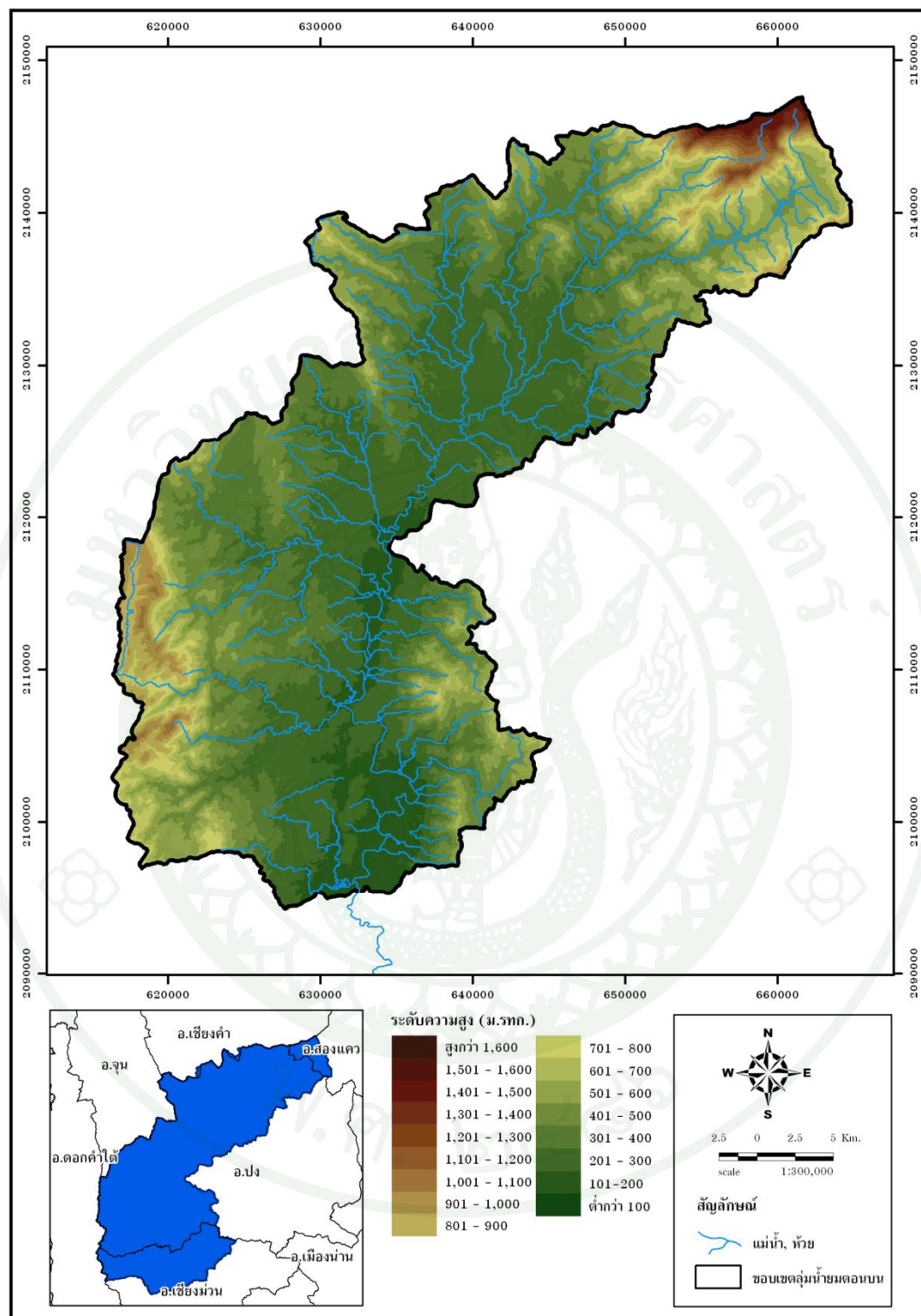
ที่มา: สำนักพัฒนาอุตุนิยมวิทยา กรมอุตุนิยมวิทยา (2552ก)

2. การจัดเตรียมข้อมูลปัจจัยอุตุ-อุทกวิทยาและภูมิศาสตร์

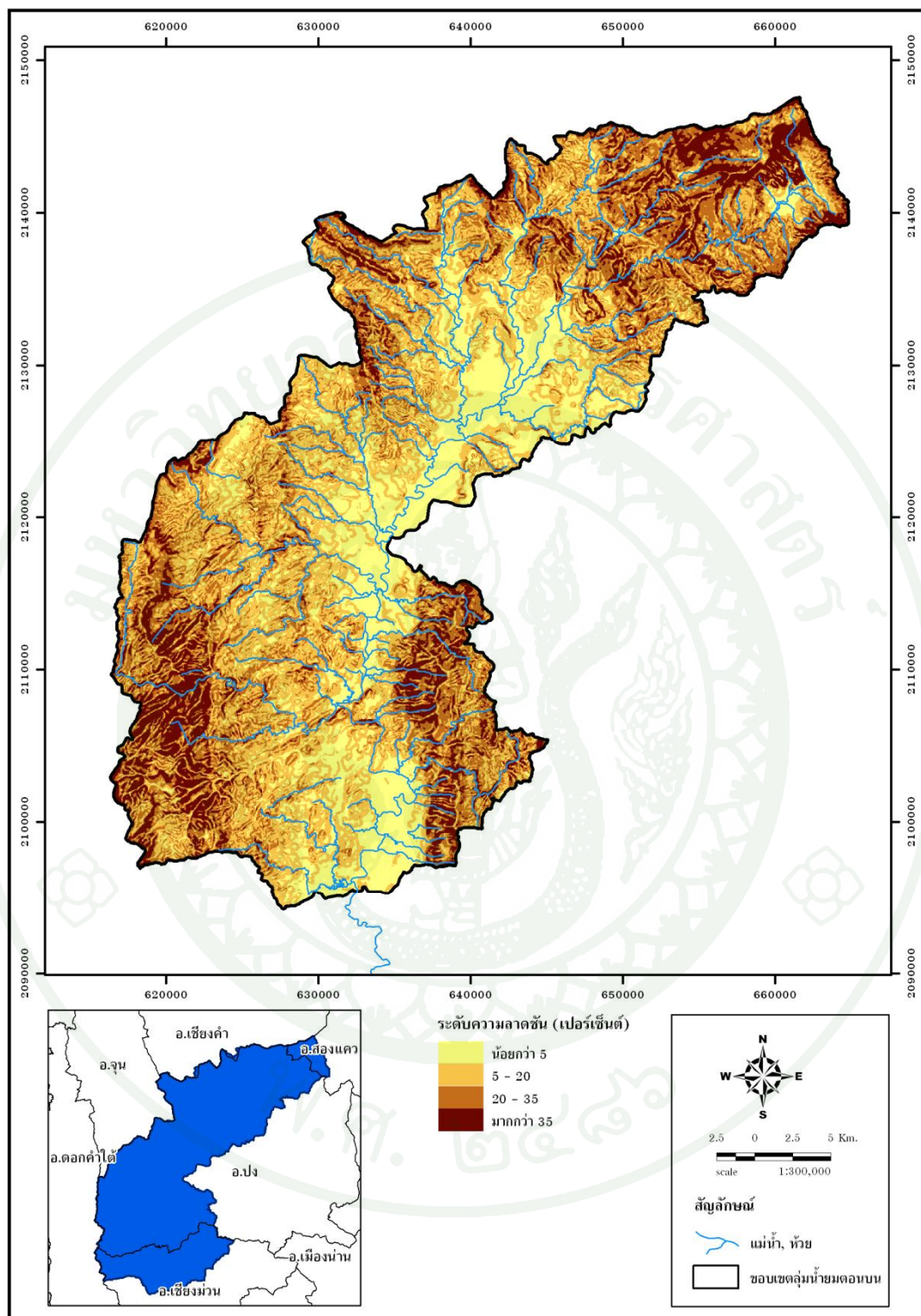
การรวบรวมฐานข้อมูลทั้งหมด ได้จัดทำให้อยู่ในรูปของฐานข้อมูลสารสนเทศภูมิศาสตร์ ทั้งที่เป็นฐานข้อมูลเชิงพื้นที่ (*spatial data*) และฐานข้อมูลเชิงบรรยาย (*attribute data*) รายละเอียดดังนี้

2.1 ลักษณะภาพของพื้นที่ลุ่มน้ำ โดยการใช้ข้อมูลจากแผนที่ภูมิประเทศ มาตราส่วน 1:50,000 ของกรมแผนที่ทหาร ลำดับชุด L7018 ระหว่าง 5046 I, 5046 IV, 5047 I, 5047 II, 5047 III, 5047 IV และ 5147 IV ซึ่งครอบคลุมบริเวณลุ่มน้ำยมดอนบน เพื่อหาขนาดพื้นที่ลุ่มน้ำ (*watershed area*) ความลาดชันเฉลี่ยของลุ่มน้ำ (*slope*) และการไหลสะสมของน้ำ (*flow accumulation*) ด้วยโปรแกรมสารสนเทศภูมิศาสตร์ ArcGIS ดังแสดงรายละเอียดในภาพที่ 11 ถึงภาพที่ 13

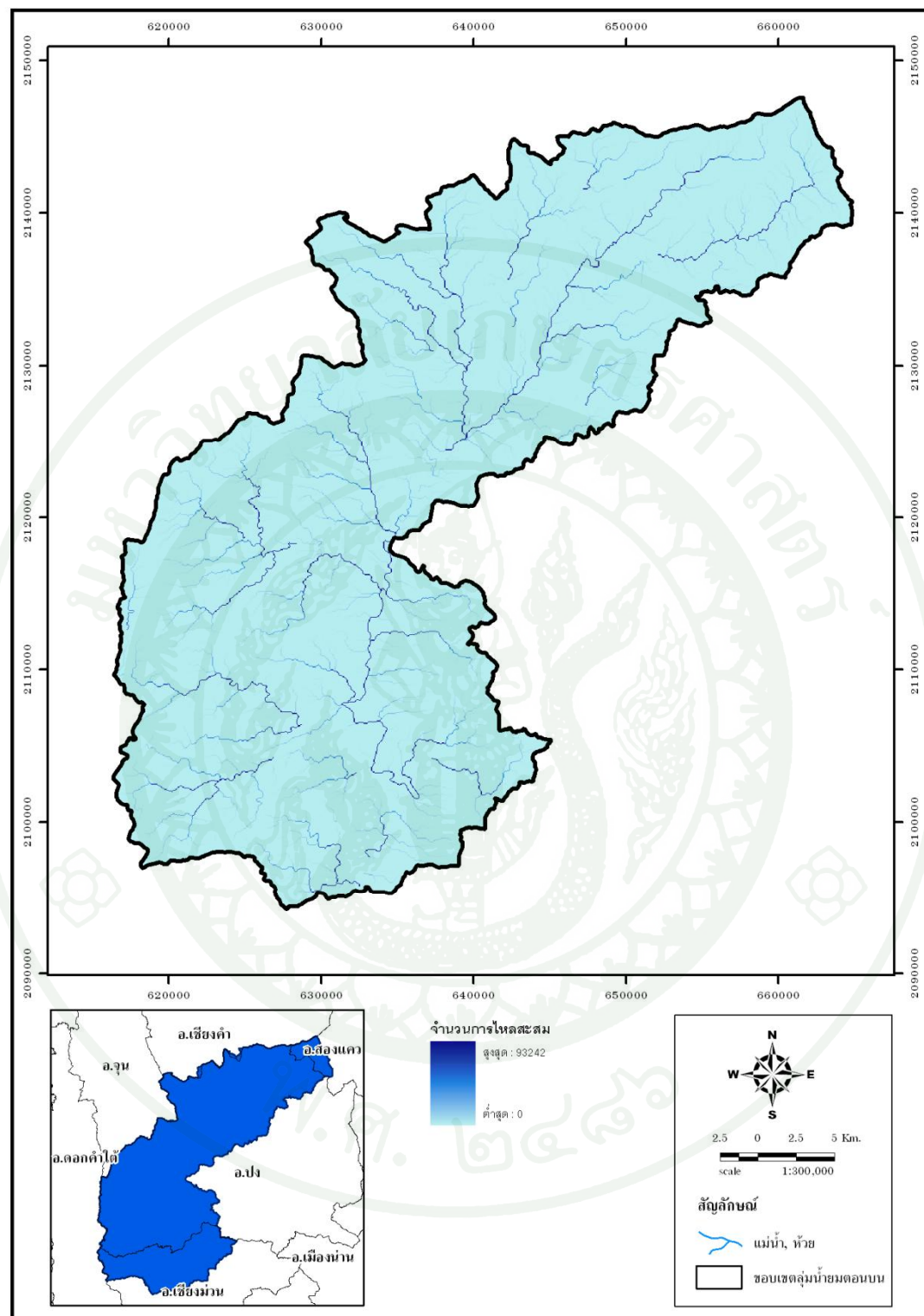
2.2 ลักษณะของดิน โดยการนำข้อมูลทุติยภูมิจากการพัฒนาที่ดินมากำหนดข้อมูลเชิงบรรยาย (*attribute data*) ตามสมบัติทางอุทกวิทยาของดิน (*hydrologic soil group*) ของแบบจำลอง SCS ซึ่งแบ่งกลุ่มดินออกเป็น 4 กลุ่ม ตามลักษณะเนื้อดิน อัตราการซึมน้ำ เป็นตัวกำหนด จากนั้นทำการจัดกลุ่มใหม่ (*reclass*) ด้วยคำสั่ง *reclassification* ของโปรแกรม ArcGIS ข้อมูลที่จัดกลุ่มใหม่จะอยู่ในรูปแบบเวกเตอร์ (*vector format*) โดยแบ่งเป็น 4 กลุ่ม ดังแสดงในภาพที่ 14 รายละเอียดดังนี้



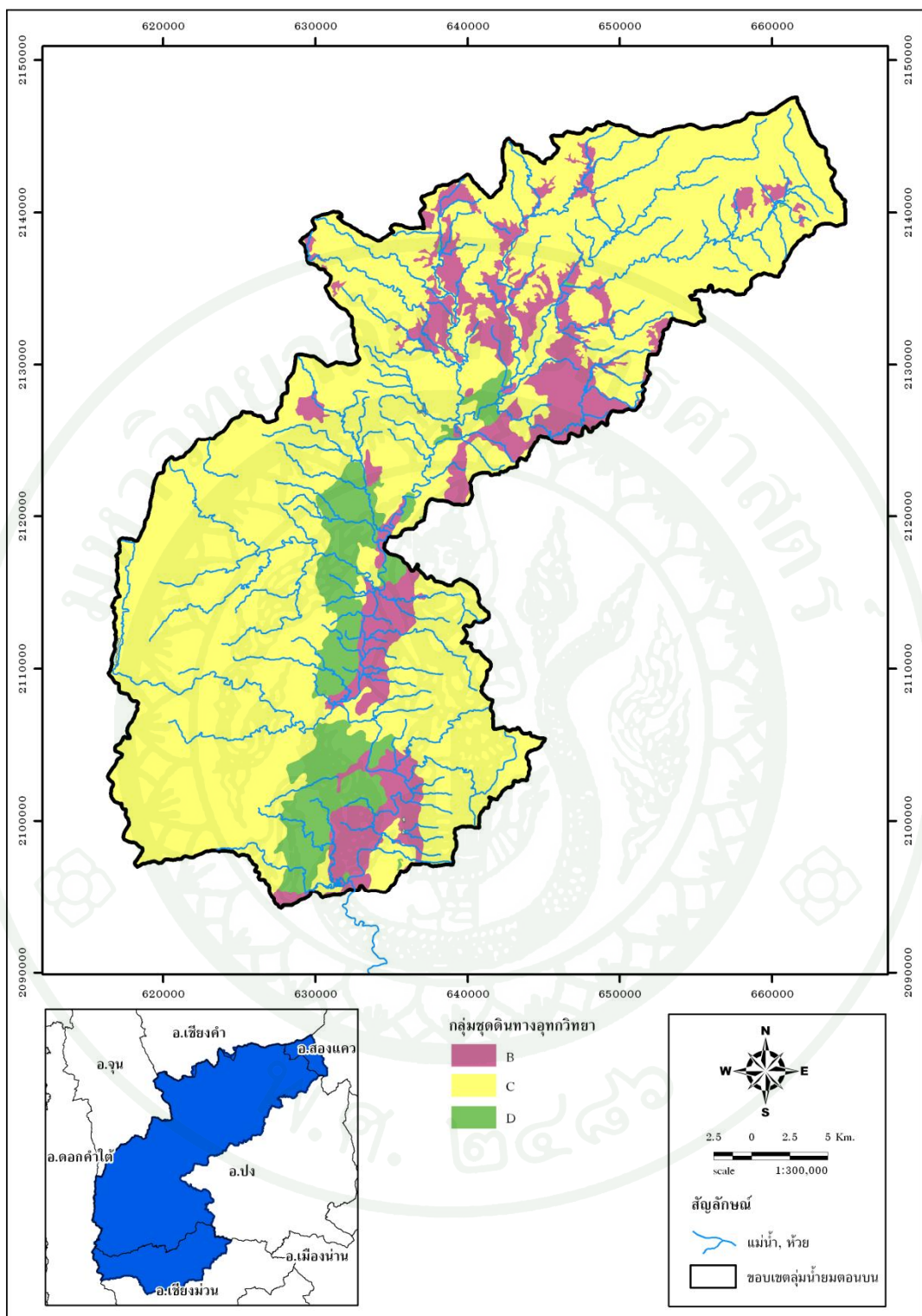
ภาพที่ 11 ลักษณะภูมิประเทศบริเวณพื้นที่ลุ่มน้ำยมดอนบน



ภาพที่ 12 ระดับความลาดชันบริเวณพื้นที่ลุ่มน้ำยมดอนบน



ภาพที่ 13 การไหลดสะสมของน้ำบริเวณพื้นที่ลุ่มน้ำยมต่อนบน



ภาพที่ 14 กลุ่มชุดคินตามสมบัติทางอุทกวิทยาของคินบริเวณพื้นที่ลุ่มน้ำยมดอนบน

กลุ่ม A เป็นกลุ่มคินที่มีอัตราการซึมน้ำลงคินสูง มีความสามารถในระบายน้ำได้ดี เช่น กรด ตรายเม็ดปืน

กลุ่ม B เป็นกลุ่มคินที่มีอัตราการซึมน้ำลงคินปานกลาง มีการระบายน้ำดีปานกลาง เช่น ดินร่วนปนทราย

กลุ่ม C เป็นกลุ่มคินที่มีอัตราการซึมน้ำได้ค่อนข้างต่ำ เช่น ดินร่วนปนคินเหนียว

กลุ่ม D เป็นกลุ่มคินที่มีอัตราการซึมน้ำของคินต่ำมาก ส่วนใหญ่เป็นคินเหนียว

2.3 ข้อมูลการใช้ประโยชน์ที่คิน

ข้อมูลการใช้ประโยชน์ที่คินได้จากการแปลงข้อมูลภาพถ่ายดาวเทียม Landsat 5-TM path 130 row 46 บันทึกภาพเมื่อวันที่ 13 ธันวาคม พ.ศ. 2552 และนำข้อมูลการใช้ประโยชน์ที่คินปี 2552 จากสำนักนโยบายและแผนการใช้ที่คิน กรมพัฒนาที่คิน เพื่อใช้ตรวจสอบความถูกต้องของข้อมูล ซึ่งมีวิธีการดังนี้

2.3.1 ปรับแก้ความผิดพลาดเชิงเรขาคณิต (geometric correction) นำภาพถ่ายดาวเทียมมาปรับแก้เชิงเรขาคณิต โดยการหาจุดควบคุมภาพพื้นดิน (ground control point) ด้วยวิธี **image to image** โดยใช้แพนท์กุมีประเทมาตราส่วน 1:50,000 ลำดับชุด L7018 ของกรมแผนที่ทหาร ที่ได้ปรับแก้เชิงเรขาคณิตให้อยู่ในระบบ Universal Transverse Mercator (UTM) โซน 47 Spheroid Everest และ datum WGS 1984 เป็นภาพอ้างอิง (reference image) ใช้สมการการแปลงที่อยู่ในรูปของสมการแบบพหุนาม (polynomial) ระดับ 2 จำนวนและการกระจายของจุดควบคุมภาพพื้นดินอย่างน้อย 6 จุด ค่าความผิดพลาดเฉลี่ย (root mean square error; RMSE) ที่ไม่เกินครึ่งจุดภาพ ซึ่งอยู่ในเกณฑ์ที่ยอมรับได้ว่าไม่มีการเปลี่ยนแปลงไปจากภาพต้นฉบับมากนัก (กาญจน์เจจร, 2546) และทำการหาค่าใหม่แก่จุดภาพ (resampling) โดยการพิจารณา_rับค่าข้างเคียง (nearest neighbor resampling) ซึ่งเป็นการใช้ค่าของจุดภาพเดิมที่มีตำแหน่งน่ำลงจุดกึ่งกลางอยู่ใกล้เคียงตำแหน่งของจุดภาพใหม่มากที่สุด วิธีการนี้เป็นวิธีที่นิยมใช้มากที่สุด เพราะข้อมูลภาพใหม่ยังคงค่าความสว่าง (brightness values) เดิมเอาไว้ ทำให้ข้อมูลภาพมีสีใกล้เคียงภาพเดิม เพียงแต่ได้รับการลงตำแหน่งเพิ่มให้มีความถูกต้องทางด้านเรขาคณิตเท่านั้น

2.3.2 การแปลงความ และการวิเคราะห์ข้อมูลภาพถ่ายดาวเทียม (image interpretation and analysis) ด้วยการประมวลผลด้วยคอมพิวเตอร์ (image processing) ซึ่งจำแนกการใช้ประโยชน์

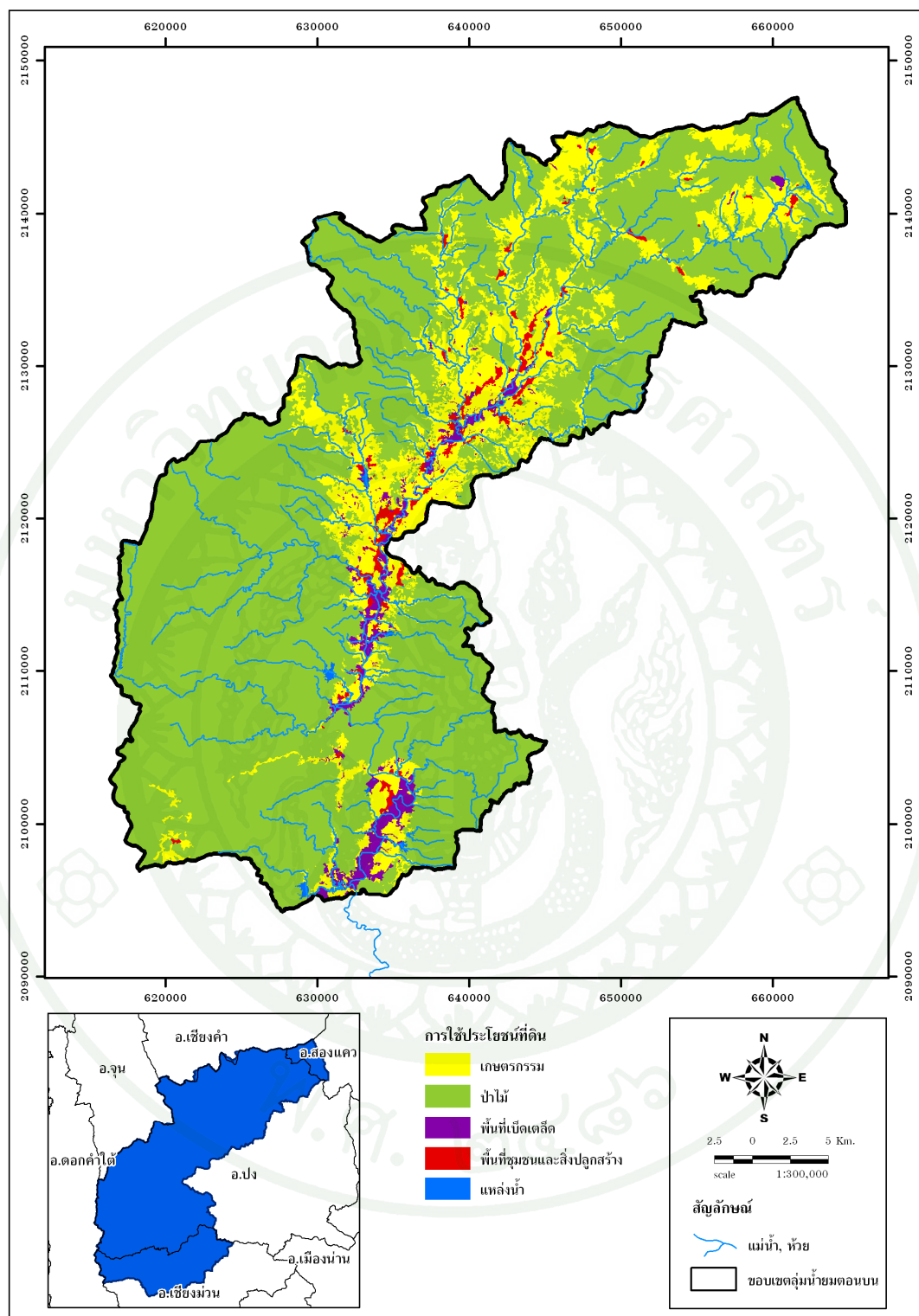
ที่คิดออกแบบเป็น พื้นที่เกย์ตระกูล ป่าไม้ แหล่งน้ำ ชุมชนและสิ่งปลูกสร้าง และพื้นที่เบ็ดเตล็ด ด้วยวิธีการแบบกำกับดูแลในกระบวนการจัดกลุ่ม (*supervised classification*)

2.3.3 การขัดทำชั้นข้อมูลการใช้ประโยชน์ที่คิด โดยการนำข้อมูลที่ได้จากการแปลภาษาถ่ายดาวเทียมที่ได้มีการตรวจสอบความถูกต้องแล้วขัดทำชั้นข้อมูลเชิงบรรยาย (*attribute data*) ซึ่งจำแนกออกเป็น 5 กลุ่ม ได้แก่ พื้นที่เกย์ตระกูล ป่าไม้ แหล่งน้ำ ชุมชนและสิ่งปลูกสร้าง และพื้นที่เบ็ดเตล็ด ข้อมูลที่จัดกลุ่มใหม่จะอยู่ในรูปแบบเวกเตอร์ (*vector format*) ดังแสดงในภาพที่ 15

2.4 การวิเคราะห์ค่า curve number (CN) ได้จากการนำข้อมูลชุดคิดและการใช้ประโยชน์ที่คิดที่ได้ขัดแบ่งกลุ่มตามวิธีการ SCS มาหาพื้นที่ซ้อนทับแบบ *intersect* ด้วยคำสั่ง *intersect* ของโปรแกรม ArcGIS แล้วกำหนดค่า CN ที่เหมาะสม แล้วจึงนำมาคำนวณหาค่าเฉลี่ย CN ของพื้นที่กลุ่มน้ำ ดังสมการที่ (14) รายละเอียดดังแสดงในตารางที่ 3 ถึงตารางที่ 4 และภาพที่ 16

$$CN = \frac{A_1CN_1 + A_2CN_2 + \dots + A_nCN_n}{A_1 + A_2 + \dots + A_n} \quad (14)$$

- | | | |
|--------|-------------------|---|
| โดยที่ | CN | = ค่า CN เฉลี่ยของกลุ่มน้ำ |
| | $A_1 \dots A_n$ | = พื้นที่กลุ่มน้ำของการใช้ประโยชน์ที่คิดตามกลุ่มคิด |
| | $CN_1 \dots CN_n$ | = ค่า CN ของการใช้ประโยชน์ที่คิดตามกลุ่มคิด |



ภาพที่ 15 การจำแนกประเภทการใช้ประโยชน์ที่ดินบริเวณพื้นที่ลุ่มน้ำยังดอนบน

ที่มา: สำนักงานนโยบายและแผนการใช้ที่ดิน กรมพัฒนาที่ดิน (2552)

ตารางที่ 3 การจัดช่วงค่า curve number (CN) ในบริเวณพื้นที่ลุ่มน้ำยมตอนบน

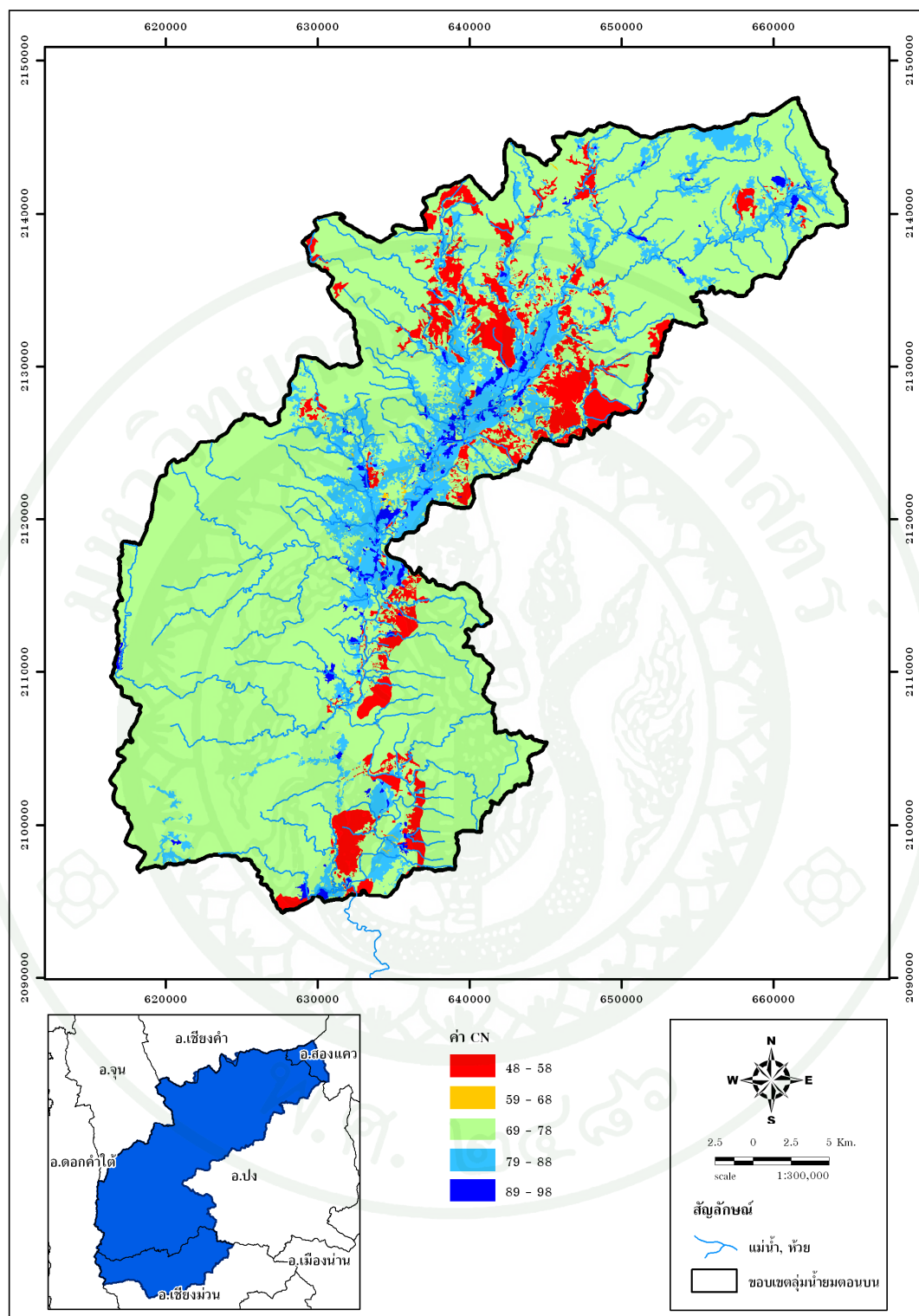
การใช้ประโยชน์ที่ดิน	กลุ่มชุดคินทางอุทกวิทยา		
	B	C	D
เกษตรกรรม (A)	58-78	71-85	79-87
ป่าไม้ (F)	55	76	77
ชุมชนและสิ่งปลูกสร้าง (U)	85	90	92
พื้นที่เบ็ดเตล็ด (M)	48-86	65-91	73-89
แหล่งน้ำ (W)	98	98	98

ที่มา: ดัดแปลงจาก นิวัติชัย (2539)

ตารางที่ 4 การจำแนกค่า curve number (CN) ในบริเวณพื้นที่ลุ่มน้ำยมตอนบน

การใช้ประโยชน์ที่ดิน	ชนิดดิน	พื้นที่ (ตารางกิโลเมตร)	CN
เกษตรกรรม (A)	B	63.767	78
	C	126.979	85
	D	29.268	87
ป่าไม้ (F)	B	72.362	55
	C	755.136	76
	D	62.288	77
ชุมชนและสิ่งปลูกสร้าง (U)	B	5.882	85
	C	7.265	90
	D	2.525	92
พื้นที่เบ็ดเตล็ด (M)	B	16.566	86
	C	7.749	91
	D	5.018	89
แหล่งน้ำ (W)	A,B,C,D	0.420	98

ที่มา: ดัดแปลงจาก นิวัติชัย (2539)



ภาพที่ 16 ค่า curve number (CN) บริเวณพื้นที่ลุ่มน้ำยังไม่แน่นอน

2.5 ข้อมูลปริมาณน้ำฝน โดยการสร้างชั้นข้อมูล และกำหนดข้อมูลคุณลักษณะ (**attribute data**) จากการนำข้อมูลสถิติปริมาณน้ำฝนรายวันในรอบ 15 ปี ของสถานีวัดปริมาณน้ำฝนที่อยู่ในพื้นที่และใกล้เคียงจำนวน 6 สถานี มาเฉลี่ยตามน้ำหนักพื้นที่ โดยวิธีไธessen (**Thiessen method**) ด้วยคำสั่ง **Create Thiessen Polygons** ของโปรแกรม **ArcGIS** แล้วคำนวณหาค่าเฉลี่ยปริมาณน้ำฝนรายเดือน ดังสมการที่ (15) ดังแสดงในภาพที่ 17

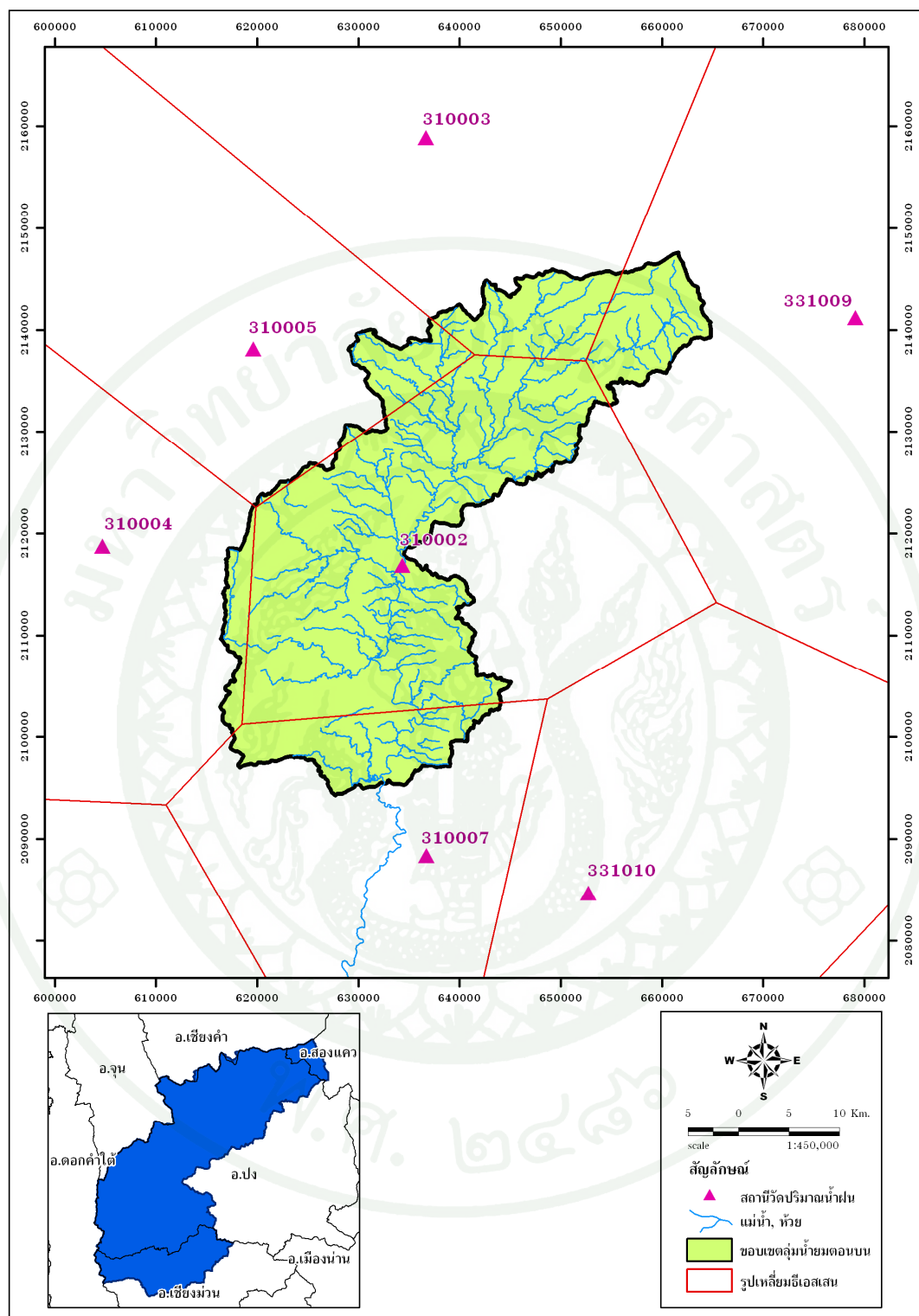
$$P = \frac{P_1A_1 + P_2A_2 + \dots + P_nA_n}{A_1 + A_2 + \dots + A_n} \quad (15)$$

โดยที่

P = ปริมาณน้ำฝนเฉลี่ย

$P_1 \dots P_n$ = ปริมาณน้ำฝนที่วัดได้จากสถานีวัดน้ำฝนที่ 1,..,n

$A_1 \dots A_n$ = พื้นที่รูปหลายเหลี่ยมของสถานีวัดน้ำฝนที่ 1,..,n



ภาพที่ 17 ตำแหน่งที่ตั้งสถานีัดปริมาณน้ำฝนและการแบ่งรูปเหลี่ยม ไชเส็น โพลีกอน
(Thiessen polygon)

3. การประมาณค่าปริมาณน้ำท่าด้วยแบบจำลอง SCS-CN

การประมาณค่าปริมาณน้ำท่า โดยใช้วิธีการของ SCS ดังสมการต่อไปนี้

$$Q = \frac{(P - 0.2S)^2}{(P + 0.8S)} \quad (16)$$

ซึ่ง	P	$\geq 0.2S$
โดยที่	Q	ปริมาณน้ำท่า (ลูกบาศก์เมตร)
	P	ปริมาณน้ำฝน (มิลลิเมตร)
	S	ความสามารถในการเก็บกักน้ำของดิน

ซึ่ง S มีความสัมพันธ์กับค่า curve number (CN) ดังสมการต่อไปนี้

$$S = \frac{25400}{CN} - 254 \quad (17)$$

4. การปรับเทียบแบบจำลอง

การปรับเทียบแบบจำลองต้องทำการปรับค่าพารามิเตอร์ที่ใช้ในแบบจำลองเพื่อให้กราฟน้ำท่าที่คำนวณได้มีความสัมพันธ์หรือมีรูปร่างใกล้เคียงกันมากที่สุดกับกราฟน้ำท่าที่ได้จากข้อมูลของสถานีตรวจวัด โดยใช้เกณฑ์ทางสถิติ ดังนี้

4.1 ค่ารากที่สองกำลังสองเฉลี่ยของความคลาดเคลื่อน (root mean square error; RMSE) ระหว่างปริมาณน้ำท่าจากการตรวจวัด กับปริมาณน้ำท่าจากแบบจำลอง ดังสมการที่ (18) ดังนี้

$$RMSE = \sqrt{\frac{1}{n} \sum_{i=1}^n (Q_o - Q_m)^2} \quad (18)$$

โดยที่	Q_o	= ปริมาณน้ำท่าจากการตรวจวัด
	Q_m	ปริมาณน้ำท่าจากแบบจำลอง

4.2 ค่าประสิทธิภาพในการจำลองแบบ (model efficiency; EFF) ของ Nash and Sutcliffe (1970) ซึ่งค่า EFF ที่ได้ต้องมีค่าสูงสุด (maximum target) โดยเปรียบเทียบกับปริมาณน้ำท่าจากการตรวจดู เป็นข้อมูลสอบเทียบความถูกต้องของแบบจำลอง ดังสมการที่ (19)

$$EFF = 1 - \frac{\sum (\hat{y}_i - y_i)^2}{\sum (y_i - \bar{y}_i)} \quad (19)$$

เมื่อ	EFF	คือ	ค่าประสิทธิภาพในการจำลองแบบ
	\hat{y}_i	คือ	ค่าที่ตรวจได้จริง
	y_i	คือ	ค่าที่ประมาณได้จากแบบจำลอง
	\bar{y}_i	คือ	ค่าเฉลี่ยของค่าที่ตรวจได้จริง

5. การคาดการณ์ปริมาณน้ำท่าเมื่อมีการเปลี่ยนแปลงการใช้ประโยชน์ที่ดิน

ทำการคาดการณ์การเปลี่ยนแปลงการใช้ประโยชน์ที่ดินโดยกำหนดเงื่อนไขของภาพเหตุการณ์ตามนโยบายการใช้ประโยชน์ที่ดิน ดังนี้

5.1 คาดการณ์เมื่อมีการใช้ประโยชน์ที่ดินเป็นไปตามนโยบายที่กำหนดในแต่ละพื้นที่ชั้นคุณภาพลุ่มน้ำ ตามแนวทางการกำหนดพื้นที่ตามคณะกรรมการสิ่งแวดล้อมแห่งชาติ เมื่อปี พ.ศ. 2525

5.2 คาดการณ์เมื่อมีการใช้ประโยชน์ที่ดินชัดเจนเหมาะสมตามระดับความลาดชันตามแนวทางการกำหนดพื้นที่ตามคณะกรรมการสิ่งแวดล้อมแห่งชาติ เมื่อปี พ.ศ. 2525

ผลและวิจารณ์

การประยุกต์แบบจำลอง SCS-CN เพื่อประมาณค่าปริมาณน้ำท่าในพื้นที่ลุ่มน้ำยมดอนบนได้ใช้เทคนิคระบบสารสนเทศภูมิศาสตร์ร่วมกับแบบจำลอง SCS-CN เพื่อประมาณค่าปริมาณน้ำท่า รวมทั้งเปรียบเทียบปริมาณน้ำท่าที่ได้จากแบบจำลอง SCS-CN กับข้อมูลปริมาณน้ำท่าที่ได้จากการตรวจวัด เพื่อบ่งชี้สถานภาพลุ่มน้ำด้านอุทกวิทยา และศักยภาพการให้น้ำท่าในพื้นที่ลุ่มน้ำยมดอนบน สามารถอธิบายผลการศึกษาได้ดังนี้

1. ปริมาณน้ำท่า

1.1 ปริมาณน้ำท่ารายปี

การประมาณค่าปริมาณน้ำท่ารายปีโดยวิธีการของแบบจำลอง SCS-CN และเปรียบเทียบกับปริมาณน้ำท่าที่ได้จากการตรวจวัด ได้ผลการศึกษาดังแสดงในตารางที่ 5 พบว่า ในพื้นที่ลุ่มน้ำยมดอนบน ปริมาณน้ำฝนเฉลี่ยรายปี มีค่าเท่ากับ 1,223.73 มิลลิเมตร โดยมีปริมาณน้ำฝนสูงสุดในเดือนสิงหาคมเท่ากับ 238.45 มิลลิเมตร ปริมาณน้ำฝนต่ำสุดในเดือนกุมภาพันธ์ มีค่าเท่ากับ 8.1 มิลลิเมตร และปริมาณน้ำฝนเฉลี่ยรายเดือน มีค่าเท่ากับ 101.98 มิลลิเมตร

ปริมาณน้ำท่าที่ได้จากแบบจำลอง มีค่าเท่ากับ 763.05 ล้านลูกบาศก์เมตร โดยปริมาณน้ำท่าสูงสุดในเดือนสิงหาคมมีค่าเท่ากับ 223.12 ล้านลูกบาศก์เมตร ปริมาณน้ำท่าต่ำสุดในเดือนมีนาคมมีค่าเท่ากับ 8.10 ล้านลูกบาศก์เมตร และปริมาณน้ำท่าเฉลี่ยรายเดือนมีค่าเท่ากับ 63.59 ล้านลูกบาศก์เมตร ทั้งนี้ เพราะปริมาณน้ำฝนที่ตกลงมาสะสมตั้งแต่เดือนพฤษภาคม ทำให้มีความชื้นสะสมในดินสูง ดินจึงอึมตัวไปด้วยน้ำ เมื่อมีปริมาณน้ำฝนที่ตกลงมาสูงสุดในเดือนสิงหาคม น้ำฝนจึงไม่สามารถซึมผ่านลงไประบินดินได้ จึงเกิดการไหลหลากร เป็นน้ำท่าส่งผลให้มีปริมาณน้ำท่าสูงสุดในเดือนสิงหาคม ในขณะที่ปริมาณน้ำท่าเริ่มลดลง และมีค่าต่ำสุดในเดือนธันวาคมเนื่องจากอิทธิพลของปริมาณน้ำฝนลดลง ทำให้พื้นดินมีความชื้นลดลง น้ำบางส่วนจึงซึมลงสะสมไว้ใต้ดินทำให้ปริมาณน้ำลดลง และน้ำท่าที่ไหลต่อจากนั้นเป็นปริมาณน้ำที่สะสมอยู่ใต้ดินที่ค่อยๆ ไหลซึมออกมาก

ตารางที่ 5 ปริมาณน้ำท่ารายปีในบริเวณพื้นที่ลุ่มน้ำยมดอนบน

เดือน	ปริมาณน้ำฝน	ปริมาณน้ำท่า (ล้าน ลบ.ม.)		RMSE
	(มม.)	ตรวจวัด	แบบจำลอง	
เมษายน	97.64	7.60	9.03	1.43
พฤษภาคม	142.99	29.34	31.46	2.12
มิถุนายน	145.62	38.64	38.52	0.13
กรกฎาคม	202.63	85.79	84.24	1.55
สิงหาคม	238.45	224.85	223.12	1.73
กันยายน	212.29	266.45	212.29	54.16
ตุลาคม	98.06	87.58	86.41	1.16
พฤษจิกายน	19.52	40.01	39.01	1.00
ธันวาคม	8.76	20.36	11.06	9.30
มกราคม	9.86	11.89	11.18	0.71
กุมภาพันธ์	8.10	8.54	8.63	0.09
มีนาคม	39.79	8.51	8.10	0.41
รวม	1,223.73	829.56	763.05	73.78
เฉลี่ย	101.98	69.13	63.59	6.15

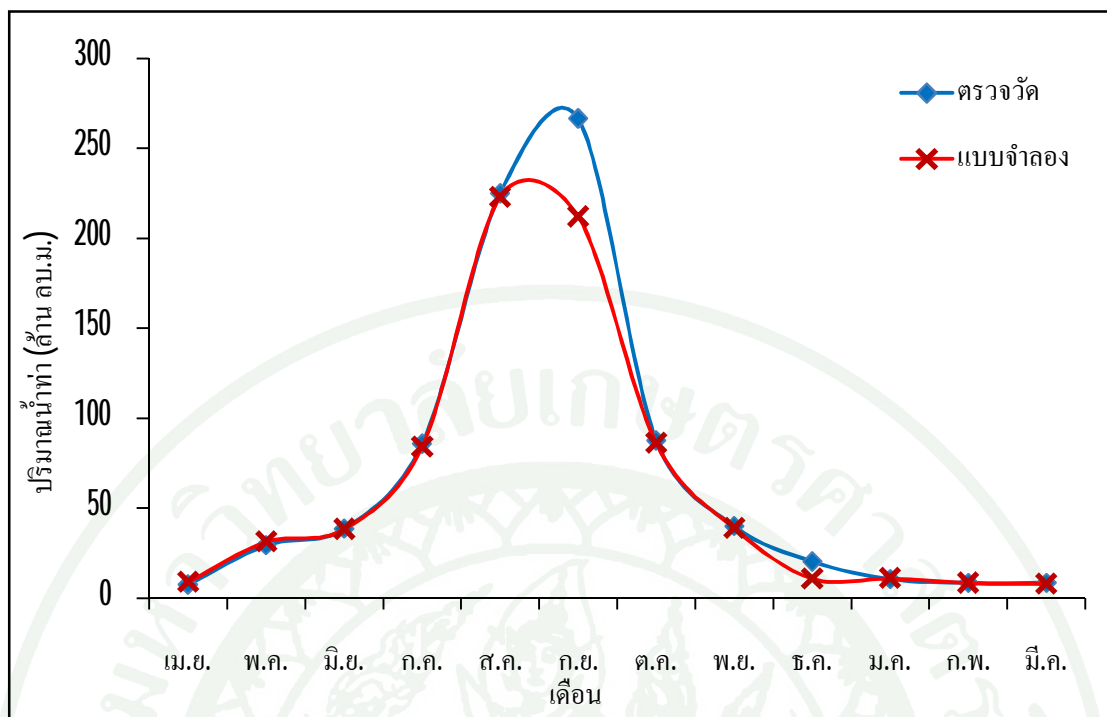
ส่วนปริมาณน้ำท่าที่ได้จากข้อมูลการตรวจวัดของกรมชลประทาน มีค่าเท่ากับ 829.56 ล้านลูกบาศก์เมตร โดยปริมาณน้ำท่าสูงสุดในเดือนกันยายนมีค่าเท่ากับ 266.45 ล้านลูกบาศก์เมตร ปริมาณน้ำท่าต่ำสุดในเดือนเมษายนมีค่าเท่ากับ 7.60 ล้านลูกบาศก์เมตร และปริมาณน้ำท่าเฉลี่ยรายเดือนมีค่าเท่ากับ 69.13 ล้านลูกบาศก์เมตร ซึ่งค่าปริมาณน้ำท่าที่ได้จากแบบจำลองมีปริมาณน้อยกว่าปริมาณน้ำท่าที่ได้จากการตรวจวัด ซึ่งเป็นไปในลักษณะเดียวกันกับการศึกษาของวิคุล (2533) ที่พบว่าปริมาณน้ำท่าที่คำนวณจากแบบจำลอง SCS ในลุ่มน้ำห้วยตะก้อ และลุ่มน้ำห้วยสำราญมีค่าน้อยกว่าปริมาณน้ำท่าที่ได้จากการตรวจวัด เนื่องจากแบบจำลองที่ใช้นี้ไม่ได้พิจารณาถึงอิทธิพลของการไหลได้ผิดดินและการเก็บกักริ่มแรกบนผิวดิน ประกอบกับในพื้นที่ลุ่มน้ำยมดอนบนมีการใช้ประโยชน์ที่ดินส่วนใหญ่เป็นพื้นที่ป่าไม้ และดินมีการซึมน้ำได้ปานกลาง ส่งผลให้ป่าไม้และดินมีการดูดซับน้ำไว้ได้ดีกว่าดินที่ค่อนข้างดี จึงทำให้ปริมาณน้ำท่าที่ได้จาก

แบบจำลองมีปริมาณน้อยกว่าค่าที่ได้จากการตรวจวัด แต่ทั้งนี้ปริมาณน้ำท่าทั้งหมดมีความผันแปรไปและมีแนวโน้มไปในทิศทางเดียวกัน

ค่ารากที่สองกำลังสองเฉลี่ยของความคลาดเคลื่อน (root mean square error; RMSE) มีค่าเฉลี่ยเท่ากับ 6.15 โดยในเดือนกันยายนมีค่ารากที่สองกำลังสองเฉลี่ยของความคลาดเคลื่อนมากที่สุดเท่ากับ 54.16 และเดือนมีนาคมมีค่ารากที่สองกำลังสองเฉลี่ยของความคลาดเคลื่อนน้อยที่สุดเท่ากับ 0.41 จากค่ารากที่สองกำลังสองเฉลี่ยของความคลาดเคลื่อนน้อยที่สุดในเดือนมีนาคมเนื่องจากมีปริมาณน้ำฝนน้อย การให้ปริมาณน้ำท่ามาจากการปัจจัยของสภาพภูมิประเทศ ชนิดดิน และการใช้ประโยชน์ที่ดินในพื้นที่ลุ่มน้ำยังคงเป็นตัวกำหนด และแบบจำลองมีการเลือกใช้พารามิเตอร์ที่สะท้อนสภาพภูมิถิ่นของพื้นที่เพียง 2 พารามิเตอร์เท่านั้น ทำให้ค่าปริมาณน้ำท่าที่ได้มีค่าความคลาดเคลื่อนน้อย และจากค่ารากที่สองกำลังสองเฉลี่ยของความคลาดเคลื่อนมากที่สุดในเดือนกันยายน เนื่องมาจากเริ่มมีปริมาณน้ำฝนที่สูงและสะสมมาตั้งแต่เดือนเมษายน ดินจึงมีความชื้นสูงและอิ่มตัวไปด้วยน้ำ ลักษณะภูมิถิ่นของพื้นที่ลุ่มน้ำในการให้น้ำท่า มีอิทธิพลต่อการให้น้ำท่าน้อยลง ทำให้การคำนวณปริมาณน้ำท่าโดยใช้แบบจำลอง ให้ค่าที่แตกต่างจากค่าตรวจวัดโดยตรง

1.2 ความผันแปรของปริมาณน้ำท่ารายปี

ข้อมูลปริมาณน้ำท่ารายปี เมื่อนำมาสร้างໄไซโอดกราฟเปรียบเทียบปริมาณน้ำท่าที่ได้จากแบบจำลอง และการตรวจวัด ดังแสดงในภาพที่ 18 พบว่า ส่วนชี้ (rising limb) ของໄไซโอดกราฟ พบว่าความผันแปรของปริมาณน้ำท่าที่ได้จากแบบจำลองและการตรวจวัด มีรูปร่างและแนวโน้มไปในทิศทางเดียวกัน โดยในช่วงเริ่มแรกปริมาณน้ำท่าค่อย ๆ เพิ่มขึ้น ซึ่งอธิบายได้ว่าในช่วงแรกจะห่วงเดือนเมษายนถึงเดือนมิถุนายน สภาพพื้นดินยังมีความแห้ง ปริมาณความชื้นในดินมีน้อย เมื่อมีปริมาณน้ำฝนตกลงมา ดินจึงสามารถดูดซึมน้ำฝนไว้ได้เกือบทั้งหมด จนกระทั่งเดือนกรกฎาคม ความชื้นเพิ่มขึ้นอย่างรวดเร็ว ซึ่งเป็นผลมาจากการที่มีปริมาณน้ำฝนเพิ่มมากขึ้น และสภาพพื้นดินเริ่มน้ำที่มีความชื้นสูงขึ้น ทำให้น้ำฝนที่ตกลงมาบางส่วนไม่สามารถซึมน้ำลงสู่ผิวดินได้ทั้งหมด



ภาพที่ 18 ความผันแปรของปริมาณน้ำท่าจากการตรวจวัดและจากแบบจำลองบริเวณพื้นที่คุ่มน้ำขึ้นตอนบน

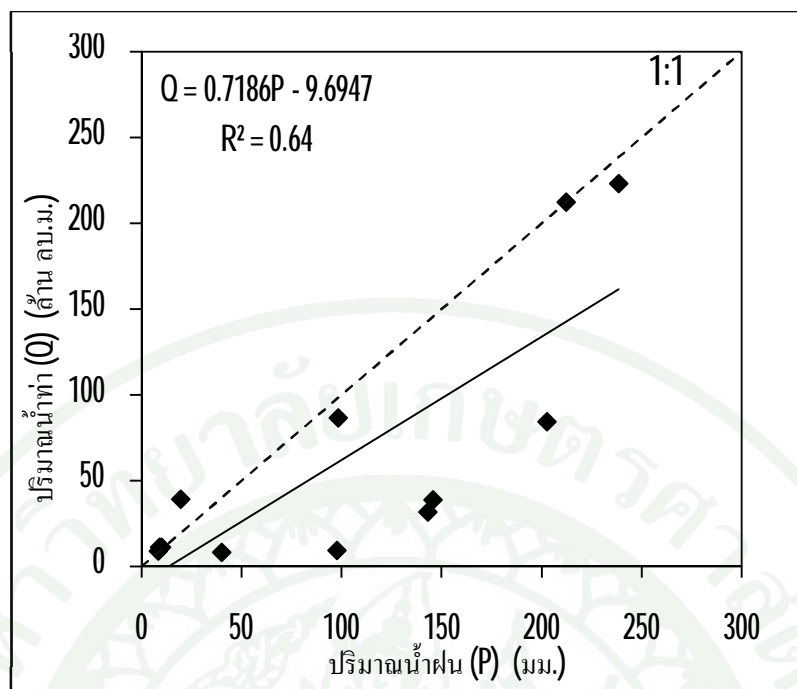
ส่วนยอด (peak หรือ crest segment) ของไฮดรографที่ได้จากการตรวจวัด มีปริมาณน้ำท่าสูงสุดในเดือนสิงหาคม ส่วนปริมาณน้ำท่ารายปีที่ได้จากการตรวจวัด มีปริมาณน้ำท่าสูงสุดในเดือนกันยายน ซึ่งเป็นผลมาจากการที่มีปริมาณน้ำฝนเพิ่มมากขึ้น ประกอบกับพื้นดินอิ่มตัวไปด้วยน้ำ ดินมีความชื้นสูง น้ำฝนที่ตกลงมาจึงไม่สามารถซึมลงสู่ผิวดินได้อีก จึงเกิดการไหลหลากรဨเป็นปริมาณน้ำท่าสูงสุด ค่าปริมาณน้ำท่าที่ได้จากการแบบจำลองมีค่าสูงสุดไม่สอดคล้องกับค่าที่ได้จากการตรวจวัด ซึ่งค่าปริมาณน้ำท่าสูงสุดที่ได้จากการแบบจำลองอยู่ในเดือนสิงหาคม ในขณะที่ค่าปริมาณน้ำท่าสูงสุดที่ได้จากการตรวจวัดอยู่ในเดือนกันยายน เนื่องจากในช่วงเดือนสิงหาคมและเดือนกันยายน ปริมาณน้ำฝนในพื้นที่คุ่มน้ำค่อนข้างมาก เนื่องจากเป็นช่วงลมมรสุมตะวันตกเฉียงใต้ ประกอบกับเป็นช่วงที่พายุจรหรือร่องความกดอากาศต่ำ ซึ่งก่อตัวในบริเวณทะเลจีนใต้พัดผ่านประเทศไทยตอนบน โดยในช่วง 2 เดือนดังกล่าว มีปริมาณน้ำฝนประมาณร้อยละ 35 ของฝนทั้งปี (สำนักชลประทานที่ 4, 2550) ประกอบกับสภาพภูมิประเทศเป็นเทือกเขาหิواجهเนื่องมาตั้งแต่ทำให้เอื้ออำนวยต่อการเกิดฝน ทั้งนี้เนื่องจากปริมาณน้ำท่าจากแบบจำลองใช้ค่าพารามิเตอร์จากปริมาณน้ำฝนซึ่งสัมพันธ์โดยตรงกับปริมาณน้ำท่า และค่า CN ที่รวมการใช้ประโยชน์ที่ดินและสภาพอุทก

วิทยาของคุณ รวมถึงสภาพภูมิประเทศ ในการประเมินปริมาณน้ำท่า จึงทำให้ค่าปริมาณน้ำท่าที่ได้จากแบบจำลอง และการตรวจวัดมีค่าสูงสุดอยู่ในเดือนที่แตกต่างกัน

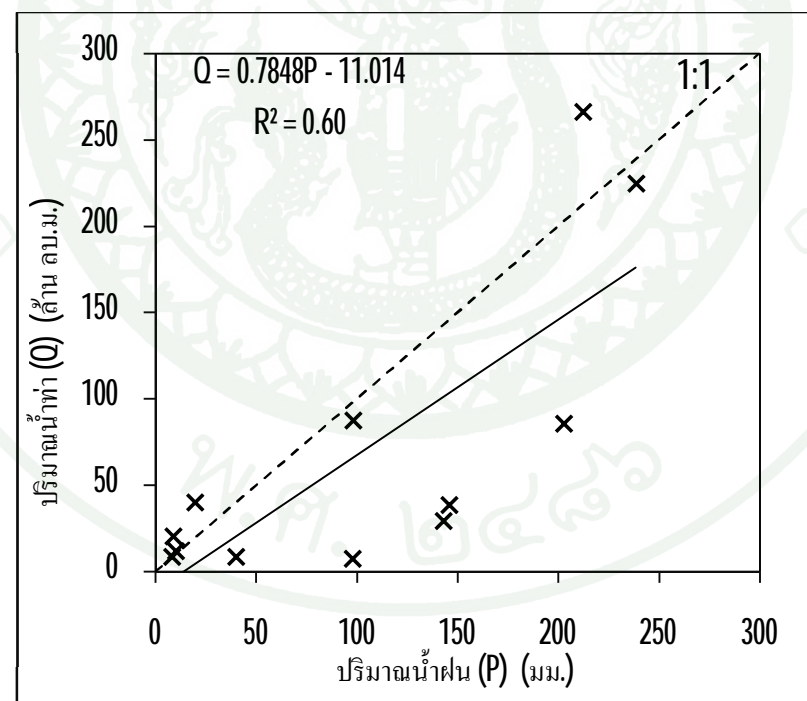
ส่วนลด (recession) ของไฮโดรกราฟของปริมาณน้ำท่าที่ได้จากแบบจำลองเริ่มเปลี่ยนแปลงลดลงในช่วงเดือนกันยายน และส่วนลดของปริมาณน้ำท่าจากการตรวจวัดเปลี่ยนแปลงลดลงในช่วงเดือนตุลาคม จากนั้นจึงค่อย ๆ ลดลงไปเรื่อย ๆ ซึ่งมีแนวโน้มไปในทิศทางเดียวกันกับแบบจำลอง เนื่องมาจากเมื่อปริมาณน้ำฝนที่ตกเริ่มลดลง ทำให้พื้นดินมีความชื้นลดลง น้ำบางส่วนจึงซึมลงสะสมไว้ได้ดี และน้ำท่าที่ไหลต่อจากนั้นเป็นปริมาณน้ำที่สะสมอยู่ได้ดีที่สุดที่ค่อยๆ ไหลซึมออกมาก ซึ่งปริมาณน้ำท่าที่ยังมีอยู่ในช่วงนี้มีปัจจัยทางภูมิศาสตร์ของพื้นที่คุ้มน้ำ สภาพการใช้ประโยชน์ที่ดิน และชนิดของดินในพื้นที่คุ้มน้ำยังคงต่อนบนเป็นตัวกำหนดสำคัญ

1.3 การวิเคราะห์ความสัมพันธ์ระหว่างปริมาณน้ำท่ากับปริมาณน้ำฝน

ความสัมพันธ์ระหว่างปริมาณน้ำท่าที่ได้จากการแบบจำลอง และที่ได้จากการตรวจวัด มีความสัมพันธ์แบบเส้นตรง (*simple linear regression*) กับปริมาณน้ำฝน ดังแสดงในภาพที่ 19 พบว่าความสัมพันธ์แบบเส้นตรง (*simple linear regression*) ของปริมาณน้ำฝนกับปริมาณน้ำท่าจากแบบจำลองมีระดับความถ้วนเชื่อมต่อสูงในระดับปานกลาง โดยมีค่าสัมประสิทธิ์ตัวกำหนด (R^2) เท่ากับ 0.64 ทั้งนี้เนื่องจากปริมาณน้ำท่าทั้งปีไม่ได้ขึ้นอยู่กับปัจจัยจากปริมาณน้ำฝนเพียงอย่างเดียว ซึ่งปริมาณน้ำท่าที่ได้ยังขึ้นอยู่กับปัจจัยทางภูมิศาสตร์ของพื้นที่ลุ่มน้ำ สภาพการใช้ประโยชน์ที่ดิน และชนิดของดินเป็นตัวกำหนด เมื่อนำมาวิเคราะห์ความสัมพันธ์รายปี ปริมาณน้ำฝนจึงมีอิทธิพลต่อการเกิดปริมาณน้ำท่าเพียงร้อยละ 64 ซึ่งค่าระดับความสัมพันธ์ที่ได้มีค่าใกล้เคียงกับการใช้ข้อมูลจากการตรวจวัดจริง โดยมีค่าระดับความสัมพันธ์แบบเส้นตรง (*simple linear regression*) ของปริมาณน้ำฝนกับปริมาณน้ำท่าจากการตรวจวัดในระดับปานกลางใกล้เคียงกัน โดยมีค่าสัมประสิทธิ์ตัวกำหนด (R^2) เท่ากับ 0.6 และผลการทดสอบความถูกต้องของแบบจำลอง ดังแสดงในภาพที่ 20 พบว่าปริมาณน้ำท่าที่คำนวณได้จากแบบจำลองมีค่าต่ำกว่าปริมาณน้ำท่าที่ได้จากการตรวจวัด (*underestimate*) โดยมีค่าสัมประสิทธิ์ตัวกำหนด (R^2) เท่ากับ 0.98 ทั้งนี้เนื่องจากแบบจำลอง SCS-CN ได้ใช้พารามิเตอร์เพียง 2 พารามิเตอร์ ซึ่งสามารถประเมินปริมาณน้ำท่าได้ชัดเจนในช่วงที่มีค่าปริมาณน้ำฝนสูงและมีค่าความชื้นในดินสูงเท่านั้น ส่วนในช่วงอื่นที่มีปริมาณน้ำฝนน้อยจึงทำให้เกิดค่าความคลาดเคลื่อน

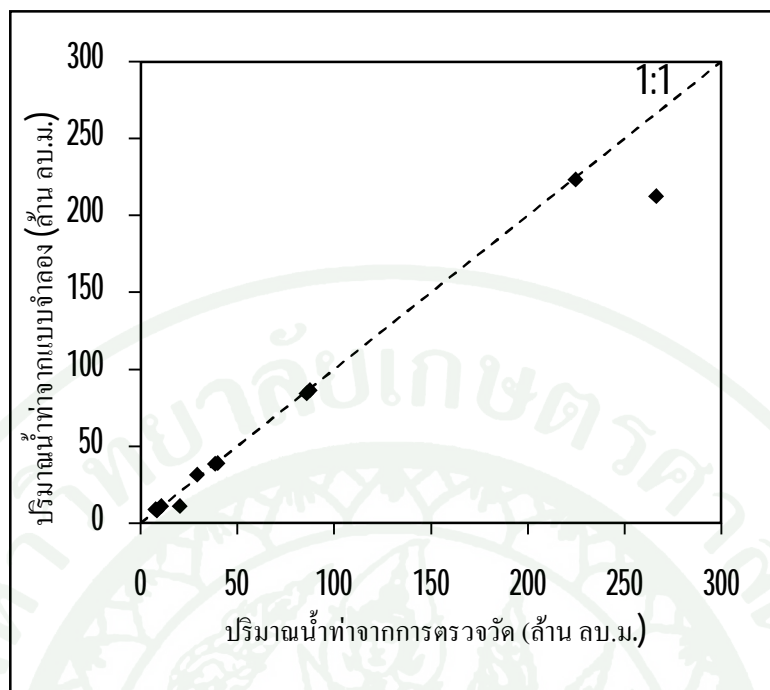


(ก) ความสัมพันธ์ระหว่างปริมาณน้ำฝนกับปริมาณน้ำท่าจากแบบจำลอง



(ข) ความสัมพันธ์ระหว่างปริมาณน้ำฝนกับปริมาณน้ำท่าจากการตรวจวัด

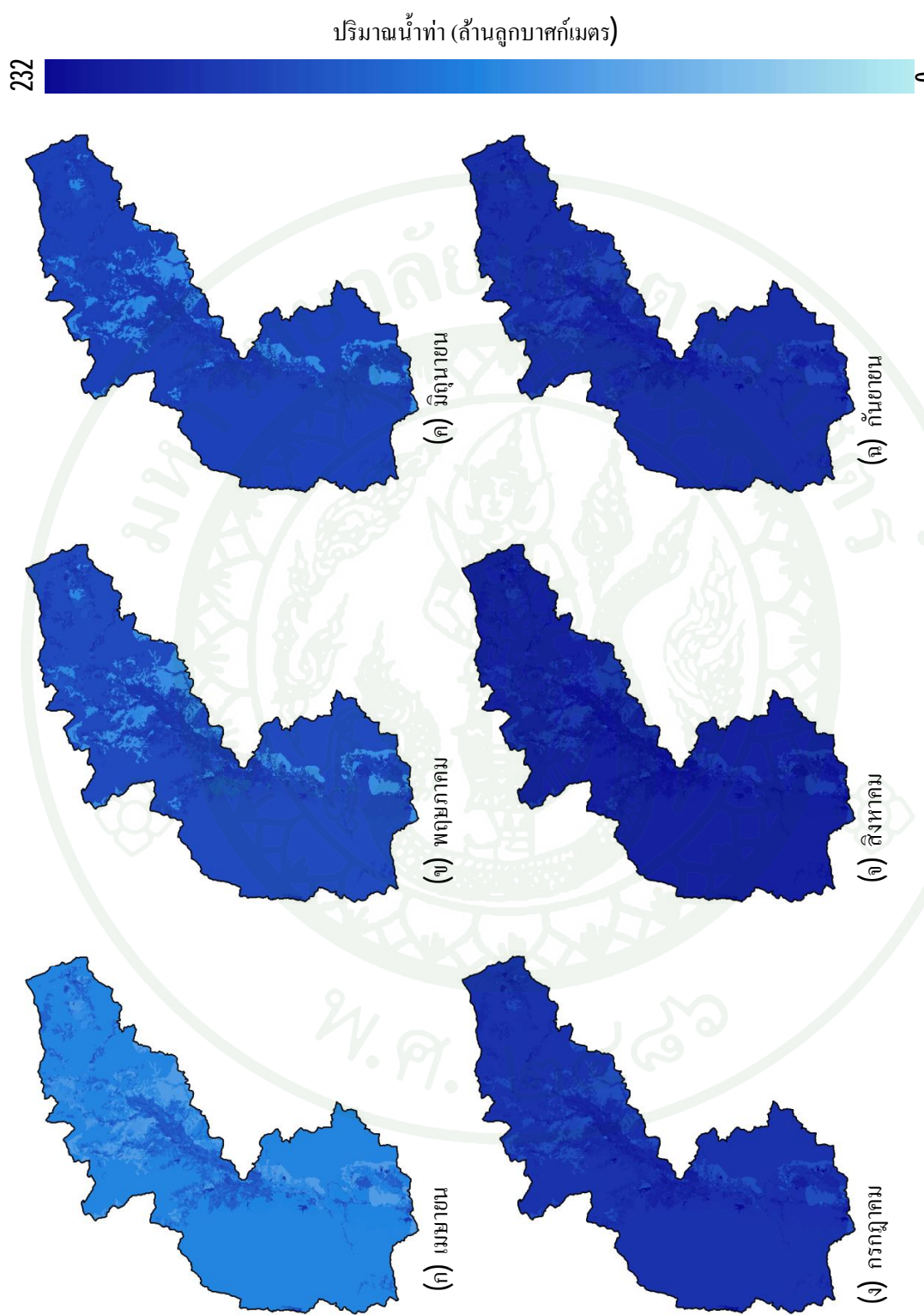
ภาพที่ 19 ความสัมพันธ์ระหว่างปริมาณน้ำฝนกับปริมาณน้ำท่าจากแบบจำลองและการตรวจวัด



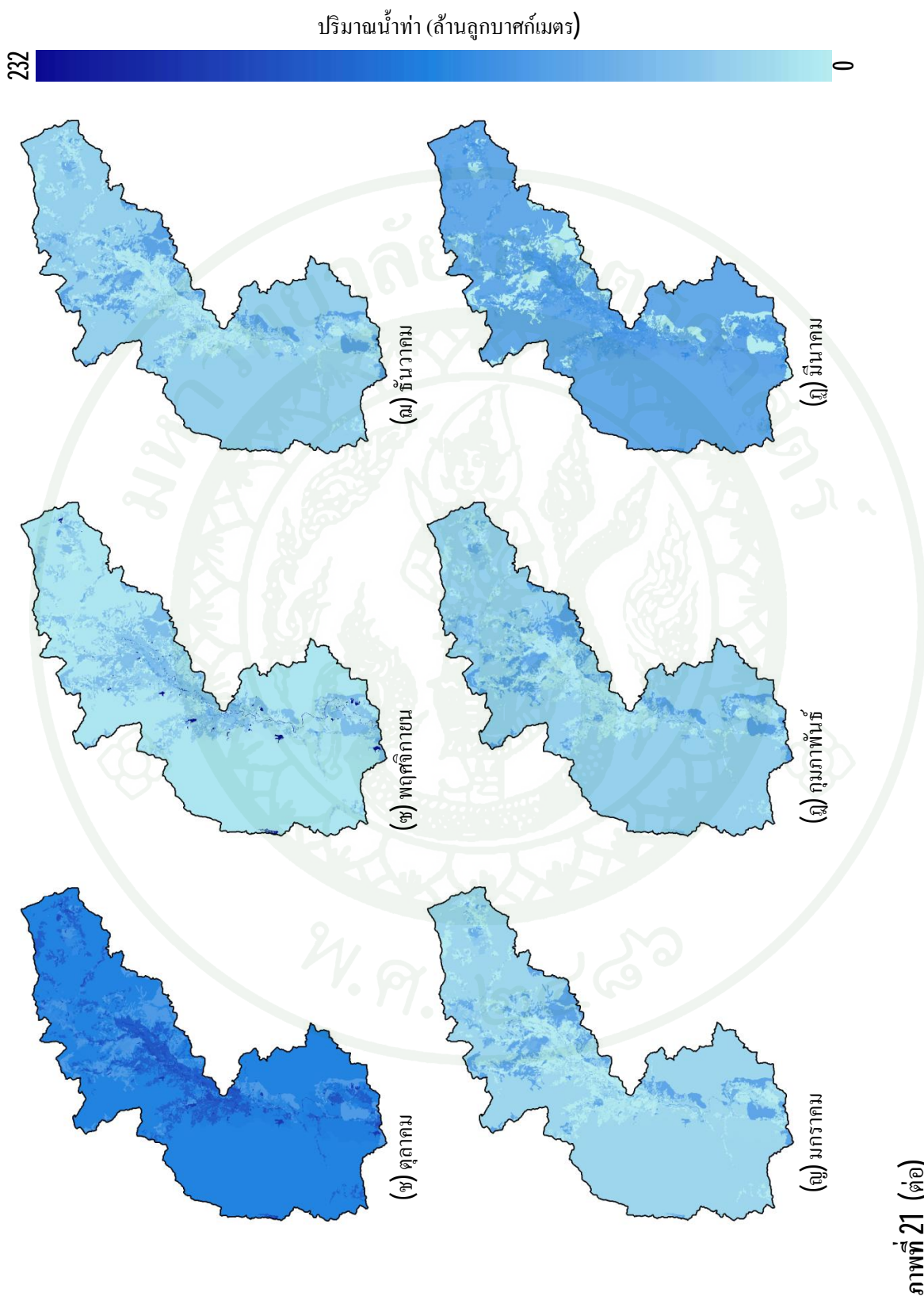
ภาพที่ 20 การทดสอบความถูกต้องของแบบจำลอง SCS-CN

1.4 การวิเคราะห์ปริมาณน้ำท่าเชิงพื้นที่รายเดือน

การวิเคราะห์ข้อมูลเชิงพื้นที่เพื่อจัดทำแผนที่ปริมาณน้ำท่าเฉลี่ยที่ได้จากแบบจำลอง โดยการนำข้อมูลปริมาณน้ำท่าที่ประเมินໄค์ในแต่ละช่วงเดือน ซึ่งเป็นข้อมูลแบบเวกเตอร์ (vector) มาแปลงเป็นข้อมูลแบบ raster ที่มีขนาดกริด 25×25 เมตร ดังแสดงในภาพที่ 21 พบว่า ปริมาณน้ำท่าสูงสุดในเดือนสิงหาคม มีค่าเท่ากับ 223.12 ล้านลูกบาศก์เมตร ส่วนในเดือน พฤศจิกายน ธันวาคม และเดือนกุมภาพันธ์ ไม่มีปริมาณน้ำท่า โดยปริมาณน้ำท่าเฉลี่ย มีค่าเท่ากับ 63.59 ล้านลูกบาศก์เมตร ซึ่งปริมาณน้ำท่าในแต่ละกริดมีค่าที่แตกต่างกันไปตามค่าปริมาณน้ำฝน และค่า CN ซึ่งแปรผันไปตามกลุ่มชุดคืนทางอุทกวิทยา และการใช้ประโยชน์ที่ดินที่แตกต่างกันในพื้นที่ลุ่มน้ำยมตอนบน ซึ่งกริดที่มีค่าปริมาณน้ำท่าสูงส่วนใหญ่จดอยู่ในกลุ่มชุดคืนทางอุทกวิทยา กลุ่ม D ซึ่งส่วนใหญ่เป็นดินเหนียว เนื้อดินมีความละเอียด รูปะนิมีขนาดเล็ก มีอัตราการซึมน้ำได้ต่ำ และมีการระบายน้ำไม่ค่อยดี และสัมพันธ์กับการใช้ประโยชน์ที่ดินที่เป็นพื้นที่เกษตรกรรม เมื่อมีฝนตกสะสมในปริมาณที่มากจึงทำให้ดินไม่สามารถซึมน้ำได้ทันน้ำท่าจึงมีปริมาณมาก ส่วนกริดที่มีค่าปริมาณน้ำท่าต่ำส่วนใหญ่จดอยู่ในกลุ่มชุดคืนทางอุทกวิทยากลุ่ม B ซึ่งส่วนใหญ่ เป็นดินร่วนปนทราย เนื้อดินมีความละเอียดปานกลางถึงหยาบปานกลาง ดินมีรูพรุนขนาดใหญ่กว่า



ภาพที่ 21 ปริมาณน้ำท่าเฉลี่ยรายเดือนจากแบบจำลอง SCS-CN ประเพณพื้นที่ลุ่มน้ำแม่โขงตอนบน



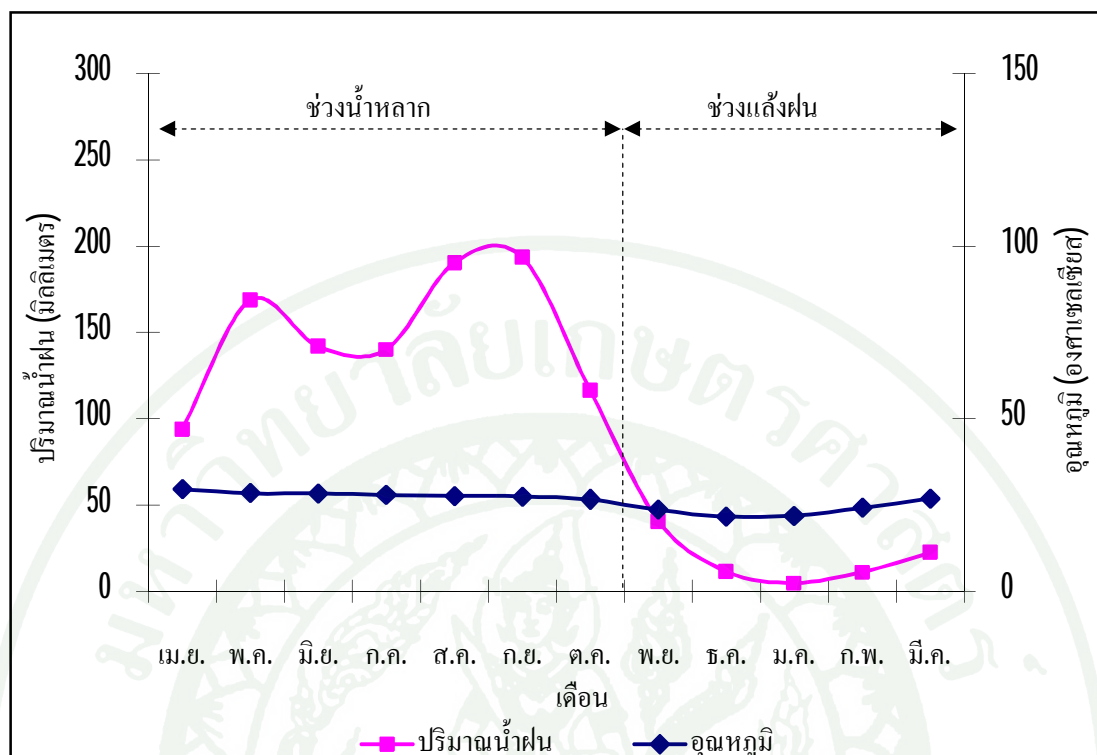
динหนึ่งวัน มีอัตราการซึมน้ำได้ปานกลาง มีการระบายน้ำได้ปานกลางและมีการใช้ประโยชน์ที่ดิน เป็นพื้นที่ป่าไม้ ซึ่งป่าไม้มีส่วนช่วยเพิ่มสมรรถนะการซึมน้ำผ่านผิวดินในอัตราที่สูง โดยทำให้ดิน เกิดการร่วนซุยและเพิ่มรูพรุนของดินทำให้มีอัตราการซึมน้ำผ่านผิวดินได้เร็วและดูดซับน้ำไว้ได้ดี ไส้มาก จึงมีปริมาณน้ำท่าหากินน้อย

1.5 ปริมาณน้ำท่าช่วงน้ำหลา - แล้งฝน (wet-dry period)

จากการแบ่งช่วงน้ำหลาและแล้งฝน (wet-dry period) โดยใช้ค่าอุณหภูมิเฉลี่ยรายเดือน และค่าปริมาณน้ำฝนเฉลี่ยรายเดือนจากสถานีอุตุนิยมวิทยาจังหวัดพะเยา จังหวัดแพร่ และจังหวัดน่าน สร้างความสัมพันธ์โดยใช้กราฟเรียกว่า แผนภูมิของภูมิอากาศ โดย Walter (1979) ได้กำหนดเงื่อนไขช่วงแล้งฝน ไว้ดังนี้

- 1) ปริมาณฝนต่อรายเดือนไม่เกิน 40 มิลลิเมตร
- 2) ช่วงเวลาที่ฝนตกแต่ละเดือนไม่เกิน 5 วัน
- 3) เป็นช่วงที่เส้นกราฟปริมาณน้ำฝนมีค่าอยู่ต่ำกว่าเส้นกราฟอุณหภูมิ โดยจะต้องกำหนดมาตรฐานส่วนของอุณหภูมิเป็นครึ่งหนึ่งของปริมาณน้ำฝน

พบว่าคุณน้ำมีต่อนบน มีช่วงน้ำหลาอยู่ระหว่างเดือนเมษายนถึงเดือนตุลาคม รวม 7 เดือน และมีช่วงแล้งฝนอยู่ระหว่างเดือนพฤษภาคมถึงเดือนมีนาคม รวม 5 เดือน ดังแสดงในภาพที่ 22 และเมื่อนำมาประเมินปริมาณน้ำท่าโดยแบ่งออกเป็นช่วงน้ำหลา - แล้งฝน ดังแสดงในตารางที่ 6 ได้ผลการศึกษาดังนี้



ภาพที่ 22 ช่วงน้ำหลอกและแล้งฝนบริเวณพื้นที่ลุ่มน้ำขมตอนบน

ที่มา: สำนักพัฒนาอุตุนิยมวิทยา กรมอุตุนิยมวิทยา (2552ฯ)

ตารางที่ 6 สัดส่วนปริมาณน้ำท่าช่วงน้ำหลากระดับแล้งฝนบริเวณพื้นที่คุ่มน้ำยมตอนบน

ช่วงฤดู	เดือน	ปริมาณ น้ำฝน (มม.)	ปริมาณน้ำท่า (ลบ.ม.)		ร้อยละของน้ำท่า ต่อปริมาณน้ำฝน	
			ตรวจวัด	แบบจำลอง	ตรวจวัด	แบบจำลอง
น้ำหลากร น้ำท่าช่วงน้ำหลากร	เมษายน	97.64	7.60	9.03	1.03	1.32
	พฤษภาคม	142.99	29.34	31.46	3.96	4.59
	มิถุนายน	145.62	38.64	38.52	5.22	5.65
	กรกฎาคม	202.63	85.79	84.24	11.59	12.36
	สิงหาคม	238.45	224.85	223.12	30.37	32.74
	กันยายน	212.29	266.45	212.29	35.99	31.15
แล้งฝน น้ำท่าช่วงแล้งฝน	ตุลาคม	98.06	87.58	86.41	11.83	12.68
	รวมช่วงน้ำหลากร เฉลี่ย	1,137.69	740.24	685.08	89.38	89.78
		162.53	105.75	97.87	12.77	12.83
แล้งฝน น้ำท่าช่วงแล้งฝน	พฤษจิกายน	19.52	40.01	39.01	44.80	50.02
	ธันวาคม	8.76	20.36	11.06	22.80	14.18
	มกราคม	9.86	11.89	11.18	13.31	14.34
	กุมภาพันธ์	8.10	8.54	8.63	9.56	11.06
	มีนาคม	39.79	8.51	8.10	9.53	10.39
รวมช่วงแล้งฝน เฉลี่ย	รวมช่วงแล้งฝน	86.04	89.32	77.98	10.77	10.22
		17.21	17.86	15.60	2.15	2.04
รวมทั้งหมด เฉลี่ย	รวมทั้งหมด	1,223.73	829.56	763.05	67.79	62.35
		101.98	69.13	63.59	5.65	5.20

1.5.1 ช่วงน้ำหลากร (wet period)

จากตารางที่ 6 พบร่วมกันพื้นที่คุ่มน้ำยมตอนบนมีช่วงน้ำหลากรเริ่มตั้งแต่เดือนเมษายนถึงเดือนตุลาคม โดยปริมาณน้ำฝนรวมมีค่าเท่ากับ 1,137.69 มิลลิเมตร ปริมาณน้ำท่าที่ได้จากแบบจำลองในช่วงน้ำหลากรมีค่าเท่ากับ 685.08 ล้านลูกบาศก์เมตร คิดเป็นปริมาณน้ำท่าเท่ากับร้อยละ 89.78 ของปริมาณน้ำฝนรายปี ทั้งนี้ เพราะปริมาณน้ำฝนที่ตกลงมาจะสมดังแต่เดือน

พฤյกภค ทำให้มีความชื้นสะสมในดินสูง ดินจึงอิ่มตัวไปด้วยน้ำ เมื่อมีปริมาณน้ำฝนที่ตกลงมา สูงสุดในเดือนสิงหาคม น้ำฝนจึงไม่สามารถซึมผ่านลงไประในดินได้ จึงเกิดการไหลหลากริบเป็นน้ำท่า ส่งผลให้มีปริมาณน้ำท่าสูงสุดในเดือนสิงหาคม ซึ่งผลการศึกษาที่ได้มีความสอดคล้องกับค่าที่ได้จากการตรวจวัด โดยปริมาณน้ำท่าที่ได้จากการตรวจวัดในช่วงน้ำหลากมีค่าเท่ากับ 740.24 ล้านลูกบาศก์เมตร คิดเป็นปริมาณน้ำท่าเท่ากับร้อยละ 89.38 ของปริมาณน้ำฝนรายปี

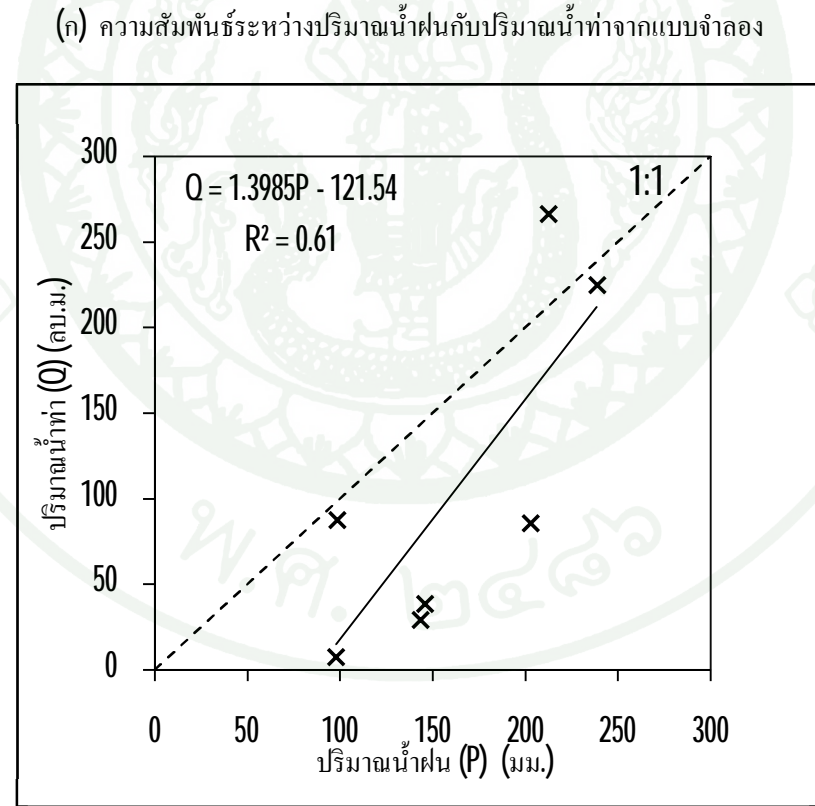
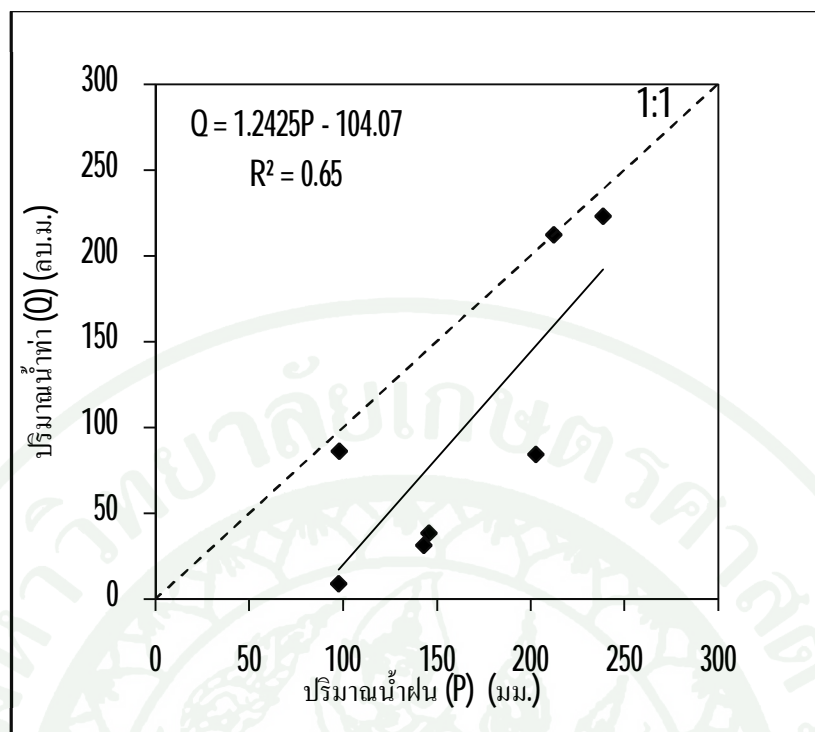
1.5.2 ช่วงแล้งฝน (dry period)

ช่วงแล้งฝนของพื้นที่ลุ่มน้ำยมดอนบนเริ่มตั้งแต่เดือนพฤษภาคมถึงเดือนมีนาคม โดยปริมาณน้ำฝนรวมมีค่าเท่ากับ 86.04 มิลลิเมตร ปริมาณน้ำท่าที่ได้จากการแบบจำลอง ในช่วงแล้งฝนมีค่าเท่ากับ 77.98 ล้านลูกบาศก์เมตร คิดเป็นปริมาณน้ำท่าเท่ากับร้อยละ 10.22 ของปริมาณน้ำฝนรายปี ซึ่งผลการศึกษาที่ได้มีความสอดคล้องกับค่าที่ได้จากการตรวจวัดโดยปริมาณน้ำท่าที่ได้จากการตรวจวัดในช่วงแล้งฝนมีค่าเท่ากับ 89.32 ล้านลูกบาศก์เมตร คิดเป็นปริมาณน้ำท่าเท่ากับร้อยละ 10.77 ของปริมาณน้ำฝนรายปี ซึ่งค่าปริมาณน้ำท่าที่ได้จากการแบบจำลองมีค่าสูงสุดและต่ำสุดสอดคล้องกับค่าที่ได้จากการตรวจวัด ซึ่งค่าปริมาณน้ำท่าสูงสุดที่ได้จากการแบบจำลองและจากการตรวจวัดอยู่ในเดือนพฤษภาคม ทั้งนี้เนื่องจากในช่วงแล้งฝนมีปริมาณน้ำฝนที่น้อยลงเมื่อปริมาณน้ำฝนที่ตกเริ่มลดลง ทำให้พื้นดินมีความชื้นลดลง น้ำบางส่วนจึงซึมลงสะสมไว้ ได้ดินทำให้ปริมาณน้ำลดลง และน้ำท่าที่ไหลต่อจากนั้นเป็นปริมาณน้ำที่สะสมอยู่ได้ดินที่ค่อยๆ ไหลซึมออกมาก ซึ่งปริมาณน้ำท่าที่ยังมีอยู่ในช่วงแล้งฝนนี้มีปัจจัยทางภูมิศาสตร์ของพื้นที่ลุ่มน้ำ การใช้ประโยชน์ที่ดิน และชนิดของดินในพื้นที่ลุ่มน้ำยมดอนบนเป็นตัวกำหนดสำคัญ

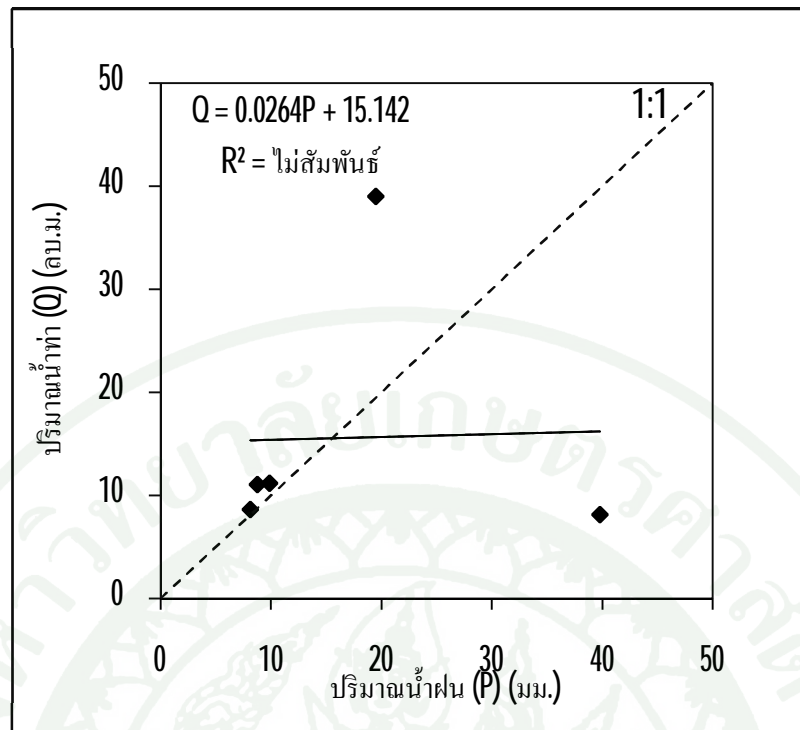
1.5.3 การวิเคราะห์ความสัมพันธ์ระหว่างปริมาณน้ำท่ากับปริมาณน้ำฝน

ก. ช่วงน้ำหลาก

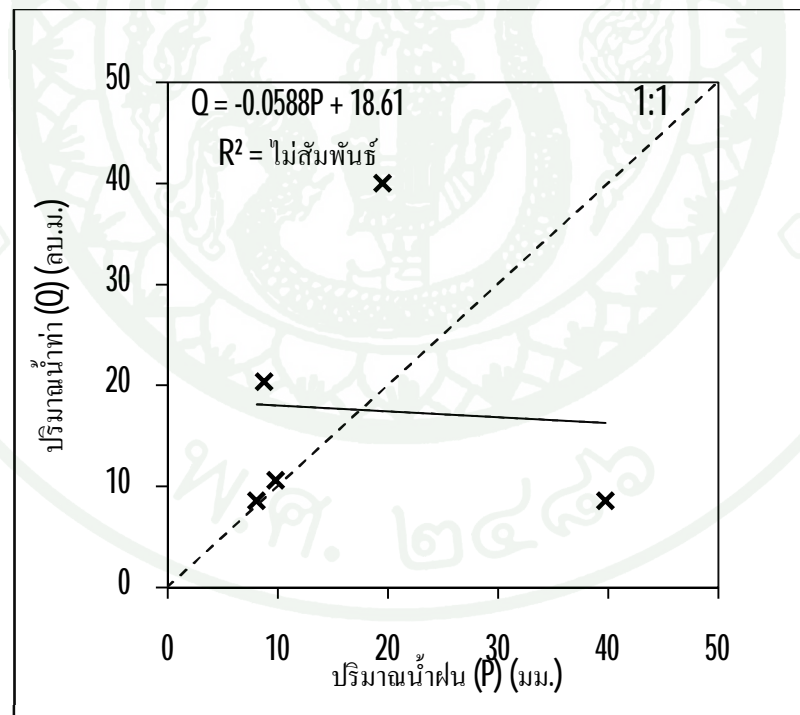
การวิเคราะห์ความสัมพันธ์ระหว่างปริมาณน้ำท่าที่ได้จากการแบบจำลอง และที่ได้จากการตรวจวัด ทั้งในช่วงน้ำหลาก - แล้งฝน พบร่วมความสัมพันธ์แบบเส้นตรง (*simple linear regression*) กับปริมาณน้ำฝน ดังแสดงในภาพที่ 23 และภาพที่ 24 ทั้งนี้ในช่วงน้ำหลากความสัมพันธ์ของปริมาณน้ำฝนกับปริมาณน้ำท่าที่ได้จากการแบบจำลองมีระดับความสัมพันธ์อยู่ในระดับปานกลาง



ภาพที่ 23 ความสัมพันธ์ระหว่างปริมาณน้ำฝนกับปริมาณน้ำท่าจากแบบจำลอง และการตรวจวัดช่วงน้ำหลัก



(ก) ความสัมพันธ์ระหว่างปริมาณน้ำฝนกับปริมาณน้ำท่าจากแบบจำลอง



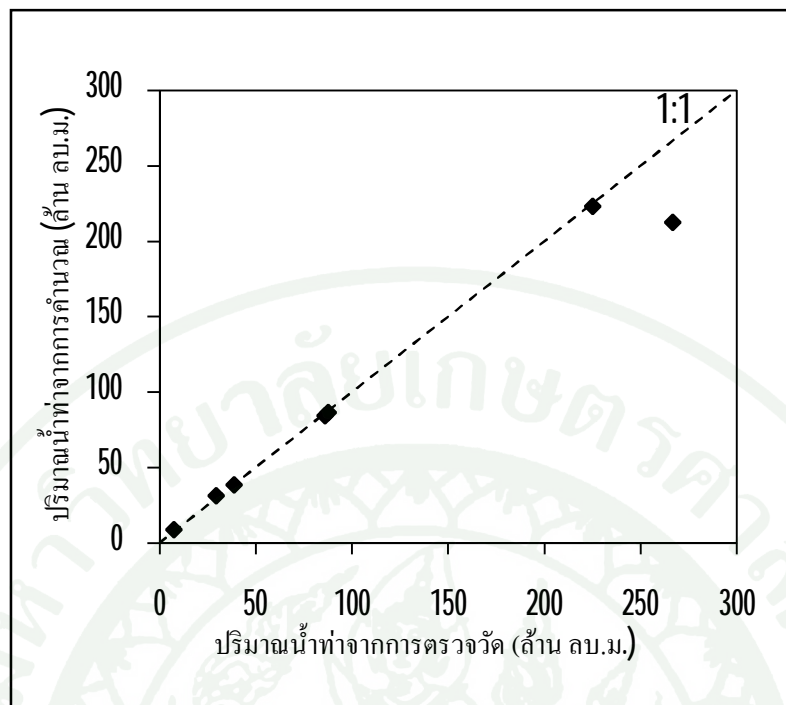
(ข) ความสัมพันธ์ระหว่างปริมาณน้ำฝนกับปริมาณน้ำท่าจากการตรวจวัด

ภาพที่ 24 ความสัมพันธ์ระหว่างปริมาณน้ำฝนกับปริมาณน้ำท่าจากแบบจำลอง และการตรวจวัดช่วงแล้งฝน

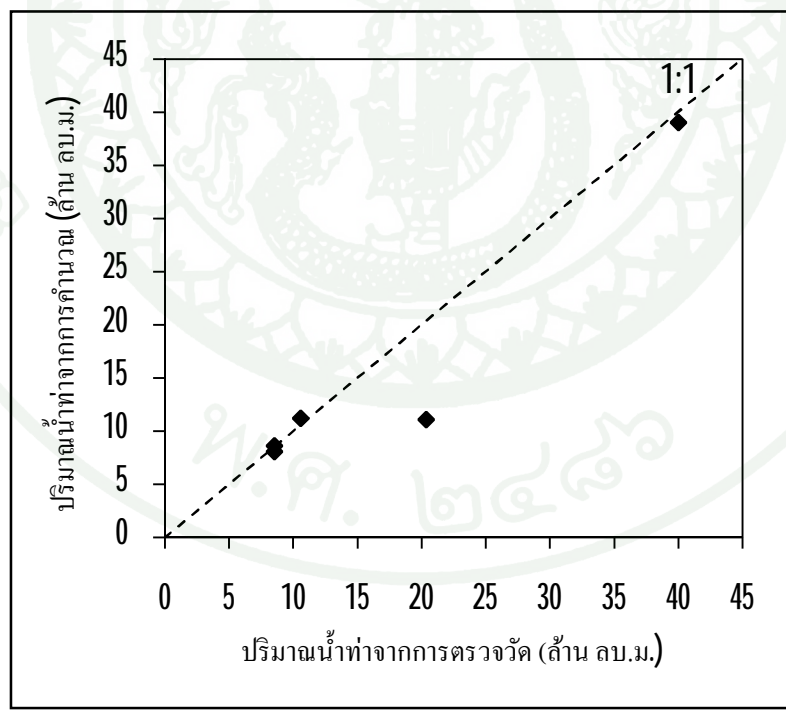
โดยมีค่าสัมประสิทธิ์ตัวกำหนด (R^2) เท่ากับ 0.65 ซึ่งในช่วงน้ำหลอกนี้ถึงแม้มีปริมาณน้ำฝนจะมาก แต่ปริมาณน้ำท่าในช่วงน้ำหลอกนี้ไม่ได้ขึ้นอยู่กับปัจจัยจากปริมาณน้ำฝนเพียงอย่างเดียว ปริมาณน้ำท่าที่ได้ยังขึ้นอยู่กับปัจจัยทางภูมิศาสตร์ของพื้นที่ลุ่มน้ำ สภาพการใช้ประโยชน์ที่ดิน และชนิดของดินเป็นตัวกำหนดด้วย ซึ่งจากการศึกษาของพงษ์ศักดิ์ (2518) พบว่าลุ่มน้ำขนาดเล็กป่าดิบเขากอยปุยปริมาณน้ำฝนเป็นปัจจัยสำคัญอันดับแรกที่ให้ปริมาณน้ำท่าโดยตรงเมื่อมีฝนตกมากกว่า 20 มิลลิเมตร ส่วนเพิ่มศักดิ์ (2522) ศึกษาพบว่าปริมาณน้ำในป่าดิบเขารมชาติทางภาคเหนือของประเทศไทย ปริมาณน้ำมาจากการฝนถึงประมาณร้อยละ 65 ของปริมาณฝนที่ตกทั้งหมด แต่ในบางพื้นที่ถึงแม่ปริมาณฝนมาก แต่เนื่องจากลักษณะภูมิประเทศ และปัจจัยอื่น ๆ ไม่เอื้ออำนวย ปริมาณน้ำอาจน้อยได้ ซึ่งสอดคล้องกับนิพนธ์ (2527) ที่กล่าวว่าในช่วงน้ำฝนที่ตกมีอิทธิพลต่อปริมาณน้ำในช่วงน้ำหลอกมากกว่าน้ำฝนในช่วงแล้งฝน และการที่ฝนตกลงมาครั้งหนึ่ง ๆ กลายเป็นน้ำท่าได้มากน้อยเพียงใดยังขึ้นอยู่กับปัจจัยหลายประการด้วยกัน เช่น สภาพภูมิประเทศ พืชพรรณที่ปกคลุม อัตราการซึมนำผ่านผิวดิน ความสามารถในการเก็บกักน้ำของดิน การใช้ประโยชน์ที่ดิน และลักษณะการระบายน้ำ เป็นต้น เมื่อนำมาวิเคราะห์ความสัมพันธ์รายปี ปริมาณน้ำฝนจึงมีอิทธิพลต่อการเกิดปริมาณน้ำท่าเพียงร้อยละ 65 ซึ่งค่าระดับความสัมพันธ์ที่ได้มีค่าใกล้เคียงกับการใช้ข้อมูลจากการตรวจวัดจริงสำหรับความสัมพันธ์ระหว่างปริมาณน้ำท่ากับปริมาณน้ำฝน โดยมีค่าระดับความสัมพันธ์ในระดับปานกลางใกล้เคียงกัน โดยมีค่าสัมประสิทธิ์ตัวกำหนด (R^2) เท่ากับ 0.61 ซึ่งความสัมพันธ์ระหว่างปริมาณน้ำฝนกับปริมาณน้ำท่าจากการตรวจวัดก็มีแนวโน้มเช่นเดียวกันกับค่าจากแบบจำลอง โดยปริมาณน้ำฝนมีอิทธิพลต่อการเกิดปริมาณน้ำท่าที่ได้จากการตรวจวัดร้อยละ 61 และผลการทดสอบความถูกต้องของแบบจำลอง ดังแสดงในภาพที่ 25 พบว่า มีค่าความถูกต้องเท่ากับร้อยละ 97

ข. ช่วงแล้งฝน

ความสัมพันธ์ระหว่างปริมาณน้ำฝนกับปริมาณน้ำท่าจากแบบจำลอง และความสัมพันธ์ของปริมาณน้ำฝนกับปริมาณน้ำท่าจากการตรวจวัด ในช่วงแล้งฝน พบว่าไม่มีความสัมพันธ์ซึ่งกันและกัน เนื่องจากปริมาณน้ำฝนมีปริมาณที่น้อยมาก และปริมาณน้ำท่าที่ยังมีอยู่ในช่วงแล้งฝนนี้มีปัจจัยทางภูมิศาสตร์ของพื้นที่ลุ่มน้ำ สภาพการใช้ประโยชน์ที่ดิน และชนิดของดินในพื้นที่ลุ่มน้ำ影响ดอนบนเป็นตัวกำหนดสำคัญ และผลการทดสอบความถูกต้องของแบบจำลองพบว่า มีค่าความถูกต้องเท่ากับร้อยละ 91 ซึ่งจากการศึกษาของดวงรัตน์ (2540) ศึกษาพบว่าปัจจัยทางภูมิศาสตร์ของลุ่มน้ำมีอิทธิพลอย่างมีนัยสำคัญต่อปริมาณน้ำท่าและการไหลของน้ำในลุ่มน้ำ



(ก) ช่วงน้ำหลัก



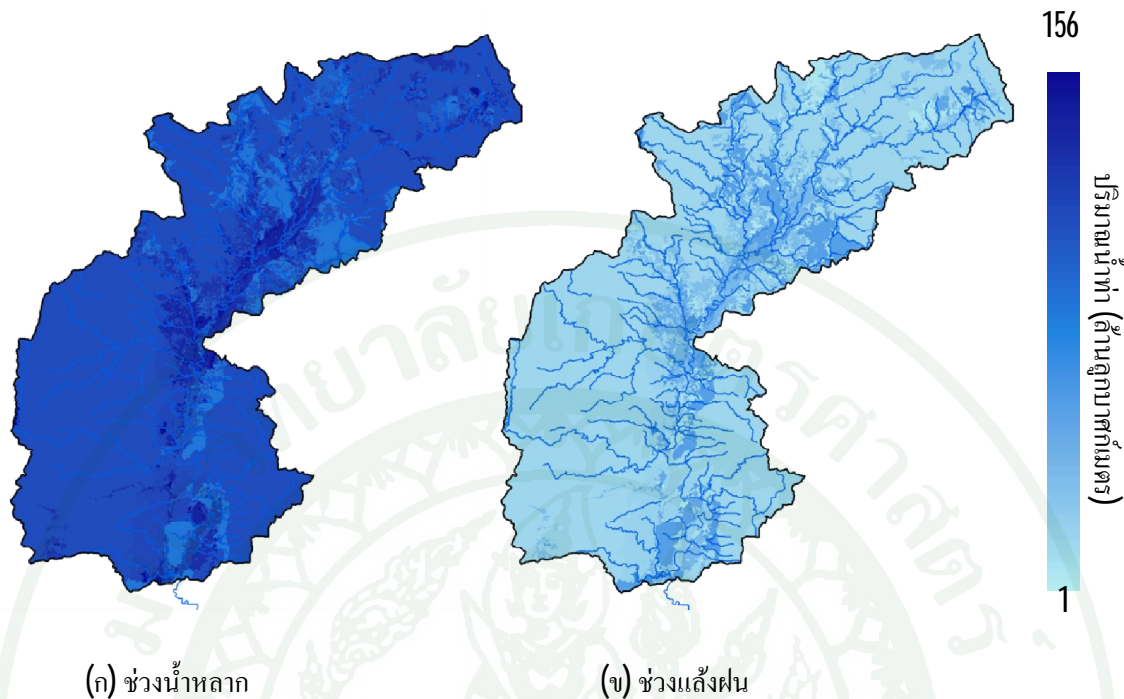
(ก) ช่วงแล้งฝน

ภาพที่ 25 การทดสอบความถูกต้องของแบบจำลองในช่วงน้ำหลัก-แล้งฝน

ภาคเหนือประมาณร้อยละ 50 โดยปัจจัยความลาดชันของลุ่มน้ำ ความคงดีของลำธาร และขนาดพื้นที่ลุ่มน้ำ เป็นปัจจัยสำคัญที่ควบคุมการไหลและปริมาณน้ำในช่วงแล้งฝนตามลำดับ ซึ่งสอดคล้องสอดคล้องกับโภเมธ (2535) ที่ศึกษาพบว่าลุ่มน้ำที่มีความคงดีของลำธารสูงจะช่วยชะลอการไหลของน้ำในช่วงน้ำหลาก จึงยังคงมีน้ำเหลืออยู่ในช่วงแล้งฝนมาก ส่วนเกณฑ์ (2539) และ นิรัติ (2547) กล่าวว่า ขนาดพื้นที่ลุ่มน้ำอาจมีอิทธิพลในการควบคุมอัตราการไหลของน้ำในลำธารได้บ้าง ซึ่งเป็นอิทธิพลทางอ้อม คือ ลุ่มน้ำขนาดใหญ่มีแนวโน้มที่ให้น้ำในลำธารอย่างสม่ำเสมอตลอดปี เนื่องจากลุ่มน้ำขนาดใหญ่มีพื้นที่กว้าง ทำให้มีคุณสมบัติในการเก็บกักน้ำแตกต่างกันไปตามปัจจัยต่าง ๆ เช่น พืชพรรณที่ปกคลุมพื้นที่ ลักษณะสัณฐานลุ่มน้ำ และลักษณะการตกของฝน ซึ่งในพื้นที่ลุ่มน้ำขนาดใหญ่มีความหลากหลายมากกว่าลุ่มน้ำขนาดเล็ก ทำให้พื้นที่ลุ่มน้ำขนาดใหญ่มีน้ำระบายนลัญญา ลดลง สำหรับลุ่มน้ำขนาดใหญ่ที่จะแห้งขอดก่อนลุ่มน้ำขนาดใหญ่ ลุ่มน้ำขนาดใหญ่มักมีรูปร่างเป็นแบบรูปพัดหรือรูปกลมรี ส่วนลุ่มน้ำขนาดเล็กจะมีรูปร่างไม่แน่นอน จึงทำให้ความสามารถในการระบายน้ำแตกต่างกัน และสูนันทา (2531) ได้ศึกษาริเวณลุ่มน้ำปิงและวัง พบว่า ขนาดของพื้นที่ลุ่มน้ำ มีอิทธิพลต่อปริมาณน้ำในลำธาร กล่าวคือ ขนาดของพื้นที่ลุ่มน้ำที่มีขนาดใหญ่ขึ้นทำให้ปริมาณน้ำท่ามากขึ้น ส่วนนิพนธ์ (2542) กล่าวว่า น้ำท่าที่ไหลในลำธาร ในช่วงเวลาหลังฤดูฝนนั้น ขึ้นอยู่กับสมบัติของดินในการควบคุมการไหลของน้ำได้ผิด din ซึ่งสมรรถนะการอุ้มน้ำของดินในปัจจุบันมากขึ้น แต่ต้องมีการดูแลดินอย่างต่อเนื่อง ลดลงจนถึงชั้นล่างสุด ทั้งนี้เป็นเพราะว่าปริมาณอินทรียะต่ำที่มีมากเป็นปัจจัยสำคัญที่ช่วยให้ดินอุ้มน้ำสูงขึ้น แต่ถ้าดินลึกมากเกิน 100 เซนติเมตร ขึ้นไปแล้ว ความชื้นในดินจะมีมากขึ้น ทั้งนี้เป็นเพราะอินทรียะต่ำขนาดเล็กและดินหนี่งช่วยให้มีการอุ้มน้ำเพิ่มขึ้น และจร (2540) ศึกษาพบว่าการเปลี่ยนแปลงการใช้ประโยชน์ที่ดินในพื้นที่ลุ่มน้ำยังมีผลทำให้ปริมาณน้ำท่าในช่วงแล้งฝนลดลงและมีช่วงเวลาการไหลที่ยาวนานออกไป

1.5.4 การวิเคราะห์ปริมาณน้ำท่าเชิงพื้นที่ช่วงน้ำ高涨 - แล้งฝน

การวิเคราะห์ข้อมูลเชิงพื้นที่เพื่อจัดทำแผนที่ปริมาณน้ำท่าเฉลี่ยที่ได้จากการจำลองทั้งในช่วงน้ำ高涨 - แล้งฝน โดยการนำข้อมูลปริมาณน้ำท่าที่ประเมินได้ในแต่ละช่วงเดือน ซึ่งเป็นข้อมูลแบบเวกเตอร์ (vector) มาแปลงเป็นข้อมูลแบบราสเตอร์ (raster) ที่มีขนาดคริด 25×25 เมตร ดังแสดงในภาพที่ 26 พบว่าในช่วงน้ำ高涨 ปริมาณน้ำท่าสูงสุดมีค่าเท่ากับ 155.91 ล้านลูกบาศก์เมตร ปริมาณน้ำท่าต่ำสุดมีค่าเท่ากับ 33.67 ล้านลูกบาศก์เมตร และปริมาณน้ำท่าเฉลี่ยมีค่าเท่ากับ 99.74 ล้านลูกบาศก์เมตร ซึ่งปริมาณน้ำท่าในแต่ละคริดมีค่าที่แตกต่างกันไปตามค่าปริมาณน้ำฝน และค่า CN ซึ่งแปรผันไปตามกลุ่มชุดดินทางอุทกวิทยาและการใช้ประโยชน์ที่ดินที่



ภาพที่ 26 ปริมาณน้ำท่าเฉลี่ยจากแบบจำลอง SCS-CN ในช่วงน้ำหลัก-แล้งฝน บริเวณพื้นที่คุ่มน้ำ ยมต่อนบน

แตกต่างกันในพื้นที่คุ่มน้ำยมต่อนบน ซึ่งกริดที่มีค่าปริมาณน้ำท่าสูงส่วนใหญ่ จัดอยู่ในกลุ่มชุดคินทางอุทกวิทยา กลุ่ม D ซึ่งส่วนใหญ่เป็นดินเหนียว เนื้อดินมีความละเอียด รูพรุนมีขนาดเล็ก มีอัตราการซึมน้ำได้ต่ำ และมีการระบายน้ำไม่ค่อยดีและสัมพันธ์กับการใช้ประโยชน์ที่ดินที่เป็นพื้นที่เกษตรกรรม เมื่อมีฝนตกสะสมในปริมาณที่มาก จึงทำให้ดินไม่สามารถซึมน้ำได้ทันน้ำท่าจึงมีปริมาณมาก ส่วนกริดที่มีค่าปริมาณน้ำท่าต่ำส่วนใหญ่จัดอยู่ในกลุ่มชุดคินทางอุทกวิทยา กลุ่ม B ซึ่งส่วนใหญ่เป็นดินร่วนปนทราย เนื้อดินมีความละเอียดปานกลางถึงหยาบปานกลาง ดินมีรูพรุนขนาดใหญ่กว่าดินเหนียว มีอัตราการซึมน้ำได้ปานกลาง มีการระบายน้ำดีปานกลาง และมีการใช้ประโยชน์ที่ดินเป็นพื้นที่ป่าไม้ ซึ่งป่าไม้มีส่วนช่วยชะลอความเร็วของน้ำไหลบ่าหน้าดิน และเพิ่มสมรรถนะการซึมน้ำผ่านผิวดินในอัตราที่สูง โดยทำให้ดินเกิดการร่วนซุยและเพิ่มรูพรุนของดินทำให้มีอัตราการซึมน้ำผ่านผิวดินได้เร็วและดูดซับน้ำไว้ได้ดีมาก จากนั้นจึงค่อย ๆ ปลดปล่อยสู่ลำธาร

ในช่วงแล้งฝน ปริมาณน้ำท่าสูงสุดมีค่าเท่ากับ 12.57 ล้านลูกบาศก์เมตร ปริมาณน้ำท่าต่ำสุดมีค่าเท่ากับ 1.47 ล้านลูกบาศก์เมตร และปริมาณน้ำท่าเฉลี่ยมีค่าเท่ากับ 3.31 ล้านลูกบาศก์เมตร ซึ่งการให้ปริมาณน้ำท่าในแต่ละกริดมีลักษณะเช่นเดียวกันในช่วงน้ำหลาก

2. ลักษณะทางอุทกวิทยาในพื้นที่ลุ่มน้ำยมตอนบน

การศึกษาลักษณะทางอุทกวิทยาของลุ่มน้ำ ซึ่งได้แก่ ปริมาณและช่วงเวลาการไหลของน้ำ ในลำน้ำ สามารถบอกให้ทราบถึงสภาพของลุ่มน้ำคือพื้นที่ลุ่มน้ำที่มีสภาพเดิมก็มีน้ำไหลในลำน้ำ ตลอดปี ส่วนพื้นที่ลุ่มน้ำที่มีสภาพเดิมก็มีน้ำไหลในลำน้ำไม่มากนักหรือมีมากจนเกิดอุทกวัยในฤดูฝน และประสบปัญหาการขาดแคลนน้ำในฤดูแล้ง ซึ่งในการศึกษาดักจับทางอุทกวิทยามีดังนี้ ที่ใช้บ่งบอกลักษณะทางอุทกวิทยา 3 ดัชนี ได้แก่ 1) ค่าร้อยละของปริมาณน้ำท่าต่อปริมาณน้ำฝน 2) ค่าร้อยละของช่วงน้ำหลากต่อแล้งฝน (wet flow:dry flow) และ 3) ช่วงเวลาการไหลช่วงน้ำหลากต่อแล้งฝน ซึ่งทั้ง 3 ดัชนีสามารถบอกสถานภาพทางอุทกวิทยาของพื้นที่ลุ่มน้ำได้ และจาก การใช้แบบจำลอง SCS-CN สามารถบอกลักษณะทางอุทกวิทยาได้ดังแสดงในตารางที่ 7 ซึ่งอธิบายได้ดังนี้

ตารางที่ 7 ลักษณะทางอุทกวิทยาริเวณพื้นที่ลุ่มน้ำยมตอนบน

ลักษณะทางอุทกวิทยา	ปริมาณ น้ำฝน (มม.)	ปริมาณน้ำท่า			
		ล้านลูกบาศก์เมตร		ร้อยละของน้ำท่าต่อน้ำฝน	
		แบบจำลอง	ตรวจวัด	แบบจำลอง	ตรวจวัด
ร้อยละของปริมาณน้ำท่าต่อ ปริมาณน้ำฝน	1,223.73	768.43	829.56	62.79	67.79
ร้อยละของช่วงน้ำหลากต่อ ช่วงแล้งฝน				89:11	89:11
ช่วงเวลาการไหลช่วงน้ำหลาก ต่อช่วงแล้งฝน (เดือน)			7:5		

2.1 ค่าร้อยละของปริมาณน้ำท่าต่อปริมาณน้ำฝน

จากตารางที่ 7 พบว่าปริมาณน้ำฝนที่ได้จากการนำข้อมูลสถิติปริมาณน้ำฝนในรอบ 15 ปี จากสถานีวัดปริมาณน้ำฝนที่อยู่ในพื้นที่และใกล้เคียงจำนวน 6 สถานี เนื่องด้วยความน้ำหนักพื้นที่ โดย วิธีไซส์เสน (Thiessen method) มีปริมาณน้ำฝนเฉลี่ยรายปีเท่ากับ $1,223.73$ มิลลิเมตร ปริมาณน้ำท่าจากแบบจำลอง พบว่ามีปริมาณน้ำท่ารายปีเฉลี่ย 768.43 ล้านลูกบาศก์เมตร คิดเป็นปริมาณน้ำท่าเท่ากับร้อยละ 62.79 ของปริมาณน้ำฝนรายปี โดยปริมาณน้ำส่วนที่เหลือจากปริมาณน้ำท่าเป็นน้ำในส่วนที่สูญเสียไปในกระบวนการการคายระเหย และน้ำส่วนที่เหลือจะไหลลงไปเป็นน้ำได้ใน บางส่วนสะสมอยู่ในรูปความชื้นในดินและระเหยไปในอากาศ เมื่อเปรียบเทียบกับพื้นที่ลุ่มน้ำแม่น้ำ อำเภอร่องกว้าง จังหวัดแพร่ ซึ่งเป็นลุ่มน้ำที่อยู่ใกล้เคียง พบว่าลุ่มน้ำแม่น้ำ อำเภอราษฎร์บูรณะ จังหวัดเชียงใหม่ คิดเป็นปริมาณน้ำท่ารายปีเฉลี่ย $1,325.60$ มิลลิเมตร ปริมาณน้ำท่ารายปีเฉลี่ยเท่ากับ 41.28 ล้านลูกบาศก์เมตร คิดเป็นปริมาณน้ำท่าเท่ากับร้อยละ 25.58 ของปริมาณน้ำฝนรายปี ค่าร้อยละของปริมาณน้ำท่าต่อปริมาณน้ำฝนของลุ่มน้ำแม่น้ำ จัดอยู่ในสถานภาพเสี่ยงภัย (ภาควิชาอนุรักษ์วิทยา, 2552) เมื่อพิจารณาสถานภาพทางอุทกวิทยาของลุ่มน้ำที่มีน้ำท่วมต่อนบน โดยใช้เกณฑ์การประเมินสถานภาพทางอุทกวิทยาของลุ่มน้ำแม่น้ำ ดังแสดงในตารางที่ 8 พบว่าค่าร้อยละของปริมาณน้ำท่าต่อปริมาณน้ำฝนของลุ่มน้ำที่มีน้ำท่วมต่อนบน ทั้งที่ได้จากแบบจำลองและจากการตรวจวัด จัดอยู่ในสถานภาพสมดุล โดยที่ค่าร้อยละของปริมาณน้ำท่าต่อปริมาณน้ำฝนของลุ่มน้ำที่มีน้ำท่วมต่อนบน และลุ่มน้ำแม่น้ำที่ไม่มีค่าต่างกันมาก เนื่องมาจากมีขนาดพื้นที่ลุ่มน้ำที่ไม่เท่ากัน โดยลุ่มน้ำที่มีน้ำท่วมต่อนบนมีพื้นที่ $1,155.23$ ตารางกิโลเมตร ส่วนลุ่มน้ำแม่น้ำมีพื้นที่เพียง 127.50 ตารางกิโลเมตร

2.2 ค่าร้อยละของช่วงน้ำหลักต่อช่วงแล้งฝน (wet flow:dry flow)

พื้นที่ลุ่มน้ำที่มีน้ำท่วมต่อนบนมีช่วงน้ำหลัก (wet period) ระหว่างเดือนเมษายนถึงเดือนตุลาคม และช่วงแล้งฝน (dry period) ระหว่างเดือนพฤษภาคมถึงเดือนมีนาคม (ตารางที่ 7) ซึ่งข้อมูลจากแบบจำลอง ปริมาณน้ำท่าช่วงน้ำหลักมีค่าเท่ากับ 685.08 ล้านลูกบาศก์เมตร ปริมาณน้ำท่าช่วงแล้งฝนมีค่าเท่ากับ 77.98 ล้านลูกบาศก์เมตร คิดเป็นค่าร้อยละของช่วงน้ำหลักต่อช่วงแล้งฝนเท่ากับ $89:11$ ซึ่งจะเห็นได้ว่าในพื้นที่ลุ่มน้ำที่มีน้ำท่วมต่อนบนมีปริมาณน้ำในช่วงน้ำหลักที่มาก พอกเพียงและบางครั้งอาจเกิดปัญหาน้ำท่วมได้ ส่วนในช่วงแล้งฝน มีปริมาณน้ำน้อยเกินไปจนอาจเกิดปัญหาการขาดแคลนน้ำ เนื่องจากสภาพภูมิประเทศ ปริมาณน้ำฝน ชนิดของดินและการใช้ประโยชน์ที่ดิน รวมไปถึงแหล่งกักเก็บน้ำ มีอิทธิพลต่อการเกิดปัญหาน้ำท่วม และการขาดแคลนน้ำในพื้นที่ลุ่มน้ำได้ เมื่อเปรียบเทียบกับพื้นที่ลุ่มน้ำแม่น้ำ อำเภอร่องกว้าง จังหวัดแพร่ พบว่าลุ่มน้ำ

ตารางที่ 8 เกณฑ์คะแนนที่ใช้ในการประเมินสถานภาพทางอุทกวิทยา

สถานภาพ	คะแนน	ปริมาณน้ำท่า		ช่วงเวลาการไหล (เดือน)
		ค่าร้อยละของ ปริมาณน้ำท่า:ปริมาณน้ำฝน	ช่วงน้ำหลัก:แล้งฝน	
สมดุล	4	มากกว่า 40	60 - 69.99 : 30 - 39.99	ตลอดปี
เตือนภัย	3	30 - 40	70 - 79.99 : 20 - 29.99	9 - 11
เสี่ยงภัย	2	20 - 30	80 - 89.99 : 10 - 19.99	6 - 9
วิกฤติ	1	น้อยกว่า 20	90 - 100 : 0 - 9.99	น้อยกว่า 6

ที่มา: ภาควิชาอนุรักษ์วิทยา (2552)

แม่ถังมีช่วงน้ำหลัก - แล้งฝน อยู่ในช่วงเดียวกันกับคุณน้ำยามต่อนบน คือมีช่วงน้ำหลัก (wet period) ระหว่างเดือนเมษายนถึงเดือนตุลาคม และช่วงแล้งฝน (dry period) ระหว่างเดือนพฤษจิกายนถึงเดือนมีนาคม ปริมาณน้ำท่าช่วงน้ำหลักมีค่าเท่ากับ 37.44 ล้านลูกบาศก์เมตร ปริมาณน้ำท่าช่วงแล้งฝนมีค่าเท่ากับ 3.84 ล้านลูกบาศก์เมตร คิดเป็นค่าร้อยละของช่วงน้ำหลัก ต่อช่วงแล้งฝนเท่ากับ 91.9 จุดอยู่ในสถานภาพวิกฤติ เนื่องจากมีศักยภาพในการให้น้ำท่าต่ำ คือมีปริมาณน้ำท่าประมาณร้อยละ 25.58 ของปริมาณน้ำฝน โดยเฉพาะช่วงแล้งฝนมีปริมาณน้ำท่าเพียงประมาณร้อยละ 9 ของปริมาณน้ำท่าทั้งปี (ภาควิชาอนุรักษ์วิทยา, 2552) เมื่อพิจารณาสถานภาพทางอุทกวิทยาของคุณน้ำยามต่อนบน โดยใช้เกณฑ์การประเมินสถานภาพทางอุทกวิทยาของคุณน้ำ แม่ถัง พบว่าค่าร้อยละของช่วงน้ำหลักต่อช่วงแล้งฝน (wet flow:dry flow) ของคุณน้ำยามต่อนบน ทั้งที่ได้จากการแบบจำลองและการตรวจวัด จุดอยู่ในสถานภาพเสี่ยงภัย

2.3 ช่วงเวลาการไหลช่วงน้ำหลักต่อช่วงแล้งฝน

จากตารางที่ 7 พบว่าในพื้นที่คุณน้ำยามต่อนบน มีช่วงเวลาการไหลของช่วงน้ำหลักต่อช่วงแล้งฝนอยู่ในช่วง 7:5 เดือน ซึ่งหมายถึงว่ามีช่วงน้ำหลัก 7 เดือน คือระหว่างเดือนเมษายนถึงเดือนตุลาคม และช่วงแล้งฝน 5 เดือน ซึ่งจะเห็นได้ว่ามีปริมาณน้ำไหลอยู่ตลอดทั้งปี โดยในช่วงแล้งฝน น้ำท่าที่ไหลอยู่เป็นปริมาณน้ำที่สะสมอยู่ได้ดินที่ค่อย ๆ ไหลซึมออกมานะ ซึ่งปัจจัยทางภูมิศาสตร์ของพื้นที่คุณน้ำ สภาพการใช้ประโยชน์ที่ดิน และชนิดของดินเป็นปัจจัยที่影响 ปริมาณน้ำท่าช่วงแล้งฝนด้วย ซึ่งเมื่อเปรียบเทียบกับพื้นที่คุณน้ำแม่ถัง อำเภอร่องกรุง จังหวัด

พร พบว่าลุ่มน้ำแม่ถ่างมีช่วงเวลาการไหลของช่วงน้ำหลักต่อช่วงแล้งฝน อุปักรณ์ในช่วง 7:5 เดือน เช่นเดียวกับลุ่มน้ำยมตอนบน เมื่อพิจารณาสถานภาพทางอุทกวิทยาของลุ่มน้ำยมตอนบน โดยใช้เกณฑ์การประเมินสถานภาพทางอุทกวิทยาของลุ่มน้ำแม่ถ่าง พบว่าช่วงเวลาการไหลช่วงน้ำหลัก ต่อช่วงแล้งฝนของลุ่มน้ำยมตอนบน ที่สุดได้จากแบบจำลองและการตรวจวัด จัดอยู่ในสถานภาพสมดุลเนื่องจากมีน้ำไหลอยู่ตลอดทั้งปี เช่นเดียวกันกับลุ่มน้ำแม่ถ่าง (ภาควิชาอนุรักษ์วิทยา, 2552)

2.4 การประเมินสถานภาพทางอุทกวิทยาของลุ่มน้ำยมตอนบน

การประเมินสถานภาพทางอุทกวิทยาของลุ่มน้ำยมตอนบน เป็นการเบริယบเทียบค่าดัชนีทางอุทกวิทยาที่ประเมินได้จากแบบจำลอง SCS-CN กับเกณฑ์การประเมินสถานภาพทางอุทกวิทยาในพื้นที่ลุ่มน้ำแม่ถ่าง อำเภอรือวงศ์ จังหวัดแพร ซึ่งมีรายละเอียดดังต่อไปนี้

2.4.1 ดัชนีชี้สถานภาพทางอุทกวิทยา โดยพิจารณาจากดัชนีชี้วัดสถานภาพของลุ่มน้ำจากปริมาณน้ำท่า และช่วงเวลาการไหลของน้ำ ซึ่งมีรายละเอียด ดังนี้

ก. ปริมาณน้ำท่า ซึ่งสามารถบอกให้ทราบถึงสถานภาพลุ่มน้ำได้ คือลุ่มน้ำที่มีสถานภาพที่ดีในด้านอุทกวิทยานั้น ต้องมีปริมาณน้ำที่พอเพียงแก่ความต้องการไม่มากและไม่น้อยเกินไป เช่น ในฤดูแล้งมีน้ำใช้โดยไม่เกิดการขาดแคลน ล่วงในช่วงฤดูฝนก็ไม่เกิดปัญหาอุทกวิทยาเป็นต้น ซึ่งปริมาณน้ำท่าที่เกิดขึ้นในพื้นที่ลุ่มน้ำนั้นมีปัจจัยหลักที่เกิดขึ้นจากปริมาณน้ำฝน โดยมีปัจจัยทางภูมิศาสตร์ของพื้นที่ลุ่มน้ำ สภาพการใช้ประโยชน์ที่ดิน และชนิดของดิน เป็นปัจจัยที่เอื้ออำนวยต่อปริมาณน้ำท่าร่วมด้วย

ก. ช่วงเวลาการไหลของน้ำ ต้องมีน้ำไหลในระยะเวลาที่พอเหมาะสมกับ คือต้องมีน้ำใช้ในเวลาที่ต้องการใช้ โดยให้มีน้ำไหลอย่างสม่ำเสมอตลอดทั้งปี

2.4.2 การกำหนดสถานภาพทางอุทกวิทยา โดยกำหนดลักษณะของสถานภาพทางอุทกวิทยาของลุ่มน้ำออกเป็น 4 ระดับ ได้แก่ สถานภาพสมดุล สถานภาพเดือนภัย สถานภาพเสี่ยงภัย และสถานภาพวิกฤติ รายละเอียดดังแสดงในตารางที่ 9

ตารางที่ 9 การกำหนดสถานภาพทางอุทกวิทยา

สถานภาพ	ลักษณะของสถานภาพ
สมดุล	<ul style="list-style-type: none"> - ปริมาณ เพียงพอและไม่ก่อให้เกิดความเสียหาย - ช่วงเวลาการ ให้ผล มีน้ำให้ลดลง
เดือนภัย	<ul style="list-style-type: none"> - ปริมาณ น้ำมีปริมาณลดลง แต่ยังมีอยู่หรือมีมากเกินไปแต่ไม่เกิดความเสียหายมาก - ช่วงเวลาการ ให้ผล ในลำหัวขายน้ำในหน้าแล้ง (ระยะเวลาสั้น ๆ) มีน้ำท่วมเล็กน้อยในช่วงฤดูฝน
ເລື່ອງກັຍ	<ul style="list-style-type: none"> - ปริมาณ น้ำลดลงมาก ไม่มีน้ำในฤดูแล้ง ส่วนในฤดูฝนอาจเกิดน้ำท่วมมากจนเกิดความเสียหายต่อพื้นที่ - ช่วงเวลาการ ให้ผล มีน้ำในช่วงระยะเวลาสั้น ๆ คือฤดูฝน
วิกฤติ	<ul style="list-style-type: none"> - ปริมาณ มีน้ำให้เฉพาะขณะและหลังฝนตก - ช่วงเวลาการ ให้ผล น้ำจะ ให้ผลผ่านไปอย่างรวดเร็วจนทำให้มีน้ำเหลือไว้ใช้ประโยชน์ หรือไม่มีเหลือในลำหัว

ที่มา: ภาควิชาอนุรักษ์วิทยา (2552)

2.4.3 กำหนดเกณฑ์คะแนนสถานภาพทางอุทกวิทยา โดยได้แบ่งคะแนนสถานภาพทางอุทกวิทยาของลุ่มน้ำตั้งแต่คะแนน **1.00 – 4.00** ตามสถานภาพทั้ง 4 สถานภาพ ดังแสดงในตารางที่ 10

2.4.4 การประเมินสถานภาพด้านปริมาณน้ำท่า และช่วงเวลาการ ให้ผลของน้ำ โดยมีวิธีการดังต่อไปนี้

ก. ประเมินค่าคะแนนด้านปริมาณน้ำ และช่วงเวลาการ ให้ผลของน้ำ โดยนำผลการศึกษาด้านปริมาณน้ำท่า และช่วงเวลาการ ให้ผลของน้ำที่ประเมินได้จากแบบจำลอง SCS-CN มาเปรียบเทียบกับเกณฑ์คะแนนที่ใช้การประเมินสถานภาพทางอุทกวิทยา ดังแสดงในตารางที่ 11

ตารางที่ 10 เกณฑ์ค่าคะแนนสถานภาพทางอุทกวิทยา

สถานภาพ	คะแนนสถานภาพ
สมดุล	3.70 – 4.00
เตือนภัย	2.70 – 3.69
เสี่ยงภัย	1.70 – 2.69
วิกฤติ	1.00 – 1.69

ที่มา: ภาควิชาอนุรักษ์วิทยา (2552)

ตารางที่ 11 ค่าคะแนนด้านปริมาณน้ำท่า และช่วงเวลาการไหลของน้ำ

ดัชนี	ปริมาณน้ำท่า	คะแนนสถานภาพ
1. ปริมาณน้ำท่า		
1) ค่าร้อยละของปริมาณน้ำท่าต่อปริมาณน้ำฝน	62.79	4
2) ค่าร้อยละของช่วงน้ำ高涨ต่อช่วงแล้งฝน	89:11	2
2. ช่วงเวลาการไหลช่วงน้ำ高涨ต่อช่วงแล้งฝน	ตลอดปี	4

ที่มา: ภาควิชาอนุรักษ์วิทยา (2552)

ข. กำหนดค่าคะแนนความสำคัญของดัชนีทางอุทกวิทยา ทั้งปริมาณน้ำท่า และช่วงเวลาการไหลของน้ำ ซึ่งแต่ละดัชนีมีความสำคัญมากน้อยแตกต่างกัน ดังนี้ จึงกำหนดให้ ปริมาณน้ำท่า และช่วงเวลาการไหลของน้ำ มีค่าคะแนนเท่ากับ 3 ส่วนค่าร้อยละของช่วงน้ำ高涨ต่อ แล้งฝน (wet flow:dry flow) ซึ่งมีผลสืบเนื่องมาจากปริมาณน้ำท่า และช่วงเวลาการไหลของน้ำ กำหนดให้มีค่าคะแนนเท่ากับ 2 ดังแสดงในตารางที่ 12

ตารางที่ 12 ค่าคะแนนความสำคัญของดัชนีทางอุทกวิทยา

ความสำคัญ	คะแนนความสำคัญ
น้อย	1
ปานกลาง	2
มาก	3

ที่มา: ภาควิชาอนุรักษ์วิทยา (2552)

ก. ประเมินสถานภาพด้านปริมาณน้ำท่า และช่วงเวลาการไหลของน้ำ ดังแสดงในตารางที่ 13

ตารางที่ 13 การประเมินสถานภาพทางอุทกวิทยาด้านปริมาณน้ำท่า และช่วงเวลาการไหลของน้ำ

ดัชนี	การประเมินสถานภาพ				
	คะแนน ความสำคัญ	คะแนน สถานภาพ	คะแนน รวม	ค่าเฉลี่ย	สถานภาพ
1. ปริมาณน้ำท่า					
1) ค่าร้อยละของปริมาณน้ำท่าต่อปริมาณน้ำฝน	3	4	12	-	สมดุล
2) ค่าร้อยละของช่วงน้ำหลักต่อช่วงแล้งฝน	2	2	4	-	เสี่ยงภัย
สถานภาพด้านปริมาณน้ำ	5	-	16	32	เตือนภัย
2. ช่วงเวลาการไหลช่วงน้ำหลักต่อช่วงแล้งฝน (เดือน)	3	4	12	-	สมดุล

ที่มา: ดัดแปลงจาก ภาควิชาอนุรักษ์วิทยา (2552)

ซึ่งการประเมินสถานภาพทางอุทกวิทยาด้านปริมาณน้ำท่า และช่วงเวลาการไหลของน้ำ พบว่าดัชนีด้านปริมาณน้ำท่า ซึ่งแบ่งเป็น 2 ดัชนี คือ ค่าร้อยละของปริมาณน้ำท่าต่อปริมาณน้ำฝน จดอยู่ในสถานภาพสมดุล และค่าร้อยละของช่วงน้ำหลักต่อแล้งฝน (wet flow:dry

flow) จัดอยู่ในสถานภาพเสี่ยงภัย โดยสถานภาพด้านปริมาณน้ำ จัดอยู่ในสถานภาพเตือนภัย และช่วงเวลาการไหลช่วงน้ำหลักต่อແลงฟ่น จัดอยู่ในสถานภาพสมดุล

2.4.5 การประเมินสถานภาพทางอุทกวิทยาโดยรวมของพื้นที่ลุ่มน้ำขึ้นตอนบน ดังแสดงในตารางที่ 14

ตารางที่ 14 การประเมินสถานภาพทางอุทกวิทยาโดยรวมของพื้นที่ลุ่มน้ำขึ้นตอนบน

ลำดับ	การประเมินสถานภาพลุ่มน้ำโดยรวม				
	คะแนนความสำคัญ	คะแนนสถานภาพ	ผลรวม	สถานภาพ	
1. ปริมาณน้ำท่า	3	3.20	9.60	เตือนภัย	
2. ช่วงเวลาการไหลของน้ำ	2	4.00	8.00	สมดุล	
รวม	5		17.60		
ค่าเฉลี่ย			3.52	เตือนภัย	

ที่มา: ดัดแปลงจาก ภาควิชาอนุรักษ์วิทยา (2552)

จากลักษณะทางอุทกวิทยาของลุ่มน้ำขึ้นตอนบน เมื่อนำมาประเมินสถานภาพทางอุทกวิทยาโดยรวมทางด้านปริมาณน้ำ และช่วงเวลาการไหลของน้ำ พนว่าปริมาณน้ำท่า จัดอยู่ในสถานภาพเตือนภัย และช่วงเวลาการไหลของน้ำ จัดอยู่ในสถานภาพสมดุล โดยสถานภาพทางอุทกวิทยาของลุ่มน้ำขึ้นตอนบนโดยรวม จัดอยู่ในสถานภาพเตือนภัย ซึ่งแสดงให้เห็นว่าลักษณะอุทกวิทยามีการเปลี่ยนแปลงไปจากธรรมชาติเดิมแล้วน้อย โครงสร้างและหน้าที่การทำงานของระบบลุ่มน้ำเปลี่ยนแปลงไปจากเดิมแล้วน้อย โดยปริมาณน้ำท่า มีปริมาณลดลง แต่ยังมีอยู่หรือมีมากเกินไปแต่ไม่เกิดความเสียหายมาก สำหรับช่วงเวลาการไหลของน้ำมีน้ำท่วมเล็กน้อยในช่วงน้ำหลัก ส่วนในช่วงແลงฟ่นนั้นมีการขาดแคลนน้ำเป็นระยะเวลากลางๆ

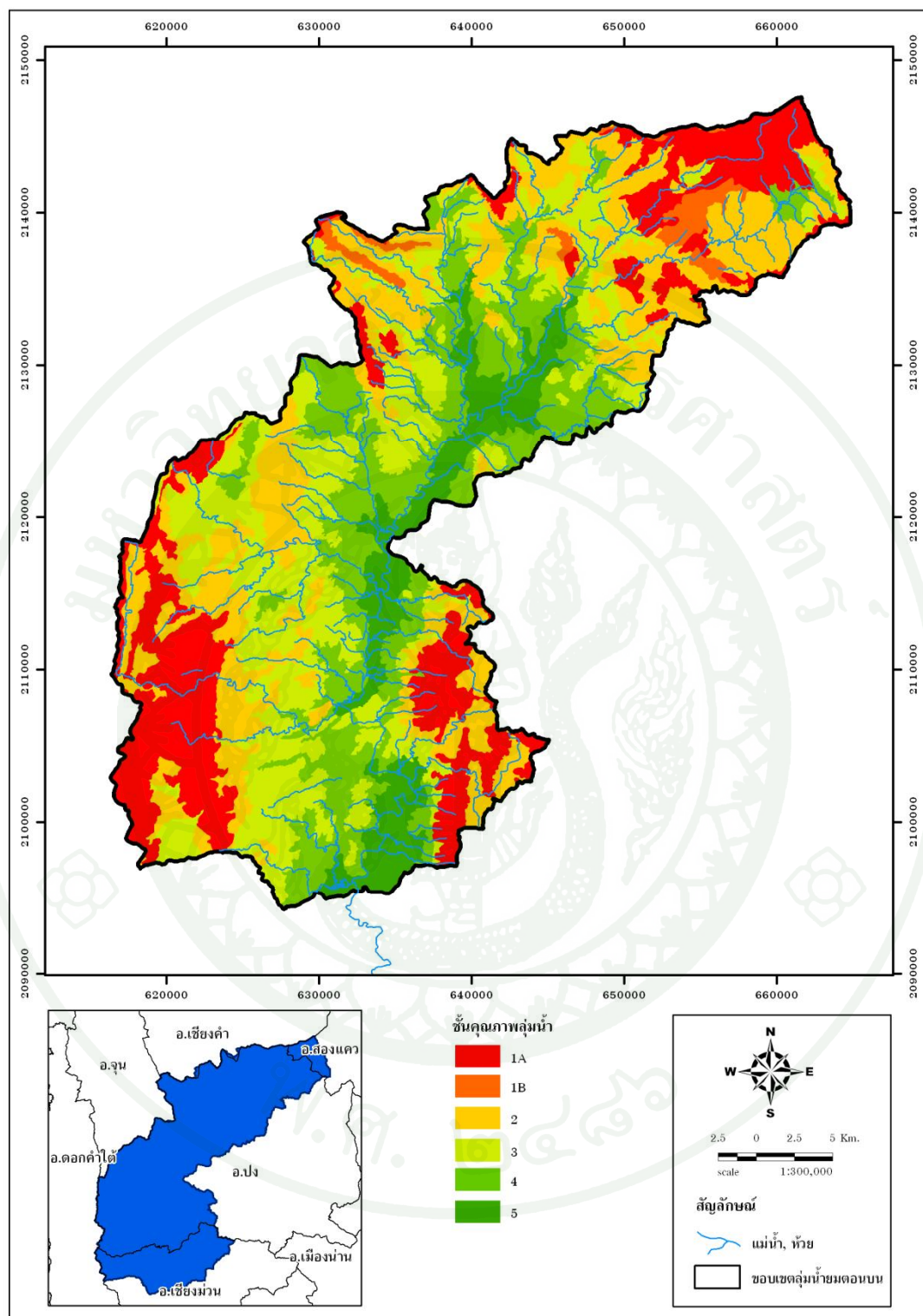
3. การคาดการณ์ปริมาณน้ำท่าเมื่อมีการเปลี่ยนแปลงการใช้ประโยชน์ที่ดิน

3.1 การเปลี่ยนแปลงการใช้ประโยชน์ที่ดินที่ควรเป็นตามนโยบายการจัดซื้นคุณภาพลุ่มน้ำ

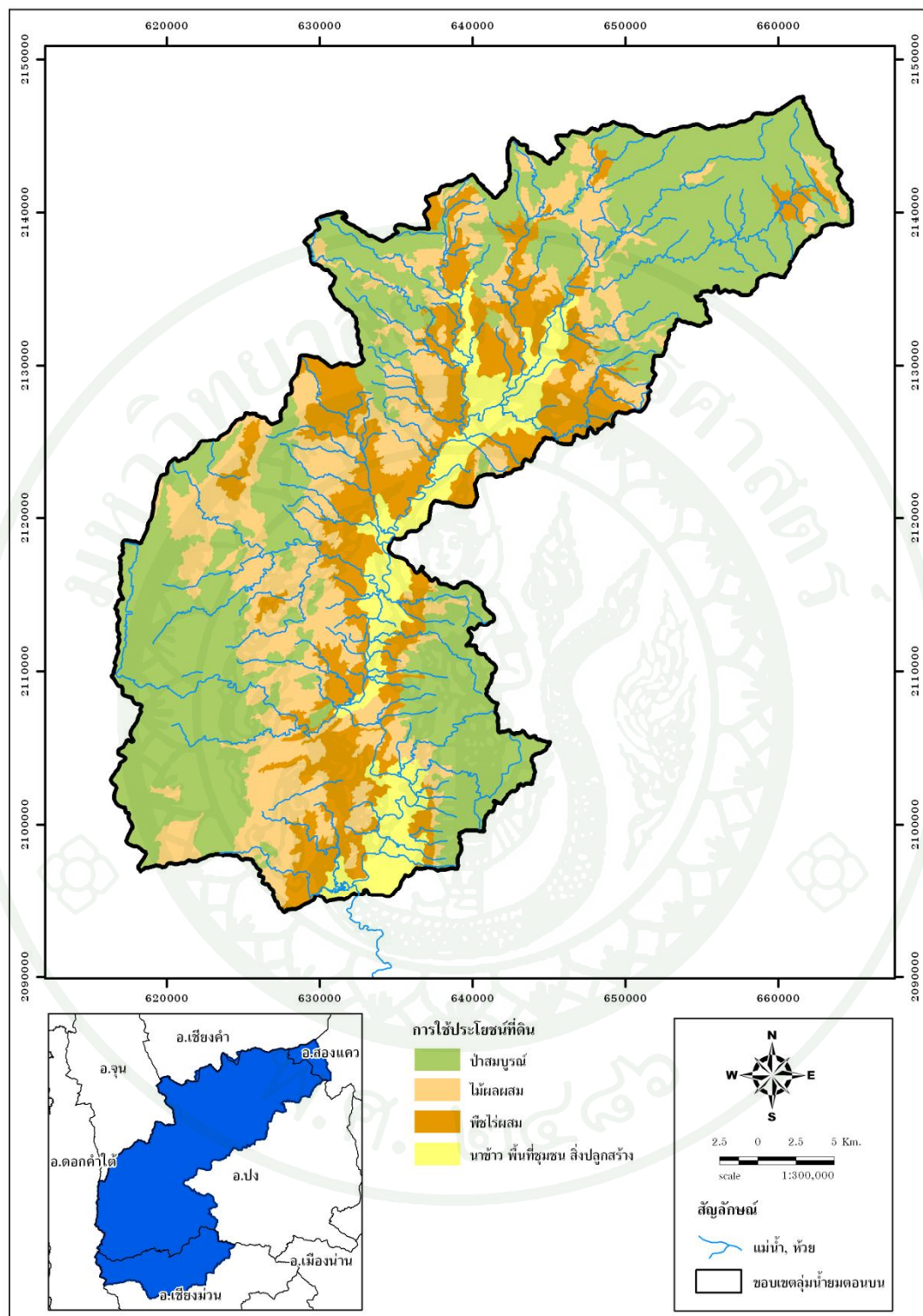
การกำหนดการใช้ประโยชน์ที่ดินเพื่อให้บรรลุวัตถุประสงค์การจัดการลุ่มน้ำ ถือว่าการกำหนดตามซื้นคุณภาพลุ่มน้ำเป็นอีกแนวทางหนึ่งที่ได้ผล หากพิจารณาแนวทางการกำหนดพื้นที่ตามคณะกรรมการสิ่งแวดล้อมแห่งชาติ (2525) ประกอบ ที่ก่อตัวไว้ว่า ซื้นคุณภาพลุ่มน้ำที่ 1A และ 1B เหมาะเป็นพื้นที่ดันน้ำลำธาร ซื้นคุณภาพลุ่มน้ำที่ 2 เหมาะกับทำกิจการป่าไม้ เหมืองแร่ แต่ต้องมีมาตรการควบคุมอย่างเข้มงวด ซื้นคุณภาพลุ่มน้ำที่ 3 เหมาะกับปลูกไม้ยืนต้น ไม่ผล ซื้นคุณภาพลุ่มน้ำที่ 4 เหมาะกับทำพืชไร่ และซื้นคุณภาพลุ่มน้ำที่ 5 เหมาะกับทำการเกษตร ทำนา ดังแสดงในภาพที่ 27

การศึกษาในครั้งนี้ได้กำหนดให้มีการเปลี่ยนแปลงการใช้ประโยชน์ที่ดินให้สอดคล้องตามซื้นคุณภาพลุ่มน้ำ จึงได้กำหนดให้พื้นที่ซื้นคุณภาพลุ่มน้ำชั้นที่ 1A, 1B และ 2 เป็นพื้นที่ป่าสมบูรณ์ พื้นที่ซื้นคุณภาพลุ่มน้ำชั้นที่ 3 เป็นพื้นที่ไม่ผลสม พื้นที่ซื้นคุณภาพลุ่มน้ำชั้นที่ 4 เป็นพื้นที่พืชไร่สม และพื้นที่ซื้นคุณภาพลุ่มน้ำชั้นที่ 5 เป็นพื้นที่นาข้าว พื้นที่ชุมชนและสิ่งปลูกสร้าง การเปลี่ยนแปลงการใช้ประโยชน์ที่ดินดังแสดงในภาพที่ 28

จากการศึกษาการเปลี่ยนแปลงการใช้ประโยชน์ที่ดินตามนโยบายการจัดซื้นคุณภาพลุ่มน้ำ ผลกระทบศึกษาดังแสดงในตารางที่ 15 และมีสัดส่วนการใช้ประโยชน์ที่ดินที่เปลี่ยนแปลงตามนโยบายการจัดซื้นคุณภาพลุ่มน้ำ ดังแสดงในตารางที่ 16



ภาพที่ 27 ชั้นคุณภาพดินน้ำตามนโยบายการจัดชั้นคุณภาพดินน้ำบริเวณพื้นที่ลุ่มน้ำยมตอนบน



ภาพที่ 28 การใช้ประโยชน์ที่ดินที่เป็นไปตามนโยบายการจัดซัณคุณภาพลุ่มน้ำบริเวณพื้นที่ลุ่มน้ำ
ยมตอนบน

ตารางที่ 15 การใช้ประโยชน์ที่ดินที่ควรเป็นตามนโยบายการจัดชั้นคุณภาพลุ่มน้ำบริเวณพื้นที่ลุ่มน้ำยามตอนบน

ชั้นคุณภาพ ลุ่มน้ำ	การใช้ประโยชน์ที่ดินที่กำหนด ตามนโยบายการจัดชั้นคุณภาพลุ่มน้ำ	พื้นที่ (ตร.กม.)	ร้อยละ ของพื้นที่ลุ่มน้ำ
1A, 1B และ 2	ป่าสมบูรณ์	543.56	47.05
3	ไม้ผลผสม	283.94	24.58
4	พืชไร่ผสม	225.67	19.53
5	นาข้าว พื้นที่ชุมชนและสิ่งปลูกสร้าง	102.06	8.84
	รวม	1,155.23	100.00

ตารางที่ 16 สัดส่วนการใช้ประโยชน์ที่ดินที่เปลี่ยนแปลงตามนโยบายการจัดชั้นคุณภาพลุ่มน้ำบริเวณพื้นที่ลุ่มน้ำยามตอนบน

ประเภท การใช้ประโยชน์ที่ดิน	การเปลี่ยนแปลงการใช้ประโยชน์ที่ดิน			
	ปัจจุบัน		ตามชั้นคุณภาพลุ่มน้ำ	
	พื้นที่	ร้อยละ	พื้นที่	ร้อยละ
เกษตรกรรม	220.01	19.05	0.00	0.00
นาข้าว	0.00	0.00	0.00	0.00
พื้นที่ชุมชนและสิ่งปลูกสร้าง	15.67	1.36	102.06	8.84
พืชไร่ผสม	0.00	0.00	225.67	19.53
ไม้ผลผสม	0.00	0.00	283.94	24.58
ป่าไม้	889.79	77.02	543.56	47.05
พื้นที่เบ็ดเตล็ด	29.33	2.54	0.00	0.00
แหล่งน้ำ	0.42	0.04	0.00	0.00
	รวม	1,155.23	100.00	1,155.23
				100.00

หมายเหตุ พื้นที่มีหน่วยเป็นตารางกิโลเมตร

การใช้ประโยชน์ที่ดินตามนโยบายการจัดชั้นคุณภาพลุ่มน้ำ สามารถกำหนดครูปแบบการใช้ประโยชน์ที่ดินได้ทั้งหมด 4 ประเภท ได้แก่ การใช้ประโยชน์ที่ดินได้ถูกเปลี่ยนแปลงจากชั้นคุณภาพลุ่มน้ำชั้น 1A, 1B และ 2 เปลี่ยนเป็นป่าสมบูรณ์ คิดเป็นพื้นที่ 543.56 ตารางกิโลเมตร หรือร้อยละ 47.05 ของพื้นที่ลุ่มน้ำ รองลงมาคือ พื้นที่ชั้นคุณภาพลุ่มน้ำชั้น 3 เปลี่ยนเป็นไม้ผลผสม คิดเป็นพื้นที่ 283.94 ตารางกิโลเมตร หรือร้อยละ 24.58 ของพื้นที่ลุ่มน้ำ พื้นที่ชั้นคุณภาพลุ่มน้ำชั้น 4 เปลี่ยนเป็นพื้นที่ไร่ผสม คิดเป็นพื้นที่ 225.67 ตารางกิโลเมตร หรือร้อยละ 19.53 ของพื้นที่ลุ่มน้ำ และพื้นที่ชั้นคุณภาพลุ่มน้ำชั้น 5 เปลี่ยนเป็นนาข้าว พื้นที่ชุมชนและสิ่งก่อสร้าง คิดเป็นพื้นที่น้อยที่สุด คือ 102.05 ตารางกิโลเมตร หรือร้อยละ 8.83 ของพื้นที่ลุ่มน้ำ

จากตารางที่ 16 พบว่าการใช้ประโยชน์ที่ดินปัจจุบัน มีรูปแบบการใช้ประโยชน์ที่ดินทั้งหมด 5 ประเภท ได้แก่ ป่าไม้ มีพื้นที่มากที่สุด คิดเป็นพื้นที่ 889.79 ตารางกิโลเมตร หรือร้อยละ 77.02 ของพื้นที่ลุ่มน้ำ รองลงมาคือ พื้นที่เกษตรกรรม คิดเป็นพื้นที่ 220.01 ตารางกิโลเมตร หรือร้อยละ 19.05 ของพื้นที่ลุ่มน้ำ พื้นที่เบ็ดเตล็ด คิดเป็นพื้นที่ 29.33 ตารางกิโลเมตร หรือร้อยละ 2.54 ของพื้นที่ลุ่มน้ำ พื้นที่ชุมชนและสิ่งก่อสร้าง คิดเป็นพื้นที่ 15.67 ตารางกิโลเมตร หรือร้อยละ 1.36 ของพื้นที่ลุ่มน้ำ และแหล่งน้ำ คิดเป็นพื้นที่น้อยที่สุด คือ 0.42 ตารางกิโลเมตร หรือร้อยละ 0.04 ของพื้นที่ลุ่มน้ำ เมื่อนำการใช้ประโยชน์ที่ดินที่เปลี่ยนแปลงตามนโยบายการจัดชั้นคุณภาพลุ่มน้ำ ประเมินปริมาณน้ำท่า ได้ผลการศึกษาดังแสดงในตารางที่ 17

ตารางที่ 17 ปริมาณน้ำท่าจากการเปลี่ยนแปลงการใช้ประโยชน์ที่ดินตามนโยบายการจัดชั้นคุณภาพลุ่มน้ำบริเวณพื้นที่ลุ่มน้ำยามตอนบน

เดือน	ปริมาณน้ำฝน (มิลลิเมตร)	ปริมาณน้ำท่า (ล้านลูกบาศก์เมตร)			ตามชั้นคุณภาพ ลุ่มน้ำ
		ตรวจวัด	แบบจำลอง	ตามชั้นคุณภาพ	
เมษายน	97.64	7.60	9.03	42.95	
พฤษภาคม	142.99	29.34	31.46	80.21	
มิถุนายน	145.62	38.64	38.52	82.48	
กรกฎาคม	202.63	85.79	84.24	133.45	
สิงหาคม	238.45	224.85	223.12	166.65	
กันยายน	212.29	266.45	212.29	142.33	
ตุลาคม	98.06	87.58	86.41	43.28	
พฤษจิกายน	19.52	40.01	39.01	0.24	
ธันวาคม	8.76	20.36	11.06	0.59	
มกราคม	9.86	11.89	11.18	0.40	
กุมภาพันธ์	8.10	8.54	8.63	0.73	
มีนาคม	39.79	8.51	8.10	6.03	
รวม	1,223.73	829.55	763.05	699.35	
เฉลี่ย	101.98	69.13	63.59	58.28	

จากตารางที่ 17 พบว่าในพื้นที่ลุ่มน้ำยามตอนบน ปริมาณน้ำฝนรายปีมีค่าเท่ากับ 1,223.73 มิลลิเมตร โดยมีปริมาณน้ำฝนสูงสุดในเดือนสิงหาคมมีค่าเท่ากับ 238.45 มิลลิเมตร ปริมาณน้ำฝนต่ำสุดในเดือนกุมภาพันธ์มีค่าเท่ากับ 8.10 มิลลิเมตร และปริมาณน้ำฝนเฉลี่ยรายเดือนมีค่าเท่ากับ 101.98 มิลลิเมตร

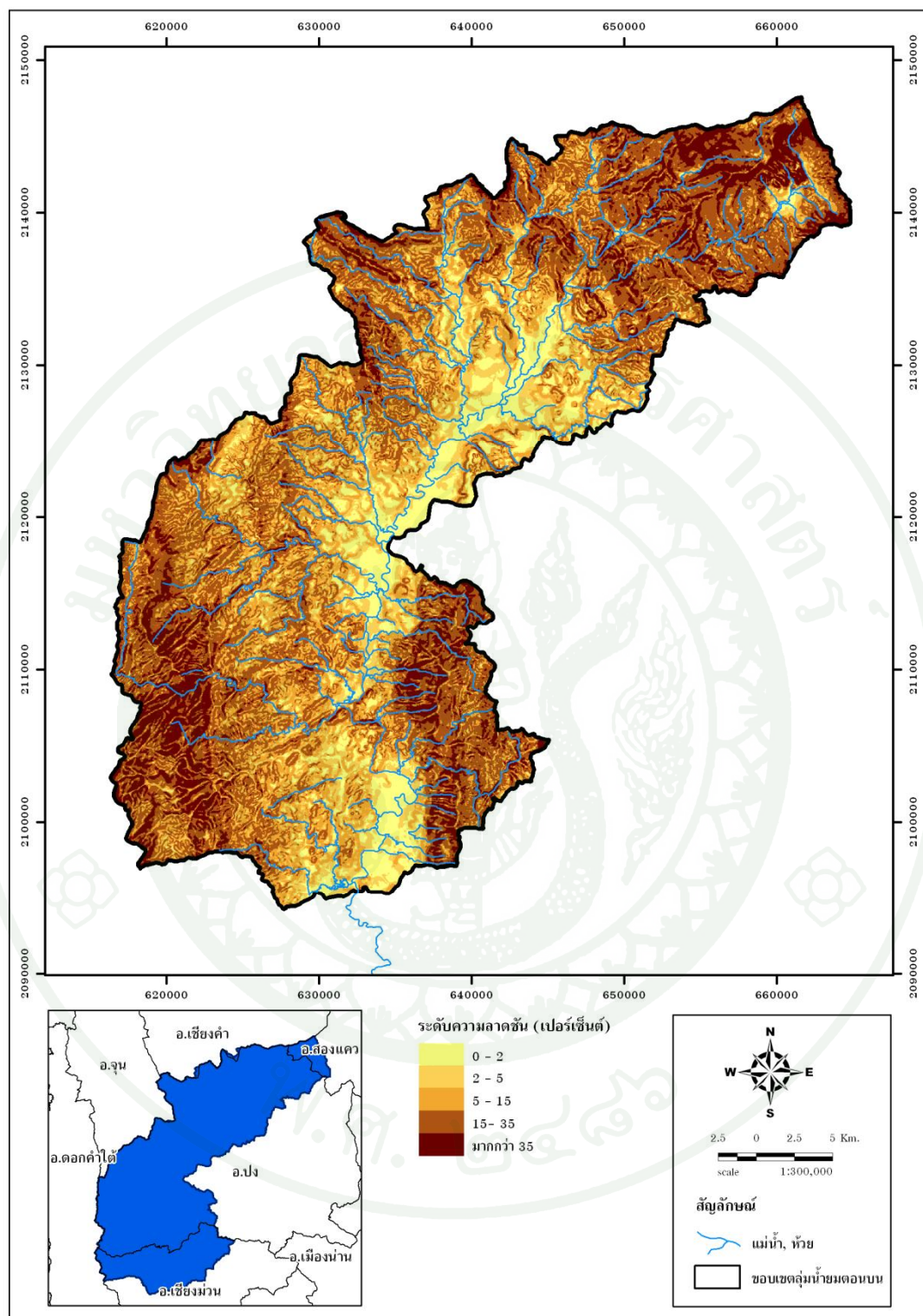
ปริมาณน้ำท่าที่ได้จากการตรวจวัดของกรมชลประทานมีค่าเท่ากับ 829.55 ล้านลูกบาศก์เมตร โดยมีปริมาณน้ำท่าสูงสุดในเดือนกันยายนมีค่าเท่ากับ 266.45 ล้านลูกบาศก์เมตร ปริมาณน้ำท่าต่ำสุดในเดือนเมษายนมีค่าเท่ากับ 7.60 ล้านลูกบาศก์เมตร และปริมาณน้ำท่าเฉลี่ย

รายเดือนมีค่าเท่ากับ **69.02** ล้านลูกบาศก์เมตร ปริมาณน้ำท่าที่ได้จากแบบจำลองมีค่าเท่ากับ **763.05** ล้านลูกบาศก์เมตร โดยมีปริมาณน้ำท่าสูงสุดในเดือนสิงหาคมมีค่าเท่ากับ **223.12** ล้านลูกบาศก์เมตร ปริมาณน้ำท่าต่ำสุดในเดือนมีนาคมมีค่าเท่ากับ **8.10** ล้านลูกบาศก์เมตร และปริมาณน้ำท่าเฉลี่ยรายเดือนมีค่าเท่ากับ **63.59** ล้านลูกบาศก์เมตร

ปริมาณน้ำท่าที่ได้เมื่อการเปลี่ยนแปลงการใช้ประโยชน์ที่ดินที่ควรเป็นตามนโยบายการจัดชั้นคุณภาพลุ่มน้ำมีค่าเท่ากับ **699.32** ล้านลูกบาศก์เมตร โดยมีปริมาณน้ำท่าสูงสุดในเดือนสิงหาคมมีค่าเท่ากับ **166.65** ล้านลูกบาศก์เมตร ปริมาณน้ำท่าต่ำสุดในเดือนพฤษภาคมมีค่าเท่ากับ **0.24** ล้านลูกบาศก์เมตร และปริมาณน้ำท่าเฉลี่ยรายเดือนมีค่าเท่ากับ **58.28** ล้านลูกบาศก์เมตร ซึ่งจากการเปลี่ยนแปลงรูปแบบการใช้ประโยชน์ที่ดินที่ควรเป็นตามนโยบายการจัดชั้นคุณภาพลุ่มน้ำทำให้ปริมาณน้ำท่าที่ได้มีปริมาณน้อยกว่าการตรวจวัดและการแบบจำลอง ทั้งนี้เนื่องมาจากการเปลี่ยนแปลงการใช้ประโยชน์ที่ดินที่ส่วนใหญ่ได้ถูกกำหนดเป็นป่าไม้ ซึ่งเป็นไม้ขึ้นต้นและมีรากยอดแหลมและลำต้นมีส่วนช่วยรองรับแรงกระแทกเม็ดฝนไม่ให้ตกลงสู่ผิวดินโดยตรงทำให้น้ำค่อยๆ ตกลงสู่ผิวน้ำดิน โอกาสที่เม็ดดินจะแตกกระจายไปอุดรูดินมีน้อย น้ำซึมลงดินได้จำกัด ส่วนใน กิ่ง ดอก ผล และลำต้นส่วนที่พุพังที่หล่นลงสู่ดินทำให้เพิ่มอินทรียะตุ่นในดินรวมทั้งการซ่อนไขของรากพืชทำให้ดินเกิดการร่วนซุย และเพิ่มรูพรุนในดินส่งผลให้น้ำมีโอกาสซึมลงสู่ผิวดินได้มากขึ้นและไหลลึกลงไปเป็นน้ำใต้ดินแล้วค่อยๆ ระบายนอกทำให้มีน้ำไหลอยู่ได้ตลอดปี ซึ่งพื้นที่ป่าไม้มีส่วนช่วยชะลอการไหลบ่าของน้ำหน้าดิน เป็นการเพิ่มอัตราการซึมน้ำและการกักเก็บน้ำให้เกิดดิน ซึ่งพื้นที่ป่าไม้มีส่วนอย่างสำคัญต่อการดูดซับน้ำทั้งนี้ เพราะว่าป่าไม้ทำให้น้ำไหลบ่าหน้าได้ดินช้ำลงทำให้น้ำมีเวลาซึมนานกว่า จึงส่งผลให้ปริมาณน้ำและอัตราการหลากรูปสูตรลดลงด้วย

3.2 การเปลี่ยนแปลงการใช้ประโยชน์ที่ดินที่ควรเป็นตามระดับความลาดชัน

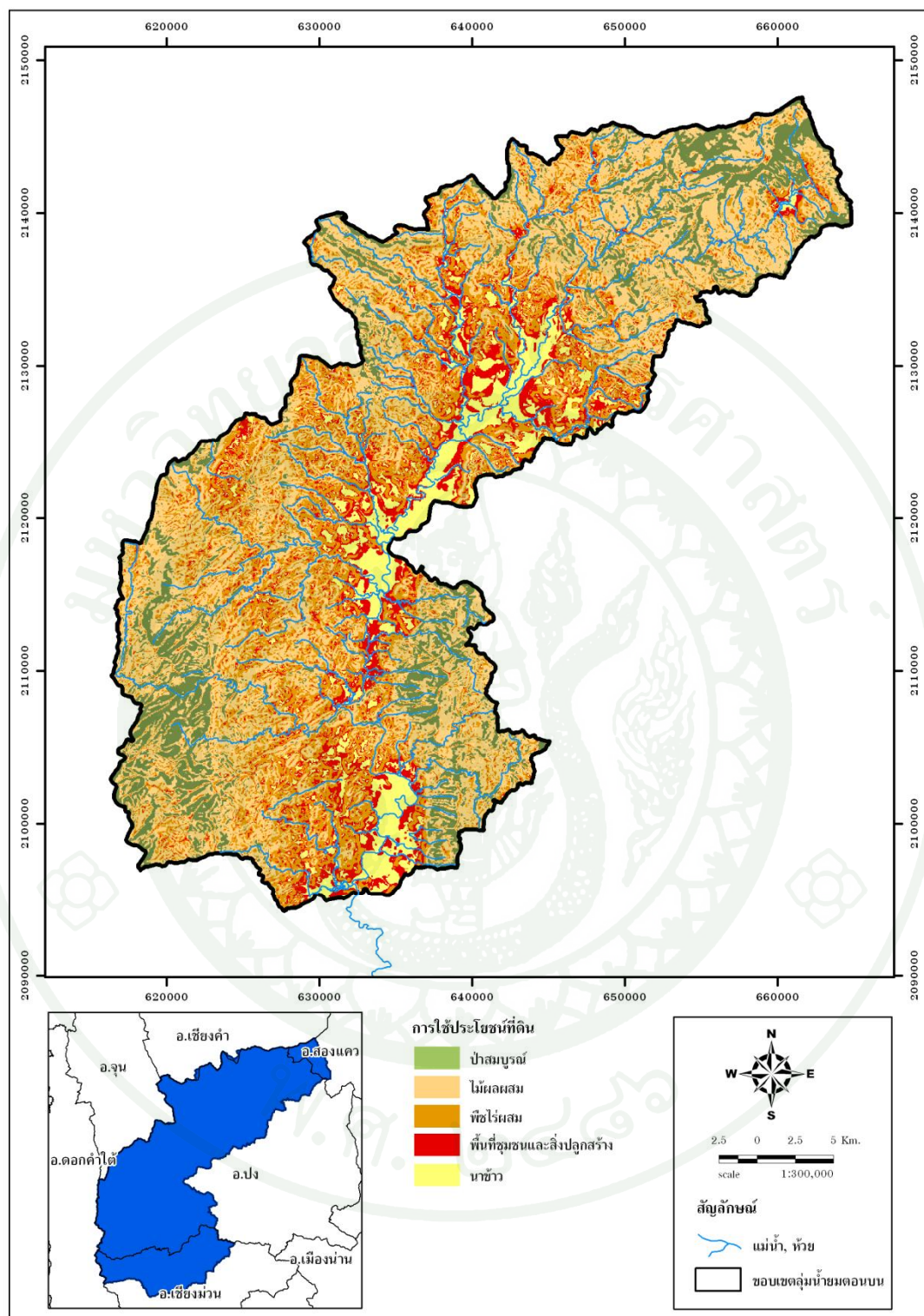
คณะกรรมการสิ่งแวดล้อมแห่งชาติ (2525) กำหนดไว้ว่า พื้นที่ที่มีความลาดชันสูงมากกว่าร้อยละ **50** ดินง่ายต่อการเปลี่ยนแปลงและรุนแรง หมายเป็นพื้นที่ต้นน้ำลำธาร พื้นที่ที่มีความลาดชันอยู่ระหว่างร้อยละ **30 - 50** ดินง่ายต่อการพังทลายความอุดมสมบูรณ์ต่ำ หมายกับทำป่าไม้และเหมืองแร่ พื้นที่ที่มีความลาดชันอยู่ระหว่างร้อยละ **25 - 35** ดินพังทลายง่ายถึงปานกลาง หมายกับป่าไม้ขึ้นต้นและไม้ผล แต่ต้องใช้มาตรการอนุรักษ์อย่างเข้มงวด พื้นที่ที่มีความลาดชันอยู่ระหว่างร้อยละ **6 - 25** ดินค่อนข้างลึก ความอุดมสมบูรณ์ค่อนข้างสูง มีส่วนของการพังทลายต่ำ เหมาะกับการทำพืช ไว้ ดังแสดงในภาพที่ **29**



ภาพที่ 29 ระดับความลาดชันบริเวณพื้นที่ลุ่มน้ำยมค่อนบน

การศึกษาในครั้งนี้ได้กำหนดให้มีการเปลี่ยนแปลงการใช้ประโยชน์ที่ดินให้เหมาะสมตามระดับความลาดชัน จึงได้กำหนดระดับความลาดชันร้อยละ 0 - 2 เป็นพื้นที่นาข้าว ระดับความลาดชันร้อยละ 2 - 5 เป็นพื้นที่ชุมชนและสิ่งปลูกสร้าง ระดับความลาดชันร้อยละ 5 - 15 เป็นพื้นที่ไร่ผสม ระดับความลาดชันร้อยละ 15 - 35 เป็นไม้ผลผสม และระดับความลาดชันมากกว่าร้อยละ 35 เป็นป่าสมบูรณ์ การเปลี่ยนแปลงการใช้ประโยชน์ที่ดินดังแสดงในภาพที่ 30

การศึกษาการเปลี่ยนแปลงการใช้ประโยชน์ที่ดินตามระดับความลาดชัน มีผลการศึกษาดังแสดงในตารางที่ 18 และมีสัดส่วนการใช้ประโยชน์ที่ดินที่เปลี่ยนแปลงตามระดับความลาดชัน ดังแสดงในตารางที่ 19 พนว่าการใช้ประโยชน์ที่ดินในพื้นที่ลุ่มน้ำขมตอนบนมีการเปลี่ยนแปลงการใช้ประโยชน์ที่ดินตามระดับความลาดชันออกเป็น 5 ประเภท ได้แก่ ระดับความลาดชันร้อยละ 15 - 35 เป็นพื้นที่ไม้ผลผสม กิดเป็นพื้นที่ 455.48 ตารางกิโลเมตร หรือร้อยละ 39.43 ของพื้นที่ลุ่มน้ำ รองลงมาคือระดับความลาดชันร้อยละ 5 - 15 เป็นพื้นที่ไร่ผสม กิดเป็นพื้นที่ 314.07 ตารางกิโลเมตร หรือร้อยละ 27.45 ของพื้นที่ลุ่มน้ำ ระดับความลาดชันมากกว่าร้อยละ 35 เป็นป่าไม้ กิดเป็นพื้นที่ 132.47 ตารางกิโลเมตร หรือร้อยละ 11.47 ของพื้นที่ลุ่มน้ำ ระดับความลาดชันร้อยละ 2 - 5 เป็นพื้นที่ชุมชนและสิ่งก่อสร้าง กิดเป็นพื้นที่ 130.56 ตารางกิโลเมตร หรือร้อยละ 11.30 ของพื้นที่ลุ่มน้ำ และระดับความลาดชันมากกว่าร้อยละ 0 - 2 เป็นนาข้าว กิดเป็นพื้นที่น้อยที่สุด คือ 119.66 ตารางกิโลเมตร หรือร้อยละ 10.36 ของพื้นที่ลุ่มน้ำ



ภาพที่ 30 การใช้ประโยชน์ที่ดินที่เป็นไปตามระดับความลาดชันบริเวณพื้นที่คุ้มน้ำยั่งต่อนบน

ตารางที่ 18 การใช้ประโยชน์ที่ดินที่ควรเป็นตามระดับความล้าดชั้นบริเวณพื้นที่ลุ่มน้ำยมตอนบน

ระดับความล้าดชั้น (ร้อยละ)	การใช้ประโยชน์ที่ดินที่กำหนด ตามระดับความล้าดชั้น	พื้นที่ (ตร.กม.)	ร้อยละ ของพื้นที่ลุ่มน้ำ
0 - 2	นาข้าว	119.66	10.36
2 - 5	พื้นที่ชุมชนและสิ่งปลูกสร้าง	130.56	11.30
5 - 15	พืชไร่ผสม	317.07	27.45
15 - 35	ไม้ผลผสม	455.48	39.43
มากกว่า 35	ป่าไม้	132.47	11.47
รวม		1,155.23	100.00

ตารางที่ 19 สัดส่วนการใช้ประโยชน์ที่ดินที่เปลี่ยนแปลงตามระดับความล้าดชั้นบริเวณพื้นที่ลุ่มน้ำ
ยมตอนบน

ประเภท การใช้ประโยชน์ที่ดิน	การเปลี่ยนแปลงการใช้ประโยชน์ที่ดิน			
	ปัจจุบัน		ตามระดับความล้าดชั้น	
	พื้นที่	ร้อยละ	พื้นที่	ร้อยละ
เกษตรกรรม	220.01	19.05	0.00	0.00
นาข้าว	0.00	0.00	119.66	10.36
พื้นที่ชุมชนและสิ่งปลูกสร้าง	15.67	1.36	130.56	11.30
พืชไร่ผสม	0.00	0.00	317.07	27.45
ไม้ผลผสม	0.00	0.00	455.48	39.43
ป่าไม้	889.79	77.02	132.47	11.47
พื้นที่เบ็ดเตล็ด	29.33	2.54	0.00	0.00
แหล่งน้ำ	0.42	0.04	0.00	0.00
รวม	1,155.23	100.00	1,155.23	100.00

หมายเหตุ พื้นที่มีหน่วยเป็นตารางกิโลเมตร

พบว่าการใช้ประโยชน์ที่ดินปัจจุบัน มีรูปแบบการใช้ประโยชน์ที่ดินทั้งหมด 5 ประเภท ได้แก่ ป่าไม้ มีพื้นที่มากที่สุด คิดเป็นพื้นที่ **889.79** ตารางกิโลเมตร หรือร้อยละ **77.02** ของพื้นที่ลุ่มน้ำ รองลงมาคือ พื้นที่เกษตรกรรม คิดเป็นพื้นที่ **220.01** ตารางกิโลเมตร หรือร้อยละ **19.05** ของพื้นที่ลุ่มน้ำ พื้นที่เบ็ดเตล็ด คิดเป็นพื้นที่ **29.33** ตารางกิโลเมตร หรือร้อยละ **2.54** ของพื้นที่ลุ่มน้ำ พื้นที่ชุมชนและสิ่งก่อสร้าง คิดเป็นพื้นที่ **15.67** ตารางกิโลเมตร หรือร้อยละ **1.36** ของพื้นที่ลุ่มน้ำ และแหล่งน้ำ คิดเป็นพื้นที่น้อยที่สุด คือ **0.42** ตารางกิโลเมตร หรือร้อยละ **0.04** ของพื้นที่ลุ่มน้ำ (ตารางที่ 19) เมื่อนำการใช้ประโยชน์ที่ดินที่เปลี่ยนแปลงตามระดับความลาดชัน ประเมินปริมาณน้ำท่า ได้ผลการศึกษาดังแสดงในตารางที่ 20 พบว่าในพื้นที่ลุ่มน้ำยังคงตồnตน ปริมาณน้ำฝนรายปีมีค่าเท่ากับ **1,223.73** มิลลิเมตร โดยมีปริมาณน้ำฝนสูงสุดในเดือนสิงหาคมมีค่าเท่ากับ **238.45** มิลลิเมตร ปริมาณน้ำฝนต่ำสุดในเดือนกุมภาพันธ์มีค่าเท่ากับ **8.10** มิลลิเมตร และปริมาณน้ำฝนเฉลี่ยรายเดือนมีค่าเท่ากับ **101.98** มิลลิเมตร

ปริมาณน้ำท่าที่ได้จากข้อมูลการตรวจวัดของกรมชลประทานมีค่าเท่ากับ **828.23** ล้านลูกบาศก์เมตร โดยมีปริมาณน้ำท่าสูงสุดในเดือนกันยายนมีค่าเท่ากับ **266.45** ล้านลูกบาศก์เมตร ปริมาณน้ำท่าต่ำสุดในเดือนเมษายนมีค่าเท่ากับ **7.60** ล้านลูกบาศก์เมตร และปริมาณน้ำท่าเฉลี่ยรายเดือนมีค่าเท่ากับ **69.02** ล้านลูกบาศก์เมตร

**ตารางที่ 20 ปริมาณน้ำท่าจากการเปลี่ยนแปลงการใช้ประโยชน์ที่ดินตามระดับความล้าดชั้น
บริเวณพื้นที่ลุ่มน้ำยมตอนบน**

เดือน	ปริมาณน้ำฝน (มิลลิเมตร)	ปริมาณน้ำท่า (ล้านลูกบาศก์เมตร)			ตามระดับ ความล้าดชั้น
		ตรวจวัด	แบบจำลอง		
เมษายน	97.64	7.60	9.03		29.63
พฤษภาคม	142.99	29.34	31.46		58.60
มิถุนายน	145.62	38.64	38.52		63.65
กรกฎาคม	202.63	85.79	84.24		110.00
สิงหาคม	238.45	224.85	223.12		141.00
กันยายน	212.29	266.45	212.29		118.25
ตุลาคม	98.06	87.58	86.41		29.90
พฤศจิกายน	19.52	40.01	39.01		0.10
ธันวาคม	8.76	20.36	11.06		1.98
มกราคม	9.86	11.89	11.18		1.66
กุมภาพันธ์	8.10	8.54	8.63		2.18
มีนาคม	39.79	8.51	8.10		2.20
รวม	1,223.73	829.56	763.05		559.13
เฉลี่ย	101.98	69.13	63.59		46.59

ปริมาณน้ำท่าที่ได้จากการแบบจำลอง มีค่าเท่ากับ 763.05 ล้านลูกบาศก์เมตร โดยมีปริมาณน้ำท่าสูงสุดในเดือนสิงหาคมมีค่าเท่ากับ 223.12 ล้านลูกบาศก์เมตร ปริมาณน้ำท่าต่ำสุดในเดือนมีนาคมมีค่าเท่ากับ 8.1 ล้านลูกบาศก์เมตร และปริมาณน้ำท่าเฉลี่ยรายเดือนมีค่าเท่ากับ 63.59 ล้านลูกบาศก์เมตร

ปริมาณน้ำท่าที่ได้เมื่อมีการเปลี่ยนแปลงการใช้ประโยชน์ที่ดินให้เหมาะสมตามระดับความล้าดชั้นมีค่าเท่ากับ 559.13 ล้านลูกบาศก์เมตร โดยมีปริมาณน้ำท่าสูงสุดในเดือนสิงหาคมมีค่าเท่ากับ 141.10 ล้านลูกบาศก์เมตร ปริมาณน้ำท่าต่ำสุดในเดือนพฤษจิกายนมีค่าเท่ากับ 0.10 ล้าน

ลูกบาศก์เมตร และปริมาณน้ำท่าเฉลี่ยรายเดือนมีค่าเท่ากับ 46.59 ล้านลูกบาศก์เมตร ซึ่งจากการเปลี่ยนแปลงรูปแบบการใช้ประโยชน์ที่ดินให้เหมาะสมตามระดับความลาดชัน ทำให้ปริมาณน้ำท่าที่ได้มีปริมาณน้อยกว่าการตรวจวัดและจากแบบจำลอง ทั้งนี้เนื่องมาจากการเปลี่ยนแปลงการใช้ประโยชน์ที่ดินที่ส่วนใหญ่ได้ถูกกำหนดเป็นไม้ผลผสม ซึ่งเป็นไม้ขันต้นและมีระดับความสูงของเรือนยอดในระดับเดียวกัน รวมมีความลึกใกล้เคียงกัน การซ่อนไข่ของ rakพืชทำให้ดินเกิดการร่วนชุบ และเพิ่มรูพรุนในดินส่งผลให้น้ำมีโอกาสซึมลงสู่ผิวดิน ได้มากขึ้นและไหลลึกลงไปเป็นน้ำใต้ดิน แล้วค่อยๆ ระบายนอกทำให้มีน้ำไหลอยู่ใต้ตลอดปี และการที่มีพืชน้ำที่ไม้ผลผสมและพืชไร่ผสมเพิ่มมากขึ้นทำให้มีปริมาณการใช้น้ำในพื้นที่ลุ่มน้ำเพิ่มขึ้นด้วย ประกอบกับ CN ลดลงด้วย จึงส่งผลให้ปริมาณน้ำและอัตราการหลักสูตรลดลงด้วย



สรุปและข้อเสนอแนะ

สรุป

การประเมินปริมาณน้ำท่ารายปีโดยวิธีการของแบบจำลอง SCS-CN และเปรียบเทียบกับปริมาณน้ำท่าที่ได้จากการตรวจวัดในพื้นที่ลุ่มน้ำยมตอนบน สามารถสรุปผลการศึกษาได้ดังนี้

1. ปริมาณน้ำท่า

1.1 ปริมาณน้ำท่ารายปี

ปริมาณน้ำท่ารายปีที่ได้จากการของแบบจำลองมีค่าเท่ากับ **763.05** ล้านลูกบาศก์เมตร การวิเคราะห์ความสัมพันธ์ของปริมาณน้ำฝนกับปริมาณน้ำท่าจากการของแบบจำลองมีระดับความสัมพันธ์อยู่ในระดับปานกลาง โดยมีค่าสัมประสิทธิ์ตัวกำหนด (R^2) เท่ากับ **0.64** ปริมาณน้ำท่ารายปีจากข้อมูลการตรวจวัดมีค่าเท่ากับ **829.56** ล้านลูกบาศก์เมตร โดยมีค่าระดับความสัมพันธ์ของปริมาณน้ำฝนกับปริมาณน้ำท่าในระดับปานกลางใกล้เคียงกับแบบจำลอง โดยมีค่าสัมประสิทธิ์ตัวกำหนด (R^2) เท่ากับ **0.60** และผลการทดสอบความถูกต้องของแบบจำลอง พบร่วมมีค่าประสิทธิภาพเท่ากับร้อยละ **98** ค่ารากที่สองกำลังสองเฉลี่ยของความคลาดเคลื่อน ในเดือนกันยายนมีค่ามากที่สุดเท่ากับ **54.16** และเดือนมีนาคมมีค่าน้อยที่สุดเท่ากับ **0.41**

1.2 ปริมาณน้ำท่าช่วงน้ำ高涨 - แล้งฝน (wet - dry period)

1.2.1 ช่วงน้ำ高涨

ช่วงน้ำ高涨เริ่มตั้งแต่เดือนเมษายนถึงเดือนตุลาคม ปริมาณน้ำท่ารายปีที่ได้จากการของแบบจำลองมีค่าเท่ากับ **685.08** ล้านลูกบาศก์เมตร คิดเป็นร้อยละ **89.78** ของปริมาณน้ำฝนรายปี ความสัมพันธ์ของปริมาณน้ำฝนกับปริมาณน้ำท่าจากการของแบบจำลองมีระดับความสัมพันธ์อยู่ในระดับปานกลาง โดยมีค่าสัมประสิทธิ์ตัวกำหนด (R^2) เท่ากับ **0.65** ส่วนปริมาณน้ำท่ารายปีที่ได้จากการตรวจวัดในช่วงน้ำ高涨มีค่าเท่ากับ **740.24** ล้านลูกบาศก์เมตร คิดเป็นร้อยละ **89.38** ของปริมาณน้ำฝนรายปี และความสัมพันธ์ของปริมาณน้ำฝนกับปริมาณน้ำท่าจากการตรวจวัดมีระดับ

ความสัมพันธ์อยู่ในระดับปานกลาง โดยมีค่าสัมประสิทธิ์ตัวกำหนด (R^2) เท่ากับ 0.61 และผลการทดสอบความถูกต้องของแบบจำลอง พบร่วมกับประสิทธิภาพเท่ากับร้อยละ 97

1.2.2 ช่วงແລ້ງຝົນ

ช่วงແລ້ງຝົນເຮີມຕັ້ງແຕ່ເດືອນພຸດສະກິບຕາມຄວາມສິ່ງເດືອນມີນາຄມ ປຣິມາລັນໜ້າທ່າງໄລຍປີ່ໄດ້ຈາກແບບจำลองມີຄ່າເທົ່າກັນ 77.98 ລ້ານລູກນາສກໍມີຕຣ ຄິດເປັນຮ້ອຍລະ 10.22 ຂອງປຣິມາລັນໜ້າຝົນໄລຍປີ່ສ່ວນປຣິມາລັນໜ້າທ່າທີ່ໄດ້ຈາກການຕຽບຕັ້ງໃນช่วงແລ້ງຝົນມີຄ່າເທົ່າກັນ 89.31 ລ້ານລູກນາສກໍມີຕຣ ຄິດເປັນຮ້ອຍລະ 10.77 ຂອງປຣິມາລັນໜ້າຝົນໄລຍປີ່ ຄວາມສັນພັນຂອງປຣິມາລັນໜ້າຝົນກັບປຣິມາລັນໜ້າທ່າຈາກແບບจำลอง ແລະ ຄວາມສັນພັນຂອງປຣິມາລັນໜ້າຝົນກັບປຣິມາລັນໜ້າທ່າຈາກການຕຽບຕັ້ງ ໄນມີຄວາມສັນພັນຂຶ້ນແລະກັນ ແລະ ປົດການทดสอบຄວາມຄຸກຕ້ອງຂອງແບບจำลอง ພບວ່າມີຄ່າປະສິບີຫຼາພາບເທົ່າກັບຮ້ອຍລະ 91

2. ສັກຄະຖາງອຸທອກວິທາຍາ

ຈາກແບບจำลอง ພບວ່າມີປຣິມາລັນໜ້າທ່າເທົ່າກັບຮ້ອຍລະ 62.79 ຂອງປຣິມາລັນໜ້າຝົນໄລຍປີ່ ປຣິມາລັນໜ້າທ່າໜ້າຫາລາກມີຄ່າເທົ່າກັນ 685.08 ລ້ານລູກນາສກໍມີຕຣ ປຣິມາລັນໜ້າທ່າໜ້າແລ້ງຝົນມີຄ່າເທົ່າກັນ 77.98 ລ້ານລູກນາສກໍມີຕຣ ອ່ານ້າຍລະຂອງໜ້າຫາລາກຕ່ອງໜ້າແລ້ງຝົນມີຄ່າເທົ່າກັນ 89.11 ຂໍ້ມູນການຕຽບຕັ້ງ ມີປຣິມາລັນໜ້າທ່າເທົ່າກັບຮ້ອຍລະ 67.79 ຂອງປຣິມາລັນໜ້າຝົນໄລຍປີ່ ປຣິມາລັນໜ້າທ່າໜ້າຫາລາກມີຄ່າເທົ່າກັນ 740.24 ລ້ານລູກນາສກໍມີຕຣ ປຣິມາລັນໜ້າທ່າໜ້າແລ້ງຝົນມີຄ່າເທົ່າກັນ 89.31 ລ້ານລູກນາສກໍມີຕຣ ອ່ານ້າຍລະຂອງໜ້າຫາລາກຕ່ອງໜ້າແລ້ງຝົນມີຄ່າເທົ່າກັນ 89.11 ສ່ວນໜ້າງເວລາກາໄໄລ ຜ່ານໜ້າຫາລາກຕ່ອງໜ້າແລ້ງຝົນ ໃນພື້ນທີ່ຄຸ່ມນ້ຳຍົມຕອນບນອຸຍື່ນໃນໜ້າ 7:5 ເດືອນ

3. ກາຣຄາດກາຮັດປຣິມາລັນໜ້າທ່າເມື່ອມີກາຣເປີ່ຍນແປ່ງກາຣໃຊ້ປະໂຍໜ໌ທີ່ດິນ

ກາຣເປີ່ຍນແປ່ງກາຣໃຊ້ປະໂຍໜ໌ທີ່ດິນທີ່ກວຣເປັນຕາມນ ໂບຍາກາຮັດຈັດໜີ້ນີ້ພົມກາພຸ່ມນ້າ ພບວ່າປຣິມາລັນໜ້າທ່າມີຄ່າເທົ່າກັນ 699.32 ລ້ານລູກນາສກໍມີຕຣ ແລະ ກາຣເປີ່ຍນແປ່ງກາຣໃຊ້ປະໂຍໜ໌ທີ່ດິນທີ່ກວຣເປັນຕາມຮະດັບຄວາມລາດຊັນ ພບວ່າປຣິມາລັນໜ້າທ່າມີຄ່າເທົ່າກັນ 559.13 ລ້ານລູກນາສກໍມີຕຣ

ข้อเสนอแนะ

1. ข้อเสนอแนะที่ได้จากการศึกษาในครั้งนี้

1.1 การศึกษาครั้งนี้ได้ใช้เพียงค่าพารามิเตอร์ด้านดินซึ่งเป็นปัจจัยคงที่ และการใช้ประโยชน์ที่ดินซึ่งเป็นปัจจัยที่เปลี่ยนแปลงได้ง่าย เพื่อใช้สำหรับกำหนดค่า curve number (CN) ร่วมกับค่าปริมาณน้ำฝน และสภาพความลาดชัน เพื่อใช้เป็นพารามิเตอร์สำหรับการประเมินปริมาณน้ำท่า จึงทำให้ค่าปริมาณน้ำท่าที่ประเมินได้จากแบบจำลองมีปริมาณน้ำมากกว่าปริมาณน้ำท่าที่ได้จากการตรวจจริง

1.2 แบบจำลอง SCS-CN มีแนวคิดที่กำหนดให้ค่าการสูญเสียเริ่มแรก และปริมาณการซึมเป็นค่าคงที่ และในการศึกษาครั้งนี้ได้เลือกใช้เงื่อนไขความชื้นของดินเริ่มต้นในการณ์ความชื้นเฉลี่ย (AMC II) เพียงกรณีเดียวทั้งล้วนน้ำ จึงส่งผลต่อการกำหนดค่า CN ที่ใช้เป็นพารามิเตอร์ในการประเมินน้ำท่า เพราะในสภาพของดินที่แห้งกับดินที่ชื้น หรือดินที่อยู่ในสภาพอิ่มตัวไปด้วยน้ำ จะให้น้ำท่าที่แตกต่างกัน

2. ข้อเสนอแนะในการศึกษาครั้งต่อไป

ควรมีการพิจารณาเพิ่มค่าพารามิเตอร์บางตัว เช่น ปริมาณการเก็บกักน้ำบนพื้นผิวดิน ค่าความสามารถในการนำน้ำของดินขณะอิ่มตัวไปด้วยน้ำ สัมประสิทธิ์ความชุกร่องดิน ปริมาณน้ำในดิน เป็นต้น รวมทั้งการมีการนำค่า Antecedent Precipitation index (API) หรือค่าความชื้นที่มีอยู่ก่อนในดินที่ได้มีการศึกษาและตรวจวัด โดยหน่วยงานต่าง ๆ มาพิจารณาแทนค่าการสูญเสียเริ่มแรก และควรเลือกใช้เงื่อนไขความชื้นของดินเริ่มต้นให้เหมาะสมในแต่ละช่วงตามฤดูกาลหรือตามช่วงเดือน

เอกสารและถึงอ้างอิง

กรมทรัพยากรน้ำ. 2548. โครงการจัดทำแผนรวมการบริหารจัดการทรัพยากรน้ำในพื้นที่ลุ่มน้ำยม.
กระทรวงทรัพยากรธรรมชาติและสิ่งแวดล้อม, กรุงเทพฯ.

กาญจน์เขจร ชูชีพ. 2546. การศึกษาสภาพเมืองและการประมาณหาอุณหภูมิพื้นผิวนอกพื้นที่
กรุงเทพมหานคร ด้วยเทคนิคการสำรวจจากระยะไกล. รายงานผลการวิจัยฉบับสมบูรณ์
ทุนอุดหนุนวิจัย มก. ประจำปี 2543 โครงการวิจัยรหัส ส-ล 1.43.

เกยม จันทร์แก้ว. 2539. หลักการจัดการลุ่มน้ำ. ภาควิชาอนุรักษ์วิทยา คณะวนศาสตร์
มหาวิทยาลัยเกษตรศาสตร์, กรุงเทพฯ.

เกยม จันทร์แก้ว และ นิพนธ์ ตั้งธรรม. 2525. หลักปฏิบัติในการจัดการลุ่มน้ำ.
ภาควิชาอนุรักษ์วิทยา คณะวนศาสตร์ มหาวิทยาลัยเกษตรศาสตร์, กรุงเทพฯ.

คณะกรรมการสิ่งแวดล้อมแห่งชาติ. 2525. มติคณะกรรมการสิ่งแวดล้อมแห่งชาติ กระทรวงวิทยาศาสตร์ เทคโนโลยี และ
พลังงาน, กรุงเทพฯ.

คณาจารย์ภาควิชาปฐพิวิทยา. 2544. ปฐพิวิทยาเบื้องต้น. ภาควิชาปฐพิวิทยา คณะเกษตร
มหาวิทยาลัยเกษตรศาสตร์, กรุงเทพฯ.

โภนิต ล้อศิริรัตน์. 2535. ผลกระทบของลักษณะภัยภาพและพื้นที่ป่าไม้ในลุ่มน้ำต่อการทับถม
ตะกอนในอ่างเก็บน้ำภาคตะวันออกเฉียงเหนือของประเทศไทย. วิทยานิพนธ์ปริญญาโท,
มหาวิทยาลัยเกษตรศาสตร์.

จงกล จงวไลเกยม. 2546. แบบจำลองน้ำฝนน้ำท่าด้วยข้อมูลในระบบสารสนเทศภูมิศาสตร์.
วิทยานิพนธ์ปริญญาโท, มหาวิทยาลัยเทคโนโลยีพระจอมเกล้าธนบุรี.

จรัญชร บุญญาณุภาพ. 2546. การสำรวจข้อมูลจากระยะไกล. คณะเกษตรศาสตร์
ทรัพยากรธรรมชาติและสิ่งแวดล้อม มหาวิทยาลัยนเรศวร, พิษณุโลก.

เจน อรุณสิทธิ์. 2550. การประมาณปริมาณฝนด้วยดาวเทียมสำหรับบริเวณลุ่มน้ำคลองอู่ตะเภา ในช่วงมรสุมตะวันออกเฉียงเหนือ. วิทยานิพนธ์ปริญญาโท, มหาวิทยาลัยเกษตรศาสตร์.

ชาลากร ศรีตุลานันท์. 2524. ปริมาณและลักษณะการไหลของน้ำในลำธารป่าดินเปาดอยบุญเชียงใหม่. วิทยานิพนธ์ปริญญาโท, มหาวิทยาลัยเกษตรศาสตร์.

เขawanee ยงค์กิมชัย และ สุชาดา ยงสิตติศักดิ์. 2548. การประยุกต์ใช้มูลจากดาวเทียมและระบบสารสนเทศภูมิศาสตร์ในการกำหนดเขตพื้นที่เสี่ยงภัยน้ำท่วมในลุ่มน้ำตาปีต่อนล่าง จังหวัดสุราษฎร์ธานี. วารสารสมาคมสำรวจข้อมูลระยะไกลและสารสนเทศภูมิศาสตร์ 6 (2): 27-42.

ดวงรัตน์ พูลเกย์. 2540. อิทธิพลของลักษณะทางภูมิกายภาพลุ่มน้ำต่อช่วงเวลาการไหลของน้ำในลำธาร. วิทยานิพนธ์ปริญญาโท, มหาวิทยาลัยเกษตรศาสตร์.

ณัฐ เทภาสิต. 2542. การวิเคราะห์หมายเลขอ้างน้ำท่า SCS ของอันกอกในประเทศไทย. วิทยานิพนธ์ปริญญาโท, มหาวิทยาลัยเกษตรศาสตร์.

นิพนธ์ ใจติบาล. 2525. อิทธิพลของลักษณะทางกายภาพของลุ่มน้ำ และการทำลายป่าต่อปริมาณน้ำในลำธาร ในลุ่มน้ำภาคตะวันออกของประเทศไทย. วิทยานิพนธ์ปริญญาโท, มหาวิทยาลัยเกษตรศาสตร์.

นิพนธ์ ตั้งธรรม. 2527. การควบคุมการระบายน้ำพังทลายของดิน. คณานศาสตร์ มหาวิทยาลัยเกษตรศาสตร์, กรุงเทพฯ.

______. 2542. อุทกวิทยาดินลุ่มน้ำ. กองทุนจัดพิมพ์ตำราคณ万里ศาสตร์ มหาวิทยาลัยเกษตรศาสตร์, กรุงเทพฯ.

นิวัติ เรืองพานิช. 2547. หลักการจัดการลุ่มน้ำ. ศูนย์ส่งเสริมวิชาการ คณานศาสตร์ มหาวิทยาลัยเกษตรศาสตร์, กรุงเทพฯ.

นิวัติชัย คัมภีร์. 2539. การศึกษาข้อมูลพื้นฐานในการออกแบบทางอุทกวิทยาของอ่างเก็บน้ำขนาดเล็กโดยวิธี SCS สำหรับภาคตะวันออกเฉียงเหนือของประเทศไทย. วิทยานิพนธ์ปริญญาโท, มหาวิทยาลัยเกษตรศาสตร์.

บุญช่วย ชุมหกิจ. 2536. อิทธิพลของลักษณะทางภูมิศาสตร์กายภาพของลุ่มน้ำและการทำลายป่าต่อลักษณะการไหลของน้ำในลำธารในลุ่มน้ำมูล. วิทยานิพนธ์ปริญญาโท, มหาวิทยาลัยเกษตรศาสตร์.

พงษ์ศักดิ์ ลาภอุดมเดิก. 2518. สมการสหสัมพันธ์เพื่อการประเมินน้ำไหลจากลุ่มน้ำขนาดเล็กป่าดินขาวดอยปุย เชียงใหม่. วิทยานิพนธ์ปริญญาโท, มหาวิทยาลัยเกษตรศาสตร์.

พงษ์ศักดิ์ วิทวัสชุติกุล และ พิณพิพิชช์ธิติโรจน์. 2551. การกำหนดค่า SCS-CN ของพืชกลุ่มต้นเพื่อการจัดการพื้นที่ดินน้ำ. เอกสารเผยแพร่ที่ 7/2551. ผู้วิจัยต้นน้ำ สำนักอนุรักษ์และจัดการดินน้ำ กรมอุทกวิทยาแห่งชาติ สัตว์ป่า และพันธุ์พืช, กรุงเทพฯ.

เพชร พลออยเจริญ. 2539. ศักยภาพในการให้น้ำท่าของพื้นที่ลุ่มน้ำบริเวณสถานีวิจัยสิ่งแวดล้อมสะแกราช กิ่งอำนวยวังน้ำเขียว จังหวัดนครราชสีมา. วิทยานิพนธ์ปริญญาโท, มหาวิทยาลัยเกษตรศาสตร์.

เพิ่มศักดิ์ mgr. 2522. ลักษณะอุทกวิทยาของดินที่สัมพันธ์กับน้ำในลำธารช่วงแล้งฝนของป่าดินขาวธรรมชาติภาคเหนือของประเทศไทย. วิทยานิพนธ์ปริญญาโท, มหาวิทยาลัยเกษตรศาสตร์.

ภาควิชาอนุรักษ์วิทยา. 2552. การวิเคราะห์ลุ่มน้ำแม่น้ำอง อำเภอร้องกวาง จังหวัดแพร่.
คณะวิทยาศาสตร์ มหาวิทยาลัยเกษตรศาสตร์, กรุงเทพฯ.

ไนตรี ผลอยทอง. 2532. การศึกษาความสัมพันธ์ระหว่างน้ำฝน - น้ำท่าโดยใช้แบบจำลอง SCS Model. รายงานโครงการวิศวกรรม สาขาวิชาวิศวกรรมทรัพยากรน้ำ,
มหาวิทยาลัยเกษตรศาสตร์, กรุงเทพฯ.

วิกุล โลหะมงคล. 2533. การจำลองสภาพทางอุตุกิจยาที่รวมการแปรผันของพื้นที่และเวลา.

วิทยานิพนธ์ปริญญาโท, มหาวิทยาลัยขอนแก่น.

วิชา นิยม. 2535. อุตุกิจยาป่าไม้. ภาควิชาอนุรักษ์วิทยา คณะวนศาสตร์
มหาวิทยาลัยเกษตรศาสตร์, กรุงเทพฯ.

ศักดิ์พินิต ผดุงกิต. 2532. อิทธิพลของขนาดพื้นที่ต้นน้ำลำธารและการทำลายป่าต่อปริมาณน้ำไหล
ในลำธารบนพื้นที่ร่วนเนินบริเวณลุ่มน้ำแม่วังและแม่ยอม. วิทยานิพนธ์ปริญญาโท,
มหาวิทยาลัยเกษตรศาสตร์.

ศุภรัตน์ สำราญ. 2527. ดัชนีพลังงานของฝนในสมการสูญเสียดินสากลบนพื้นที่ภูเขาภาคเหนือ
ของประเทศไทย. วิทยานิพนธ์ปริญญาโท, มหาวิทยาลัยเกษตรศาสตร์.

สงวน บีทมธรรมกุล. 2550. รายงานฉบับสมบูรณ์ การศึกษาพื้นที่เสียงภัยน้ำท่วมของลุ่มน้ำชีโดย
ใช้ระบบสารสนเทศภูมิศาสตร์. ภาควิชาวิศวกรรมโยธา คณะวิศวกรรมศาสตร์
มหาวิทยาลัยขอนแก่น, ขอนแก่น.

สุนันทา ใจดิกเกสตีเยอร์. 2531. บทบาทของชั้นคุณภาพลุ่มน้ำต่อปริมาณและลักษณะการไหลของ
น้ำท่าบริเวณลุ่มน้ำปิง. วิทยานิพนธ์ปริญญาโท, มหาวิทยาลัยเกษตรศาสตร์.

สุระ พัฒนเกียรติ. 2546. ระบบสารสนเทศภูมิศาสตร์ในการนิเวศวิทยาและสิ่งแวดล้อม
(Geo-Informatics in Ecology and Environment). ห้างหุ้นส่วนจำกัด โรงพิมพ์ไทยในเตี๊ด
โปรดักชั่น, กรุงเทพฯ.

สำนักงานคณะกรรมการวิจัยแห่งชาติ. 2538. จากห่วงօวาตาสู่พื้นแผ่นดินไทย ฉบับย่อ.
สำนักงานคณะกรรมการวิจัยแห่งชาติ กระทรวงวิทยาศาสตร์เทคโนโลยีและสิ่งแวดล้อม,
กรุงเทพฯ.

_____. 2540. คำบรรยายเรื่องการสำรวจระยะไกล. สำนักงานคณะกรรมการวิจัยแห่งชาติ
กระทรวงวิทยาศาสตร์เทคโนโลยีและสิ่งแวดล้อม, กรุงเทพฯ.

สำนักงานพัฒนาเทคโนโลยีอวกาศและภูมิสารสนเทศ (องค์การมหาชน) และสมาคมสำรวจข้อมูล
ระยะไกลและสารสนเทศภูมิศาสตร์แห่งประเทศไทย. 2552. ตำราเทคโนโลยีอวกาศและ
ภูมิสารสนเทศศาสตร์. กระทรวงวิทยาศาสตร์เทคโนโลยี โลจีสติกส์ เล่มที่ 1, กรุงเทพฯ.

สำนักชลประทานที่ 4. 2550. การบริหารจัดการลุ่มน้ำยม. กรมชลประทาน
กระทรวงเกษตรและสหกรณ์, กรุงเทพฯ.

สำนักงานนโยบายและแผนการใช้ที่ดิน กรมพัฒนาที่ดิน กระทรวงเกษตรและสหกรณ์. 2552. แผน
ที่แสดงการใช้ประโยชน์ที่ดินบริเวณลุ่มน้ำยมตอนบน.

สำนักงานนโยบายและแผนทรัพยากรธรรมชาติและสิ่งแวดล้อม กระทรวงทรัพยากรธรรมชาติและ
สิ่งแวดล้อม. 2552. แผนที่ลุ่มน้ำในประเทศไทย.

สำนักพัฒนาอุตุนิยมวิทยา. 2552ก. รายชื่อสถานีวัดน้ำฝนในพื้นที่ศึกษา. กรมอุตุนิยมวิทยา
กระทรวงคมนาคม, กรุงเทพฯ.

_____ 2552บ. ข้อมูลอุตุนิยมวิทยา สถานีอุตุนิยมวิทยาจังหวัดพะเยา จังหวัดแพร่ และ
จังหวัดน่าน. กรมอุตุนิยมวิทยา กระทรวงคมนาคม, กรุงเทพฯ.

สำนักอุทกวิทยาและบริหารน้ำ. 2552. ข้อมูลปริมาณน้ำท่ารายเดือนสถานีบ้านทุ่งหนอง อำเภอ
เชียงม่วน จังหวัดพะเยา (Y.31). กรมชลประทาน กระทรวงเกษตรและสหกรณ์, กรุงเทพฯ.

อภิสิทธิ์ เอี่ยมหน่อ. 2528. ธรณีวิทยา. สำนักพิมพ์ไทยวัฒนาพานิช, กรุงเทพฯ.

อุทัย สุขสิงห์. 2547. การจัดการระบบฐานข้อมูลสารสนเทศภูมิศาสตร์ (GIS) ด้วยโปรแกรม
ArcView 3.2a - 3.3. สมาคมส่งเสริมเทคโนโลยี (ไทย-ญี่ปุ่น), กรุงเทพฯ.

อัครศิลป์ นໂປງ. 2546. ผลกระทบของการใช้ที่ดิน/สิ่งปลูกถ่ายดินต่อสมดุลของน้ำและช่วงระยะเวลา
เวลาการไหลของน้ำท่าในลุ่มน้ำมูล. วิทยานิพนธ์ปริญญาโท, มหาวิทยาลัยเกษตรศาสตร์.

Amutha, R. and P. Porchelvan. 2009. Estimation of Surface Runoff in Malattar Sub-watershed using SCS-CN Method. *Journal of the Indian Society of Remote Sensing* 37: 291-304.

Bastawesy, M.A., F.I. Khalaf and S.M. Arafat. 2008. The use of remote sensing and GIS for the estimation of water loss from Tushka Lakes, south Western Desert, Egypt. *Journal of African Earth Sciences*. Available Source: http://www.sciencedirect.com/science?_ob=ArticleURL&_udi=B6VDT-4S7BDPB-1&_user=122832, November 4, 2008.

Burrough, P.A. 1986. *Principles of Geographical Information Systems for Land Resources Assessment*. Oxford Univ. Press, New York.

Environmental Systems Research Institute. 2000. *Using ArcGIS 3D Analyst*. United States of America.

Kittisiriwattanakul, T.. 2002. The Applicability of GIS and SCS Runoff Curve Number in Estimating Total Runoff. M.S. Thesis, Mahidol University.

Mishra, S.K. and V.P. Singh. 2003. *Soil Conservation Service Curve Number (SCS-CN) Methodology*. Kluwer Academic Publishers, Dordrecht.

Mustafa, Y.M., M.S.M. Amin, T.S. Lee and A.R.M. Shariff. 2005. Evaluation of Land Developement Impact on a tropical watershed hydrology Using Remote Sensing and GIS. Available Source: http://www.spatialhydrology.com/journal/articles_under_review.htm, January 5, 2010.

Nash, J.E. and J.V. Sutcliffe. 1970. River Flow Forecasting through Conceptual Model, Part I: A Discussion of Principles. *Journal of Hydrology* 10: 282- 290.

Natural Resources Conservation Service. 1986. Urban Hydrology for Small Watersheds. Conservation Engineering Division, United States.

Nayak, T.R. and R.K. Jaiswal. 2003. Rainfall-Runoff Modelling using Satellite Data and GIS for Bebas River in Madhya Pradesh. IE(I)Journal. Available Source: <http://www.ieindia.org/publish/CV/0503/may03CV9.pdf>, December 28, 2009.

Patil, J.P., A. Sarangi, A.K. Singh and T. Ahmad. 2008. Evaluation of modified CN methods for watershed runoff estimation using a GIS-based interface. Biosystems Engineering 100: 137-146.

Reshmidevi, T.V., R. Jana and T.I. Eldho. 2008. Geospatial Estimation of Soil Moisture in Rain-fed Paddy Field using SCS-CN-based Model. Agricultural Water Management 95: 447-457.

Sahu, R.K., S.K. Mishra and T.I. Eldho. 2010. Comparative Evaluation of SCS-CN-inspired Models in Applications to Classified Datasets. Agricultural Water Management 97: 749-756.

Sawunyama, T., A. Senzanje and A. Mhizha. 2006. Estimation of Small Reservoir Storage Capacities in Limpopo River Basin using Geographical Information Systems (GIS) and Remotely Sensed Surface Areas: Case of Mzingwane Catchment. Physics and Chemistry of the Earth 31: 935-943.

ShengTian, Y., L. ChuangMing and S, Rui. 2006. The Temporal and Spatial Analysis of Drought in Yellow River Basin Using Remote Sensing and GIS. Available Source: <http://ieeexplore.ieee.org/stamp/stamp.jsp?arnumber=01294418>, October 16, 2006.

Singh, R., J.C. van Dam and R.A. Feddes. 2005. Water Productivity Analysis of Irrigated Crops in Sirsa District, India. Agricultural Water Management. Available Source: http://library.wur.nl/way/catalogue/documents/WATPRO_final_report.pdf, January 5, 2010.

Soil Conservation Service (SCS). 1972. National Engineering Handbook, Section 4. Hydrology, Chapter 10, Soil Conservation Service. US Department of Agriculture, Washington., DC.

Star, J. and J.F. Estes. 1990. Geographic Information System: An Introduction. A Division of Simon & Schuster Englewood Cliffs, New Jersey.

Walter, H. 1979. Vegetation of the Earth: In Relation to Climate and the Ecophysiological Condition. Springer-Verlag, New York.

Xianzhao, LIU. and LI. Jiazhu. 2008. Application of SCS Model in Estimation of Runoff from Small Watershed in Loess Plateau of China. Chinese Geographical Science. Available Source: <http://www.springerlink.com/index/HR0T221J45742217.pdf>, January 5, 2010.



สิงห์ มหาวิทยาลัยเกษตรศาสตร์

ตารางผนวกที่ 1 ค่า curve number (CN) สำหรับพื้นที่เมือง¹

ชนิดสิ่งกอคุณคินและสภาพอุทกวิทยา พื้นที่เมือง ¹	ร้อยละ เนลี่ย พื้นที่ ไม่ซึมน้ำ ²	ค่า curve number (CN) สำหรับชุดคินทาง อุทกศาสตร์ (HSG's)				
		A	B	C	D	
พื้นที่เมืองที่ได้รับการพัฒนาอย่างสมบูรณ์ (vegetation established)						
ที่โล่ง (สนามหญ้า สวนสาธารณะ สนามกอล์ฟ ที่ฟื้งเศว เป็นต้น) ³ :						
สภาพไม่มีดี (หญ้าปกคลุม < 50 %)		68	79	86	89	
สภาพพอใช้ (หญ้าปกคลุม 50 % - 75 %)		49	69	79	84	
สภาพดี (หญ้าปกคลุม >75 %)		39	61	74	80	
พื้นที่ไม่ซึมน้ำ:						
ที่จอดรถแบบมีจราจรหน้า หลังคานา ทางรถ เป็นต้น (ไม่รวม right-of way)		98	98	98	98	
ถนน:						
มีจราจรหน้า ขอบและรายระยะน้ำฝน (ไม่รวม right-of way)		98	98	98	98	
มีจราจรหน้า ภูมิปัญญา (รวม right-of-way)		83	89	92	93	
กรวด (รวม right-of-way)		76	85	89	91	
ไทรคิน (รวม right-of-way)		72	82	87	89	
พื้นที่เมืองซึ่งเป็นทะเลทรายทางตะวันตก:						
ภูมิประเทศแบบทะเลทรายธรรมชาติ (พื้นที่ซึมน้ำเท่านั้น) ⁴						
ภูมิประเทศแบบทะเลทรายที่สร้างขึ้น (วัชพืชที่เป็นตัววางที่ไม่ซึมน้ำ ไม่พุ่มทะเลทรายในทราย 1 - 2 นิ้ว หรือในกรวด และล้อมรอบอ่าง)						
เขตเมือง:						
ธุรกิจและพาณิชย์		85	89	92	94	
อุตสาหกรรม		72	81	88	91	
					93	

ตารางผนวกที่ 1 (ต่อ)

ชนิดสิ่งปักคลุมดินและสภาพอุทกวิทยา	พื้นที่ ไม่ซึมน้ำ ²	สำหรับพื้นที่เมือง ¹				
		ร้อยละ เนลลี่	ค่า curve number (CN)			
			A	B	C	D
เขตที่อยู่อาศัยตามขนาด โดยเฉลี่ย						
1/8 เอเคอร์ (0.051 ตร.ม.) หรือน้อยกว่า (บ้านในเมือง)	65	77	85	90	92	
1/4 เอเคอร์ (0.101 ตร.ม.)	38	61	75	83	87	
1/3 เอเคอร์ (0.135 ตร.ม.)	30	57	72	81	86	
1/2 เอเคอร์ (0.202 ตร.ม.)	25	54	70	80	85	
1 เอเคอร์ (0.405 ตร.ม.)	20	51	68	79	84	
2 เอเคอร์ (0.809 ตร.ม.)	12	46	65	77	82	
พื้นที่กำลังพัฒนาสู่ความเป็นเมือง						
พื้นที่ซึ่งเพิ่งเกลี่ยให้เรียบ (พื้นที่ซึ่มน้ำได้เท่านั้น ไม่มีพืช) ⁵			77	86	91	94
พื้นที่ว่างเปล่า (ใช้ CN ในการพิจารณาประเภทสิ่งปักคลุมซึ่งคล้ายกับพื้นที่เกษตรกรรม)						

หมายเหตุ ¹ สภาพ runoff เนลลี่ และ $Ia = 0.2S$

² ร้อยละเฉลี่ยของพื้นที่ไม่ซึมน้ำใช้เพื่อปรับปรุงส่วนประกอบของ CN ข้อสมมติอื่น คือ พื้นที่ไม่ซึมน้ำอยู่ติดกับระบบระบายน้ำโดยตรง พื้นที่ระบายน้ำมี CN เป็น 98 และ พื้นที่ที่ซึมน้ำได้จะถือว่าเท่ากับที่โล่งซึ่งมีสภาพอุทกวิทยาที่ดี

³ CN นี้เท่ากับทุ่งหญ้าเลี้ยงสัตว์ CN ประกอบอาจคำนวณสำหรับการรวมกันแบบอ่อนของที่โล่งซึ่งมีสิ่งปักคลุม

⁴ CN ประกอบสำหรับภูมิประเทศแบบทางเดินรายตามธรรมชาติควรคำนวณตามร้อยละของพื้นที่ไม่ซึมน้ำ ($CN = 98$) และ CN ของพื้นที่ซึมน้ำ ซึ่งถือว่าเท่ากับไม่มีพุ่มไม้เล็กรายในสภาพอุทกวิทยาที่ไม่ดี

⁵ CN ประกอบในการออกแบบวัดชั่วคราวระหว่างการเกลี่ยที่ให้เรียบ และการก่อสร้างคำนวณตามระดับการพัฒนา (ร้อยละของพื้นที่ไม่ซึมน้ำ) และ CN สำหรับพื้นที่ซึมน้ำที่เพิ่งได้รับการเกลี่ยให้เรียบ

ที่มา: Soil Conservation Service (1972)

ตารางผนวกที่ 2 ค่า curve number (CN) สำหรับพื้นที่เกษตรกรรมเพาะปลูก

สำหรับพื้นที่เกษตรกรรมเพาะปลูก							
ประเภทสิ่งปักลุม ¹	รายละเอียดสิ่งปักลุมดิน	วิธีการเพาะปลูก ²	สภาพ อุทกวิทยา ³	ค่า curve number (CN)			
				สำหรับชุดดินทาง	อุทกศาสตร์ (HSG's)	A	B
พืชเมล็ดเล็ก, ข้าว (small grain)	พื้นที่ไร่	ดินโอล่ง	-	77	86	91	94
		ปักลุมด้วยซากพืช (crop residue cover)	ไม่มีดี	76	85	90	93
		แนวตระ (straight-row)	ดี	74	83	88	90
		แนวตระและปักลุมด้วยซากพืช	ไม่มีดี	72	81	88	91
		แนวตระ	ดี	67	78	85	89
		แนวตระและปักลุมด้วยซากพืช	ไม่มีดี	71	80	87	90
		แนวตระ	ดี	64	75	82	85
		แนวตามระดับพื้นที่ (contoured)	ไม่มีดี	70	79	84	88
		แนวตามระดับพื้นที่ และปักลุม	ไม่มีดี	69	78	83	87
		ด้วยซากพืช	ดี	64	74	81	85
พืชเมล็ดเล็ก, ข้าว (small grain)	พื้นที่เนินบันได (terrace)	ตามแนวระดับพื้นที่ และขั้นบันได	ไม่มีดี	66	74	80	82
		ตามแนวระดับพื้นที่ และขั้นบันได	ดี	62	71	78	81
		ตามแนวระดับพื้นที่ และขั้นบันได	ไม่มีดี	65	73	79	81
		และปักลุมด้วยซากพืช	ดี	61	70	77	80
		แนวตระ	ไม่มีดี	65	76	84	88
		แนวตระและปักลุมด้วยซากพืช	ไม่มีดี	63	75	83	87
		แนวตระ	ดี	60	72	80	84
		แนวตามระดับพื้นที่	ไม่มีดี	63	74	82	85
		แนวตามระดับพื้นที่ และปักลุม	ไม่มีดี	62	73	81	84
		ด้วยซากพืช	ดี	60	72	80	83
พืชเมล็ดเล็ก, ข้าว (small grain)	พื้นที่เนินบันได (terrace)	แนวตามระดับพื้นที่ และขั้นบันได	ไม่มีดี	61	72	79	82
			ดี	59	70	78	81

ตารางผนวกที่ 2 (ต่อ)

สำหรับพื้นที่เกย์ตระรرمเพาะปลูก							
รายละเอียดสิ่งปักกลุ่มดิน			ค่า curve number (CN)				
ประเภทสิ่งปักกลุ่ม ¹	วิธีการเพาะปลูก ²	สภาพ อุทกวิทยา ³	สำหรับชุดดินทาง อุทกศาสตร์ (HSG's)				
			A	B	C	D	
พืชเมล็ดเล็ก, ข้าว (small grain)	แคลตตามระดับพื้นที่ขึ้นบันได ⁴ และปักกลุ่มด้วยชากรพืช แคลตรง	ไม่ดี ดี	60 58	71 69	78 77	81 80	
closed-seed หรือการหว่านพืช ตระกูลถั่วหรือ ทุ่งหญ้าหมุนเวียน	แคลตตามระดับพื้นที่ ตระกูลถั่วหรือ ทุ่งหญ้าหมุนเวียน	ไม่ดี ดี	64 55	75 69	83 78	85 83	
	แคลตตามระดับพื้นที่และขึ้นบันได	ไม่ดี ดี	63 51	73 67	80 76	83 80	

หมายเหตุ¹ สภาพ runoff เนลลี่ และ $Ia = 0.2S$

² ชากรพืชปักกลุ่ม ใช้ได้มีเมื่อมีชากน้อยกว่า 5 % ของพิภาน้า ตลอดปี

³ สภาพอุทกวิทยายield คือตามการรวมปัจจัยที่มีผลต่อการไหลซึมลงดินและ runoff

รวมถึง (a) ความหนาแน่นและการครอบคลุมของพื้นที่ที่เป็นพืชพันธุ์ (b) ปริมาณการปักกลุ่มในตลอดปี (c) ปริมาณการหมุนเวียนของหญ้าหรือ closed-seeded legume (d) ร้อยละของชากรปักกลุ่มบริเวณพิภาน้า ($d \geq 20\%$) และ (e) ระดับความหยาบนของพิภาน้า

ไม่ดี: ปัจจัยที่ทำให้การไหลซึมไม่ดี และช่วยเพิ่ม runoff

ดี: ปัจจัยที่สนับสนุนการไหลซึมเนลลี่และดีกว่าการไหลซึมเฉลี่ย และลด runoff

ที่มา: Soil Conservation Service (1972)

ตารางผนวกที่ 3 ค่า curve number (CN) สำหรับพื้นที่เกษตรกรรมอื่น ๆ

ชนิดสิ่งปักกุณฑิน	สภาพ อุทกวิทยา	ค่า curve number (CN)			
		สำหรับชุดคิดนทาง อุทศาสตร์ (HSG's)			
		A	B	C	D
ทุ่งหญ้า pasture	ไม่ดี	68	79	86	89
	พอใช้	49	69	79	84
	ดี	39	61	74	78
ทุ่งหญ้า meadow - ทุ่งหญ้าต่อเนื่อง ป้องกันจากการเป็นอาหารสัตว์ และตัดไปทำฟาง	-	30	59	71	78
ไม้เตี้ย ๆ - หญ้า - ไม้เตี้ยผสมกับไม้เตี้ยเป็นหลัก ²	ไม่ดี	48	67	77	83
	พอใช้	35	56	70	77
	ดี	30 ⁴	48	65	73
ป่า - การรวมกันของหญ้า (สวนผลไม้หรือสวนต้นไม้) ⁵	ไม่ดี	57	73	76	86
	พอใช้	43	65	82	82
	ดี	32	58	76	79
ป่า ⁶	ไม่ดี	45	66	77	83
	พอใช้	36	60	73	79
	ดี	30 ⁴	55	70	77
โครงสร้าง - อาคาร, ทางเดิน, ทางรถ และสิ่งรองข้าง	-	59	74	82	86

หมายเหตุ ¹ สภาพ runoff เนื่องด้วย และ $Ia = 0.2S$

² ไม่ดี: มีสิ่งคลุมดิน <50% หรือมีหญ้าหนาแน่นโดยไม่มีใบไม้คลุม พอใช้: มีสิ่งคลุมดิน 50-75% และมีหญ้าไม่หนาแน่น ดี: มีสิ่งคลุมดิน >75% หรือมีหญ้าเบาบาง

³ ไม่ดี: มีสิ่งคลุมดิน <50% พอใช้: มีสิ่งคลุมดิน 50-75% ดี: มีสิ่งคลุมดิน >75%

⁴ curve number ที่แท้จริงน้อยกว่า 30 ใช้ CN = 30 ในการคำนวณ runoff

⁵ CN ที่แสดงไว้คำนวณจากพื้นที่ซึ่งมีป่า 50% และหญ้า (pasture) ปกคลุม 50% สภาพการรวมกันแบบอื่น อาจคำนวณจาก CN สำหรับป่าและ pasture

⁶ ไม่ดี: หญ้าขึ้นระเกะระกะ ต้นไม้เล็ก ๆ และไม้เตี้ยซึ่งถูกทำลายเนื่องจากการเลี้ยงสัตว์ หรือการเผาไหม้ พอใช้: ป่าซึ่งใช้เลี้ยงสัตว์ แต่ไม่ถูกเผาไหม้มีหญ้าขึ้นระเกะระกะปก

ตารางผนวกที่ 3 (ต่อ)

คลุมอยู่บ้าง ดี: เป้าที่ได้รับการป้องกันจากการถูกนำไปเลี้ยงสัตว์ และหญ้าและไม่มีดี
คลุมดินพอสมควร

ที่มา: Soil Conservation Service (1972)



ตารางผนวกที่ 4 ค่า curve number (CN) สำหรับพื้นที่แห้งแล้งและกึ่งแห้งแล้ง¹

ชนิดดินปักกลุ่มดิน	สภาพ อุทกวิทยา ²	ค่า curve number (CN)			
		สำหรับชุดดินทาง อุทกศาสตร์ (HSG's)			
		A ³	B	C	D
ไม่มีต้นอ่อน - เป็นการผสมของหญ้า วัชพืช และไม้เตี้ยโถชา กับ การ brush ส่วนรอง	ไม่ดี พอใช้ ดี	80 71 62	87 81 74	93 89 85	
ต้นโ้อค ต้นแอกสเพน ไม้เตี้ยแบบภูเขารวมกับไม้โ้อคเตี้ย ต้นแอกสเพน ต้นมะขอกกานีภูเขา ไม้เตี้ยเมืองหนาว ต้นเมเปิล และ ไม้เตี้ยอื่น ๆ	ไม่ดี พอใช้ ดี	66 48 30	74 57 41	79 63 48	
ต้นสน - pinyon - pinyon ต้นสน หรือทึ้งคู่ หญ้า understory	ไม่ดี พอใช้ ดี	75 58 41	85 73 61	89 80 71	
ไม่จำพวกพากพารองกับหญ้า understory	ไม่ดี พอใช้ ดี	67 51 35	80 63 47	85 70 55	
ไม้เตี้ยเขตแห้งแล้ง ไม้หลักร่วมทั้ง saltbrush, greasewood, creosotebush, blackbrush, bursage, palo verde, mesquite และ ไม่จำพวกตะบองเพชร	ไม่ดี พอใช้ ดี	63 55 49	77 72 68	85 81 79	88 86 84

หมายเหตุ ¹ สภาพ runoff เนื่องด้วย และ $Ia = 0.2S$ สำหรับบริเวณที่มีความชื้นใช้จากตารางผนวกที่ 1 สำหรับพื้นที่เกยตระรرمอื่น ๆ

² ไม่ดี: มีสิ่งคลุมดิน <30% (ฟาง หญ้า และ ไม้เตี้ย) พอใช้: มีสิ่งคลุมดิน 30-70%

ดี: มีสิ่งคลุมดิน >70%

³ curve number สำหรับชุด A ได้มีการปรับปรุงขึ้นสำหรับไม้เตี้ยที่ถูกกระทำ

ที่มา: Soil Conservation Service (1972)

ตารางผนวกที่ 5 ค่า curve number (CN) สำหรับข้อมูลของกรมพัฒนาที่ดิน

ลิ่งปักคุณดิน	ค่า curve number (CN) สำหรับชุดดิน			
	A	B	C	D
เขตเมือง - ธุรกิจและพานิชย์ (พื้นที่ไม่ชื้มน้ำ 85 %)	89	92	94	95
- อุตสาหกรรม (พื้นที่ไม่ชื้มน้ำ 72 %)	81	88	91	93
เขตที่อยู่อาศัย - บ้านในเมือง (พื้นที่ไม่ชื้มน้ำ 65 %)	77	85	90	92
- บ้านในชนบท (พื้นที่ไม่ชื้มน้ำ 12 %)	46	65	77	82
พื้นที่ว่างเปล่า	77	86	91	94
พื้นที่ริม (สภาพอุทกภิทยาดี) - ที่ราบ (slope 0-5 % , B)	67	78	85	89
- ที่มีระดับ (slope 5-20 % , C,D)	65	75	82	86
- ขั้นบันได (slope 20-35 % , E)	62	71	78	81
ข้าว (สภาพอุทกภิทยาดี) - ที่ราบ (slope 0-5 % , B)	63	75	83	87
- ที่มีระดับ (slope 5-20 % , C,D)	61	73	81	84
- ขั้นบันได (slope 20-35 % , E)	59	70	78	81
พื้นที่ระดูคลื่น (สภาพอุทกภิทยาดี) - ที่ราบ (slope 0-5 % , B)	58	72	81	85
- ที่มีระดับ (slope 5-20 % , C,D)	55	69	78	83
- ขั้นบันได (slope 20-35 % , E)	51	67	76	50
ทุ่งหญ้า (สภาพอุทกภิทยาดี)	39	61	74	80
ทุ่งหญ้าสลับไม้พุ่มเตี้ย, ไม้พุ่มเตี้ย (สภาพอุทกภิทยาดี)	30	48	65	73
สวนผลไม้ สวนปา (สภาพอุทกภิทยาดี)	32	58	72	79
ป่าเบญจพรรณ (สภาพอุทกภิทยาดี)	36	60	73	79
ป่าไม้ (สภาพอุทกภิทยาดี)	30	55	76	77
โกรนนา	59	74	82	86
พื้นที่ไม่ชื้มน้ำ (ถนน ที่จอดรถ พื้นที่ระบายน้ำ)	98	98	98	98

ที่มา: ณัฐ (2542)

ตารางผนวกที่ 6 ค่าการสูญเสียริมต้น

curve number (CN)	Ia (นิว.)	Ia (มม.)	curve number (CN)	Ia (นิว.)	Ia (มม.)
40	3.000	76.200	70	0.857	21.768
41	2.878	73.101	71	0.817	20.752
42	2.762	70.155	72	0.778	19.761
43	2.651	67.335	73	0.740	18.796
44	2.545	65.643	74	0.703	17.856
45	2.444	62.078	75	0.667	16.942
46	2.348	59.639	76	0.632	16.053
47	2.255	57.277	77	0.597	15.164
48	2.167	55.042	78	0.564	14.326
49	2.082	52.883	79	0.532	13.513
50	2.000	50.800	80	0.500	12.700
51	1.922	48.819	81	0.469	11.613
52	1.846	46.888	82	0.439	11.151
53	1.774	45.060	83	0.410	10.414
54	1.704	43.282	84	0.381	9.677
55	1.636	41.554	85	0.353	8.966
56	1.571	39.903	86	0.326	8.280
57	1.509	38.329	87	0.299	7.595
58	1.447	36.779	88	0.273	6.934
59	1.390	35.306	89	0.247	6.274
60	1.333	33.858	90	0.222	5.639
61	1.279	32.487	91	0.198	5.029
62	1.226	31.140	92	0.174	4.420
63	1.175	29.845	93	0.151	3.835
64	1.125	28.575	94	0.128	3.251
65	1.077	27.356	95	0.105	2.667
66	1.030	26.162	96	0.083	2.108
67	0.985	25.019	97	0.062	1.575
68	0.941	23.901	98	0.041	1.041
69	0.899	22.835	100	0.000	0.000

ที่มา: Soil Conservation Service (1972)

ตารางผนวกที่ 7 ความสัมพันธ์ของค่า CN ตามการจัดระดับความชื้นก่อนหน้า (AMC)

CN		
AMC II	AMC I	AMC III
100	100	100
95	89	97
90	80	96
85	71	93
80	64	91
75	57	88
70	51	85
65	45	82
60	40	78
55	35	75
50	31	70
45	27	66
40	23	61
35	19	56
30	16	50
25	13	44
30	10	37
15	7	30
10	5	21
5	3	11
0	0	0

ที่มา: Soil Conservation Service (1972)

ตารางผนวกที่ 8 ข้อมูลปริมาณน้ำท่ารายเดือนสถานีบ้านทุ่งหนอง อำเภอเชียงม่วน จังหวัดพะเยา (Y.31)

หน่วย:ล้านลูกบาศก์เมตร

พ.ศ.	เดือน											
	เมษายน	พฤษภาคม	มิถุนายน	กรกฎาคม	สิงหาคม	กันยายน	ตุลาคม	พฤษจิกายน	ธันวาคม	มกราคม	กุมภาพันธ์	มีนาคม
2542	4.05	13.46	57.27	35.85	131.16	341.46	92.70	44.41	22.34	12.74	8.46	7.08
2543	8.52	41.62	59.66	163.66	141.45	139.56	89.44	35.90	17.15	9.48	5.16	10.82
2544	4.54	28.20	31.57	109.47	299.65	198.21	101.16	51.62	23.52	17.26	7.78	5.00
2545	5.32	81.37	48.45	77.15	178.66	311.70	89.87	48.44	33.51	13.25	10.84	12.03
2546	7.96	13.30	15.32	78.46	211.43	328.98	59.08	40.77	18.66	12.06	6.33	3.36
2547	7.65	15.06	53.41	103.36	146.67	286.85	57.61	23.31	13.41	8.14	4.22	2.41
2548	7.62	11.41	20.00	54.31	184.37	261.60	43.84	55.92	21.61	12.88	7.05	4.34
2549	15.30	39.80	14.53	36.19	427.73	347.28	69.11	32.75	20.69	12.60	12.89	8.77
2550	3.89	24.62	36.31	29.76	127.26	131.97	136.67	26.71	14.17	5.49	17.72	9.38
2551	11.17	24.54	49.90	169.70	400.10	316.85	136.27	40.28	18.53	15.04	4.93	21.95
รวม	76.02	293.38	386.42	857.91	2,248.48	2,664.46	875.75	400.11	203.59	118.94	85.38	85.14
เฉลี่ย	7.60	29.34	38.64	85.79	224.85	266.45	87.58	40.01	20.36	11.89	8.54	8.51

ที่มา: สำนักอุทกวิทยาและบริหารน้ำ กรมชลประทาน (2552)

ประวัติการศึกษา และการทำงาน

ชื่อ – นามสกุล

วัน เดือน ปี ที่เกิด

สถานที่เกิด

ประวัติการศึกษา

ตำแหน่งหน้าที่การงานปัจจุบัน

สถานที่ทำงานปัจจุบัน

ผลงานเด่นและรางวัลทางวิชาการ

ทุนการศึกษาที่ได้รับ

นางสาวสุริรัตน์ ขอสันเทียะ

27 ตุลาคม 2525

อำเภอเมืองครราษฎร์ จังหวัดนครราชสีมา

ศิลปศาสตรบัณฑิต (ภูมิศาสตร์)

มหาวิทยาลัยสงขลานครินทร์

เจ้าหน้าที่ระบบสารสนเทศภูมิศาสตร์

บริษัทเรือสี เอนจิเนียริ่ง คอนซัลแทนทส์ จำกัด

-

-